

وزارت معدن و فلزات

اداره کل معدن و فلزات استان یزد

طرح اکتشاف نیمه تفصیلی آندالوزیت میشدوان بافق

گزارش نهائی

# زیر پروردۀ اکتشاف نیمه تفصیلی آندالوزیت

## مشدوان بافق در استان یزد

مجری طرح:

(جب صدق)

مشاور:

مهندسان منسّاور معدنکارو

کتابخانه سازمان زمین‌شناسی  
اکتشافات معدنی کشور  
تاریخ: شماره ثبت: ۱۴۰۲

اسفند ۱۳۹۸

کتابخانه سازمان زمین‌شناسی  
اکتشافات معدنی کشور

<b>مجرى طرح:</b> <b>مهندس رجب صدوقي</b>	<b>وزارت معادن و فلزات</b> <b>اداره کل معادن و فلزات استان يزد</b> <b>طرح اكتشاف نيمه تفصيلي آندالوزيت ميشدونان بافق</b>
<b>گزارشنهائي زير پروره اكتشاف نيمه تفصيلي آندالوزيت ميشدونان بافق</b>	
<b>شماره گزارش : CH-Y-A2</b>	<b>مرحله : گزارشنهائي</b>
<b>کتيل: مهندس منصور صميimi نمين</b>	<b>تهيه کنندگان به ترتيب حروف الفبا :</b>
<b>مدير پروره : دکتر مهریان اردشیريان شريف آبادي</b>	<b>۱- مهریان اردشیريان</b>
<b>مدير فني پروره : مهندس کيامرث شيرخاني</b>	<b>۲- مهدى زمرديان</b>
<b>تاپ : خانمها اسكندرى ، البرزى</b>	<b>۳- مریم سالاری</b>
	<b>۴- کيامرث شيرخاني</b>
	<b>۵- عبدالرضا صائبى مقدم</b>
<b>تاریخ: اسفند ۱۳۷۸</b>	 <b>مادانکاو مهندسان مشاور</b> <b>Madankav Consulting Engineers Co.</b>

## تشکر و قدردانی

شکر و سپاس بیکران به درگاه خداوند یکتا که انسان را آفرید و او را هدایت نمود و

علم و اندیشه را چراغ افروخته ای در پیش روی او قرار داد.

اکنون که با یاری خداوند این کار به پایان رسید لازم می دانیم از کلیه افرادی که ما

را یاری کرده اند تشکر کنیم در ابتدا از جناب آقای مهندس صدوق مجری محترم طرح به

خاطر زحمات و مساعدتهای بیدریغشان تشکر می کنیم . همچنین از کارشناسان اداره کل

معدن و فلزات استان یزد ، آقایان مهندس رزاقیان ، مهندس برزگر ، مهندس طیبی و

همچنین آقای رکنیان که همکاریهای صمیمانه ای با این مشاور داشته اند ، قدردانی

می گردد.

در پایان از زحمات کلیه افراد و سازمانهایی که ما را در تهیه این گزارش یاری دادند ،

تشکر و قدردانی می نماییم.

۱	زیر پروژه اکتشاف نیمه تفصیلی آنداوزیت میشدوان بافق	 مادا'یکا مشاور مهندسان مهندسان مشاور Mada'ikha Consulting Engineers Co.
---	--	--

## خلاصه

در ادامه طرح پی جوئی آنداوزیت در منطقه میشدوان بافق در استان یزد، چهار

منطقه امید بخش به عنوان آنومالی مواد معدنی گروه سیلیمانیت جهت اکتشاف نیمه تفصیلی معرفی گردید. از این چهار منطقه، دو منطقه در اولویت قرار گرفتند.

جهت انجام اکتشافات نیمه تفصیلی اداره کل معادن و فلزات استان یزد طی دو

قرارداد در سال ۱۳۷۸ با شرکت مهندسان مشاور معدنکاو ادامه عملیات در مناطق یک و دو را

به این مشاور واگذار نمود. منطقه اول تحت عنوان ذخیره میشدوان به وسعت ۳ کیلومتر مربع و منطقه دوم در قرارداد تحت عنوان ذخیره زیر پروژه میشدوان به نام چادرنون به وسعت یک و نیم کیلومتر مربع در مرحله نیمه تفصیلی مورد اکتشاف قرار گرفتند که طی دو گزارش جداگانه به اداره کل معادن و فلزات استان ارائه گردید.

قرارداد منطقه دوم (زیر پروژه اکتشاف نیمه تفصیلی میشدوان بافق) در دو مرحله تنظیم گردید که در صورت امید بخش بودن نتایج مرحله اول قرارداد، مرحله دوم قرارداد به انجام می رسد.

در راستای انجام این قرارداد در مرحله اول آن تعداد ۵ نمونه از بلورهای موجود در

منطقه و ۵ نمونه سنگی دیگر از ترانشه های قدیمی جهت مطالعات آزمایشگاهی X.R.D، شیمیابی و سنگ شناسی به آزمایشگاههای مربوطه ارسال شدند. نتایجی که از این مرحله از

قرارداد به دست آمد، انجام عملیات صحرایی و برداشت های زمین شناسی در مرحله دوم

قرارداد را توجیه می کردند.

لایه کانه دار قرار گرفته است که ضخامت آن پیش از ۲۰ متر است. تیپ دوم گنیس که

جوائزیں واحد شناسایی شده در محدوده است به رنگ خاکستری دیده می شود که تفکیک

نوارهای سیاه و سفید در آن به وضوح قابل رویت است. اکثر تپه های انتهای غربی محدوده

از این سنگ تشکیل شده‌اند. در زیر این واحد آمفیولیتها، شیستهای متورق خاکستری

و ... قرار گرفته اند که هیچگونه کانه، سازی در آنها دیده نمی شود. به دلیل تغییرات دما

در شبانه روز اکثر این سنگها خرد و شکسته شده اند.

علاوه بر رخمنونهای سنگی، پر کامبرین در منطقه رسویات کواترنر نیز در انواع مختلف

وجود دارند. این رسوبات به صورت  $Q_{11}$ ,  $Q_{12}$  و  $Q_{21}$  مشاهده شده اند.

از نظر تکتونیک و زمین‌شناسی ساختمانی، نیز می‌توان به این نکته اشاره کرد که به

دلیل، قرار گرفتن منطقه در بی سنگ زون ایران مرکزی گسل و شکستگی های زیادی رخ

داده است که موجیت تغییرات شدید سنگهای مادر قدیمی، شده اند.

به طور خلاصه می‌توان گفت که دو سیستم دگ‌گونی، جدایگانه، در منطقه اتفاق

افتاده است . اولین سیستم باعث دگرگونی ناحیه ای سنگهای منطقه شده است و پس از آن

به دلیل نفوذ توده های آذرین از تیپ اسدی، سنگهای دگرگونی همیری تشکیل شده اند.

کانیهای گروه سلیمانیت نیز اکثراً در این فاز به وجود آمده اند.

کانیهای گروه سیلیمانیت نیز اکثراً در این فاز به وجود آمده‌اند.

در طی مراحل عملیات صحرائی تعداد ۳ حلقه چاهک در مجموع به عمق ۲۰ متر و ۵

رشته ترانشه در جهت عمود بر امتداد لایه بندی ماده معدنی حفاری شد و علاوه بر

نمونه برداری سطحی، نمونه های از ترانشه ها و از درون چاهک ها جهت مطالعات

آزمایشگاهی مختلف برداشت گردید.

از تعداد ۲۵ نمونه ای که در این مرحله ، از رخمنوهای سطحی و عمقی برداشت

شده، تعداد ۱۱ نمونه جهت تعیین نوع کانی به آزمایشگاه X.R.D ، ۱۴ نمونه جهت مطالعات

سنگ شناسی (پتروگرافی) و ۱۲ نمونه جهت تعیین مقدار اکسیدهای اصلی (شیمیایی) به

آزمایشگاه ارسال شدند.

بر اساس نتایج به دست آمده از مطالعات X.R.D و برداشت های صحرایی، ذخیره

منطقه به بلوک هایی تقسیم بندی شده است . به طور کلی منطقه به ذخیره های شمالی و

جنوبی تفکیک شده است. کانی شاخص گروه سیلیمانیت در ذخیره جنوبی ، سیلیمانیت و در

ذخیره شمالی کیانیت و به مقدار کمتر آندالوزیت و سیلیمانیت می باشد. ذخیره شمالی خود بر

آخر عملکرد گسلها و شکستگیها، مجزا و تفکیک و بر اساس همین گسل ها، بلوک بندی

صورت گرفته است . جهت تخمین ذخیره از بلوک بندی فوق کمک گرفته شده است.

در ذخیره شمالی عمدتاً بلورهای کیانیت تحت تاثیر عوامل فرسایش از متن سنگ

جدا شده اند و در سطح زمین تجمع یافته اند در حالی که هر چه به عمق می رویم بلورها

درگیر در متن سنگ هستند و در امتدادهای متقطع دیده می شوند . ولی در ذخیره جنوبی

بلورهای سیلیمانیت ریزدانه و به موازات شیستوزیته تشکیل شده اند و فرسایش چندانی بر

روی سنگهای این منطقه تاثیر نگذاشته و بلورها در متن سنگ درگیر می باشد.

ذخیره این کانسار از کیانیت (در حدود ۳۵ هزار تن) و سیلیمانیت (در حدود ۲۰ هزار

تن) تشکیل شده است. تقریباً ۱۵ هزار تن از کانی سازی کیانیت با مقدار کانی سازی کمتر از

۱۰ درصد است که بهره برداری از آن غیر اقتصادی می باشد. در حال حاضر بهره برداری

باقی ذخیره با کمی بیش از ۱۰ درصد کانی سازی (سیلیمانیت و کیانیت مجموعاً ۴۰ هزار

تن) در شرایط موجود، اعم از دور بودن از کارخانه فراوری، کم بودن مقدار ذخیره و...

اقتصادی به نظر نمی رسد و ادامه عملیات اکتشاف توحیه اقتصادی نخواهد داشت.

I	زیر پروژه اکتشاف نیمه تفصیلی آنالوژیت میشدوان بافق فهرست	 مادانکا مشاور Madanka Consulting Engineers Co.
---	---	--

## فهرست مطالب

صفحه

عنوان

- |      |   |
|------|---|
| ۱-۱  | فصل اول : کلیات   |
| ۲-۱  | ۱-۱ - مقدمه   |
| ۴-۱  | ۱-۲- شرایط جغرافیایی و اقلیمی                           |
| ۸-۱  | ۱-۳- کارهای انجام شده قبلی                              |
| ۱۰-۱ | ۱-۴- زمین شناسی عمومی منطقه مورد مطالعه                 |
| ۱۲-۱ | ۱-۵- کانیهای گروه سیلیمانیت و کاربرد آنها در صنعت نسوز  |
| ۱۲-۱ | ۱-۵-۱ - مقدمه   |
| ۱۶-۱ | ۱-۵-۲- بالا بردن عیار کانه آنالوژیت                     |
| ۱۸-۱ | ۱-۵-۳- تغییظ کیانیت                                     |
| ۱۹-۱ | ۱-۵-۴- کلسیناسیون کانی های گروه سیلیمانیت               |
| ۲۰-۱ | ۱-۵-۵- موارد استفاده از کانیهای گروه سیلیمانیت و مولیت  |
| ۲۲-۱ | ۱-۵-۶- قیمت کانی های گروه سیلیمانیت در بازار بین المللی |
| ۲-۱  | فصل دوم : زمین شناسی منطقه مورد مطالعه                  |
| ۲-۲  | ۱-۲- مقدمه  |
| ۵-۲  | ۱-۲-۲- نقشه زمین شناسی                                  |
| ۶-۲  | ۱-۲-۲-۱- کمپلکس سرکوه ( PCG )                           |
| ۹-۲  | ۱-۲-۲-۲- کمپلکس سرکوه ( PCB )                           |

- |         |  |
|---------|--|
| ۱-۴     | فصل چهارم : بلوک بندی و ارزیابی ذخیره            |
| ۲-۴-۳   | نتایج حاصل از آزمایشات X.R.D                     |
| ۲-۴-۴   | نتایج حاصل از مطالعه تیغه نازک (پتروگرافی)       |
| ۲-۴-۵   | نتایج حاصل از آزمایشات شیمی تر                   |
| ۲-۴-۶   | نتایج اخذ شده از آزمایشات مختلف                  |
| ۲-۴-۷   | نمونه بردازی                                     |
| ۲-۴-۸   | عملیات حفاری                                     |
| ۲-۴-۹   | مرحله دوم  |
| ۲-۴-۱۰  | مرحله اول  |
| ۲-۴-۱۱  | -۱-۳-۳ مقدمه                                     |
| ۲-۴-۱۲  | فصل سوم : حفریات و نمونه بردازی و انجام آزمایشات |
| ۲-۴-۱۳  | ۱-۳  |
| ۲-۴-۱۴  | ۲-۴-۲  |
| ۲-۴-۱۵  | ۳-۴-۲  |
| ۲-۴-۱۶  | ۴-۴-۲  |
| ۲-۴-۱۷  | ۵-۴-۲  |
| ۲-۴-۱۸  | ۳-۵-۲  |
| ۲-۴-۱۹  | ۴-۳-۲  |
| ۲-۴-۲۰  | ۵-۳-۲  |
| ۲-۴-۲۱  | ۶-۳-۲  |
| ۲-۴-۲۲  | ۷-۳-۲  |
| ۲-۴-۲۳  | ۸-۳  |
| ۲-۴-۲۴  | ۹-۳  |
| ۲-۴-۲۵  | ۱۰-۳   |
| ۲-۴-۲۶  | ۱۱-۳   |
| ۲-۴-۲۷  | ۱۲-۳   |
| ۲-۴-۲۸  | ۱۳-۳   |
| ۲-۴-۲۹  | ۱۴-۳   |
| ۲-۴-۳۰  | ۱۵-۳   |
| ۲-۴-۳۱  | ۱۶-۳   |
| ۲-۴-۳۲  | ۱۷-۳   |
| ۲-۴-۳۳  | ۱۸-۲   |
| ۲-۴-۳۴  | ۱۹-۲   |
| ۲-۴-۳۵  | ۲۰-۲   |
| ۲-۴-۳۶  | ۲۱-۲   |
| ۲-۴-۳۷  | ۲۲-۲   |
| ۲-۴-۳۸  | ۲۳-۲   |
| ۲-۴-۳۹  | ۲۴-۲   |
| ۲-۴-۴۰  | ۲۵-۲   |
| ۲-۴-۴۱  | ۲۶-۲   |
| ۲-۴-۴۲  | ۲۷-۲   |
| ۲-۴-۴۳  | ۲۸-۲   |
| ۲-۴-۴۴  | ۲۹-۲   |
| ۲-۴-۴۵  | ۳۰-۲   |
| ۲-۴-۴۶  | ۳۱-۲   |
| ۲-۴-۴۷  | ۳۲-۲   |
| ۲-۴-۴۸  | ۳۳-۲   |
| ۲-۴-۴۹  | ۳۴-۲   |
| ۲-۴-۵۰  | ۳۵-۲   |
| ۲-۴-۵۱  | ۳۶-۲   |
| ۲-۴-۵۲  | ۳۷-۲   |
| ۲-۴-۵۳  | ۳۸-۲   |
| ۲-۴-۵۴  | ۳۹-۲   |
| ۲-۴-۵۵  | ۴۰-۲   |
| ۲-۴-۵۶  | ۴۱-۲   |
| ۲-۴-۵۷  | ۴۲-۲   |
| ۲-۴-۵۸  | ۴۳-۲   |
| ۲-۴-۵۹  | ۴۴-۲   |
| ۲-۴-۶۰  | ۴۵-۲   |
| ۲-۴-۶۱  | ۴۶-۲   |
| ۲-۴-۶۲  | ۴۷-۲   |
| ۲-۴-۶۳  | ۴۸-۲   |
| ۲-۴-۶۴  | ۴۹-۲   |
| ۲-۴-۶۵  | ۵۰-۲   |
| ۲-۴-۶۶  | ۵۱-۲   |
| ۲-۴-۶۷  | ۵۲-۲   |
| ۲-۴-۶۸  | ۵۳-۲   |
| ۲-۴-۶۹  | ۵۴-۲   |
| ۲-۴-۷۰  | ۵۵-۲   |
| ۲-۴-۷۱  | ۵۶-۲   |
| ۲-۴-۷۲  | ۵۷-۲   |
| ۲-۴-۷۳  | ۵۸-۲   |
| ۲-۴-۷۴  | ۵۹-۲   |
| ۲-۴-۷۵  | ۶۰-۲   |
| ۲-۴-۷۶  | ۶۱-۲   |
| ۲-۴-۷۷  | ۶۲-۲   |
| ۲-۴-۷۸  | ۶۳-۲   |
| ۲-۴-۷۹  | ۶۴-۲   |
| ۲-۴-۸۰  | ۶۵-۲   |
| ۲-۴-۸۱  | ۶۶-۲   |
| ۲-۴-۸۲  | ۶۷-۲   |
| ۲-۴-۸۳  | ۶۸-۲   |
| ۲-۴-۸۴  | ۶۹-۲   |
| ۲-۴-۸۵  | ۷۰-۲   |
| ۲-۴-۸۶  | ۷۱-۲   |
| ۲-۴-۸۷  | ۷۲-۲   |
| ۲-۴-۸۸  | ۷۳-۲   |
| ۲-۴-۸۹  | ۷۴-۲   |
| ۲-۴-۹۰  | ۷۵-۲   |
| ۲-۴-۹۱  | ۷۶-۲   |
| ۲-۴-۹۲  | ۷۷-۲   |
| ۲-۴-۹۳  | ۷۸-۲   |
| ۲-۴-۹۴  | ۷۹-۲   |
| ۲-۴-۹۵  | ۸۰-۲   |
| ۲-۴-۹۶  | ۸۱-۲   |
| ۲-۴-۹۷  | ۸۲-۲   |
| ۲-۴-۹۸  | ۸۳-۲   |
| ۲-۴-۹۹  | ۸۴-۲   |
| ۲-۴-۱۰۰ | ۸۵-۲   |
| ۲-۴-۱۰۱ | ۸۶-۲   |
| ۲-۴-۱۰۲ | ۸۷-۲   |
| ۲-۴-۱۰۳ | ۸۸-۲   |
| ۲-۴-۱۰۴ | ۸۹-۲   |
| ۲-۴-۱۰۵ | ۹۰-۲   |
| ۲-۴-۱۰۶ | ۹۱-۲   |
| ۲-۴-۱۰۷ | ۹۲-۲   |
| ۲-۴-۱۰۸ | ۹۳-۲   |
| ۲-۴-۱۰۹ | ۹۴-۲   |
| ۲-۴-۱۱۰ | ۹۵-۲   |
| ۲-۴-۱۱۱ | ۹۶-۲   |
| ۲-۴-۱۱۲ | ۹۷-۲   |
| ۲-۴-۱۱۳ | ۹۸-۲   |
| ۲-۴-۱۱۴ | ۹۹-۲   |
| ۲-۴-۱۱۵ | ۱۰۰-۲  |
| ۲-۴-۱۱۶ | ۱۰۱-۲  |
| ۲-۴-۱۱۷ | ۱۰۲-۲  |
| ۲-۴-۱۱۸ | ۱۰۳-۲  |
| ۲-۴-۱۱۹ | ۱۰۴-۲  |
| ۲-۴-۱۲۰ | ۱۰۵-۲  |
| ۲-۴-۱۲۱ | ۱۰۶-۲  |
| ۲-۴-۱۲۲ | ۱۰۷-۲  |
| ۲-۴-۱۲۳ | ۱۰۸-۲  |
| ۲-۴-۱۲۴ | ۱۰۹-۲  |
| ۲-۴-۱۲۵ | ۱۱۰-۲  |
| ۲-۴-۱۲۶ | ۱۱۱-۲  |
| ۲-۴-۱۲۷ | ۱۱۲-۲  |
| ۲-۴-۱۲۸ | ۱۱۳-۲  |
| ۲-۴-۱۲۹ | ۱۱۴-۲  |
| ۲-۴-۱۳۰ | ۱۱۵-۲  |
| ۲-۴-۱۳۱ | ۱۱۶-۲  |
| ۲-۴-۱۳۲ | ۱۱۷-۲  |
| ۲-۴-۱۳۳ | ۱۱۸-۲  |
| ۲-۴-۱۳۴ | ۱۱۹-۲  |
| ۲-۴-۱۳۵ | ۱۲۰-۲  |
| ۲-۴-۱۳۶ | ۱۲۱-۲  |
| ۲-۴-۱۳۷ | ۱۲۲-۲  |
| ۲-۴-۱۳۸ | ۱۲۳-۲  |
| ۲-۴-۱۳۹ | ۱۲۴-۲  |
| ۲-۴-۱۴۰ | ۱۲۵-۲  |
| ۲-۴-۱۴۱ | ۱۲۶-۲  |
| ۲-۴-۱۴۲ | ۱۲۷-۲  |
| ۲-۴-۱۴۳ | ۱۲۸-۲  |
| ۲-۴-۱۴۴ | ۱۲۹-۲  |
| ۲-۴-۱۴۵ | ۱۳۰-۲  |
| ۲-۴-۱۴۶ | ۱۳۱-۲  |
| ۲-۴-۱۴۷ | ۱۳۲-۲  |
| ۲-۴-۱۴۸ | ۱۳۳-۲  |
| ۲-۴-۱۴۹ | ۱۳۴-۲  |
| ۲-۴-۱۵۰ | ۱۳۵-۲  |
| ۲-۴-۱۵۱ | ۱۳۶-۲  |
| ۲-۴-۱۵۲ | ۱۳۷-۲  |
| ۲-۴-۱۵۳ | ۱۳۸-۲  |
| ۲-۴-۱۵۴ | ۱۳۹-۲  |
| ۲-۴-۱۵۵ | ۱۴۰-۲  |
| ۲-۴-۱۵۶ | ۱۴۱-۲  |
| ۲-۴-۱۵۷ | ۱۴۲-۲  |
| ۲-۴-۱۵۸ | ۱۴۳-۲  |
| ۲-۴-۱۵۹ | ۱۴۴-۲  |
| ۲-۴-۱۶۰ | ۱۴۵-۲  |
| ۲-۴-۱۶۱ | ۱۴۶-۲  |
| ۲-۴-۱۶۲ | ۱۴۷-۲  |
| ۲-۴-۱۶۳ | ۱۴۸-۲  |
| ۲-۴-۱۶۴ | ۱۴۹-۲  |
| ۲-۴-۱۶۵ | ۱۵۰-۲  |
| ۲-۴-۱۶۶ | ۱۵۱-۲  |
| ۲-۴-۱۶۷ | ۱۵۲-۲  |
| ۲-۴-۱۶۸ | ۱۵۳-۲  |
| ۲-۴-۱۶۹ | ۱۵۴-۲  |
| ۲-۴-۱۷۰ | ۱۵۵-۲  |
| ۲-۴-۱۷۱ | ۱۵۶-۲  |
| ۲-۴-۱۷۲ | ۱۵۷-۲  |
| ۲-۴-۱۷۳ | ۱۵۸-۲  |
| ۲-۴-۱۷۴ | ۱۵۹-۲  |
| ۲-۴-۱۷۵ | ۱۶۰-۲  |
| ۲-۴-۱۷۶ | ۱۶۱-۲  |
| ۲-۴-۱۷۷ | ۱۶۲-۲  |
| ۲-۴-۱۷۸ | ۱۶۳-۲  |
| ۲-۴-۱۷۹ | ۱۶۴-۲  |
| ۲-۴-۱۸۰ | ۱۶۵-۲  |
| ۲-۴-۱۸۱ | ۱۶۶-۲  |
| ۲-۴-۱۸۲ | ۱۶۷-۲  |
| ۲-۴-۱۸۳ | ۱۶۸-۲  |
| ۲-۴-۱۸۴ | ۱۶۹-۲  |
| ۲-۴-۱۸۵ | ۱۷۰-۲  |
| ۲-۴-۱۸۶ | ۱۷۱-۲  |
| ۲-۴-۱۸۷ | ۱۷۲-۲  |
| ۲-۴-۱۸۸ | ۱۷۳-۲  |
| ۲-۴-۱۸۹ | ۱۷۴-۲  |
| ۲-۴-۱۹۰ | ۱۷۵-۲  |
| ۲-۴-۱۹۱ | ۱۷۶-۲  |
| ۲-۴-۱۹۲ | ۱۷۷-۲  |
| ۲-۴-۱۹۳ | ۱۷۸-۲  |
| ۲-۴-۱۹۴ | ۱۷۹-۲  |
| ۲-۴-۱۹۵ | ۱۸۰-۲  |
| ۲-۴-۱۹۶ | ۱۸۱-۲  |
| ۲-۴-۱۹۷ | ۱۸۲-۲  |
| ۲-۴-۱۹۸ | ۱۸۳-۲  |
| ۲-۴-۱۹۹ | ۱۸۴-۲  |
| ۲-۴-۲۰۰ | ۱۸۵-۲  |
| ۲-۴-۲۰۱ | ۱۸۶-۲  |
| ۲-۴-۲۰۲ | ۱۸۷-۲  |
| ۲-۴-۲۰۳ | ۱۸۸-۲  |
| ۲-۴-۲۰۴ | ۱۸۹-۲  |
| ۲-۴-۲۰۵ | ۱۹۰-۲  |
| ۲-۴-۲۰۶ | ۱۹۱-۲  |
| ۲-۴-۲۰۷ | ۱۹۲-۲  |
| ۲-۴-۲۰۸ | ۱۹۳-۲  |
| ۲-۴-۲۰۹ | ۱۹۴-۲  |
| ۲-۴-۲۱۰ | ۱۹۵-۲  |
| ۲-۴-۲۱۱ | ۱۹۶-۲  |
| ۲-۴-۲۱۲ | ۱۹۷-۲  |
| ۲-۴-۲۱۳ | ۱۹۸-۲  |
| ۲-۴-۲۱۴ | ۱۹۹-۲  |
| ۲-۴-۲۱۵ | ۲۰۰-۲  |
| ۲-۴-۲۱۶ | ۲۰۱-۲  |
| ۲-۴-۲۱۷ | ۲۰۲-۲  |
| ۲-۴-۲۱۸ | ۲۰۳-۲  |
| ۲-۴-۲۱۹ | ۲۰۴-۲  |
| ۲-۴-۲۲۰ | ۲۰۵-۲  |
| ۲-۴-۲۲۱ | ۲۰۶-۲  |
| ۲-۴-۲۲۲ | ۲۰۷-۲  |
| ۲-۴-۲۲۳ | ۲۰۸-۲  |
| ۲-۴-۲۲۴ | ۲۰۹-۲  |
| ۲-۴-۲۲۵ | ۲۱۰-۲  |
| ۲-۴-۲۲۶ | ۲۱۱-۲  |
| ۲-۴-۲۲۷ | ۲۱۲-۲  |
| ۲-۴-۲۲۸ | ۲۱۳-۲  |
| ۲-۴-۲۲۹ | ۲۱۴-۲  |
| ۲-۴-۲۳۰ | ۲۱۵-۲  |
| ۲-۴-۲۳۱ | ۲۱۶-۲  |
| ۲-۴-۲۳۲ | ۲۱۷-۲  |
| ۲-۴-۲۳۳ | ۲۱۸-۲  |
| ۲-۴-۲۳۴ | ۲۱۹-۲  |
| ۲-۴-۲۳۵ | ۲۲۰-۲  |
| ۲-۴-۲۳۶ | ۲۲۱-۲  |
| ۲-۴-۲۳۷ | ۲۲۲-۲  |
| ۲-۴-۲۳۸ | ۲۲۳-۲  |
| ۲-۴-۲۳۹ | ۲۲۴-۲  |
| ۲-۴-۲۴۰ | ۲۲۵-۲  |
| ۲-۴-۲۴۱ | ۲۲۶-۲  |
| ۲-۴-۲۴۲ | ۲۲۷-۲  |
| ۲-۴-۲۴۳ | ۲۲۸-۲  |
| ۲-۴-۲۴۴ | ۲۲۹-۲  |
| ۲-۴-۲۴۵ | ۲۳۰-۲  |
| ۲-۴-۲۴۶ | ۲۳۱-۲  |
| ۲-۴-۲۴۷ | ۲۳۲-۲  |
| ۲-۴-۲۴۸ | ۲۳۳-۲  |
| ۲-۴-۲۴۹ | ۲۳۴-۲  |
| ۲-۴-۲۵۰ | ۲۳۵-۲  |
| ۲-۴-۲۵۱ | ۲۳۶-۲  |
| ۲-۴-۲۵۲ | ۲۳۷-۲  |
| ۲-۴-۲۵۳ | ۲۳۸-۲  |
| ۲-۴-۲۵۴ | ۲۳۹-۲  |
| ۲-۴-۲۵۵ | ۲۴۰-۲  |
| ۲-۴-۲۵۶ | ۲۴۱-۲  |
| ۲-۴-۲۵۷ | ۲۴۲-۲  |
| ۲-۴-۲۵۸ | ۲۴۳-۲  |
| ۲-۴-۲۵۹ | ۲۴۴-۲  |
| ۲-۴-۲۶۰ | ۲۴۵-۲  |
| ۲-۴-۲۶۱ | ۲۴۶-۲  |
| ۲-۴-۲۶۲ | ۲۴۷-۲  |
| ۲-۴-۲۶۳ | ۲۴۸-۲  |
| ۲-۴-۲۶۴ | ۲۴۹-۲  |
| ۲-۴-۲۶۵ | ۲۵۰-۲  |
| ۲-۴-۲۶۶ | ۲۵۱-۲  |
| ۲-۴-۲۶۷ | ۲۵۲-۲  |
| ۲-۴-۲۶۸ | ۲۵۳-۲  |
| ۲-۴-۲۶۹ | ۲۵۴-۲  |
| ۲-۴-۲۷۰ | ۲۵۵-۲  |
| ۲-۴-۲۷۱ | ۲۵۶-۲  |
| ۲-۴-۲۷۲ | ۲۵۷-۲  |
| ۲-۴-۲۷۳ | ۲۵۸-۲  |
| ۲-۴-۲۷۴ | ۲۵۹-۲  |
| ۲-۴-۲۷۵ | ۲۶۰-۲  |
| ۲-۴-۲۷۶ | ۲۶۱-۲  |
| ۲-۴-۲۷۷ | ۲۶۲-۲  |
| ۲-۴-۲۷۸ | ۲۶۳-۲  |
| ۲-۴-۲۷۹ | ۲۶۴-۲  |
| ۲-۴-۲۸۰ | ۲۶۵-۲  |
| ۲-۴-۲۸۱ | ۲۶۶-۲  |
| ۲-۴-۲۸۲ | ۲۶۷-۲  |
| ۲-۴-۲۸۳ | ۲۶۸-۲  |
| ۲-۴-۲۸۴ | ۲۶۹-۲  |
| ۲-۴-۲۸۵ | ۲۷۰-۲  |
| ۲-۴-۲۸۶ | ۲۷۱-۲  |
| ۲-۴-۲۸۷ | ۲۷۲-۲  |
| ۲-۴-۲۸۸ | ۲۷۳-۲  |
| ۲-۴-۲۸۹ | ۲۷۴-۲  |
| ۲-۴-۲۹۰ | ۲۷۵-۲  |
| ۲-۴-۲۹۱ | ۲۷۶-۲  |
| ۲-۴-۲۹۲ | ۲۷۷-۲  |
| ۲-۴-۲۹۳ | ۲۷۸-۲  |
| ۲-۴-۲۹۴ | ۲۷۹-۲  |
| ۲-۴-۲۹۵ | ۲۸۰-۲  |
| ۲-۴-۲۹۶ | ۲۸۱-۲  |
| ۲-۴-۲۹۷ | ۲۸۲-۲  |
| ۲-۴-۲۹۸ | ۲۸۳-۲  |
| ۲-۴-۲۹۹ | ۲۸۴-۲  |
| ۲-۴-۳۰۰ | ۲۸۵-۲  |
| ۲-۴-۳۰۱ | ۲۸۶-۲  |
| ۲-۴-۳۰۲ | ۲۸۷-۲  |
| ۲-۴-۳۰۳ | ۲۸۸-۲  |
| ۲-۴-۳۰۴ | ۲۸۹-۲  |
| ۲-۴-۳۰۵ | ۲۹۰-۲  |
| ۲-۴-۳۰۶ | ۲۹۱-۲  |
| ۲-۴-۳۰۷ | ۲۹۲-۲  |
| ۲-۴-۳۰۸ | ۲۹۳-۲  |
| ۲-۴-۳۰۹ | ۲۹۴-۲  |
| ۲-۴-۳۱۰ | ۲۹۵-۲  |
| ۲-۴-۳۱۱ | ۲۹۶-۲  |
| ۲-۴-۳۱۲ | ۲۹۷-۲  |
| ۲-۴-۳۱۳ | ۲۹۸-۲  |
| ۲-۴-۳۱۴ | ۲۹۹-۲  |
| ۲-۴-۳۱۵ | ۳۰۰-۲  |
| ۲-۴-۳۱۶ | ۳۰۱-۲  |
| ۲-۴-۳۱۷ | ۳۰۲-۲  |
| ۲-۴-۳۱۸ | ۳۰۳-۲  |
| ۲-۴-۳۱۹ | ۳۰۴-۲  |
| ۲-۴-۳۲۰ | ۳۰۵-۲  |
| ۲-۴-۳۲۱ | ۳۰۶-۲  |
| ۲-۴-۳۲۲ | ۳۰۷-۲  |
| ۲-۴-۳۲۳ | ۳۰۸-۲  |
| ۲-۴-۳۲۴ | ۳۰۹-۲  |
| ۲-۴-۳۲۵ | ۳۱۰-۲  |
| ۲-۴-۳۲۶ | ۳۱۱-۲  |
| ۲-۴-۳۲۷ | ۳۱۲-۲  |
| ۲-۴-۳۲۸ | ۳۱۳-۲  |
| ۲-۴-۳۲۹ | ۳۱۴-۲  |
| ۲-۴-۳۳۰ | ۳۱۵-۲  |
| ۲-۴-۳۳۱ | ۳۱۶-۲  |
| ۲-۴-۳۳۲ | ۳۱۷-۲  |
| ۲-۴-۳۳۳ | ۳۱۸-۲  |
| ۲-۴-۳۳۴ | ۳۱۹-۲  |
| ۲-۴-۳۳۵ | ۳۲۰-۲  |
| ۲-۴-۳۳۶ | ۳۲۱-۲  |
| ۲-۴-۳۳۷ | ۳۲۲-۲  |
| ۲-۴-۳۳۸ | ۳۲۳-۲  |
| ۲-۴-۳۳۹ | ۳۲۴-۲  |
| ۲-۴-۳۴۰ | ۳۲۵-۲  |
| ۲-۴-۳۴۱ | ۳۲۶-۲  |
| ۲-۴-۳۴۲ | ۳۲۷-۲  |
| ۲-۴-۳۴۳ | ۳۲۸-۲  |
| ۲-۴-۳۴۴ | ۳۲۹-۲  |
| ۲-۴-۳۴۵ | ۳۳۰-۲  |
| ۲-۴-۳۴۶ | ۳۳۱-۲  |
| ۲-۴-۳۴۷ | ۳۳۲-۲  |
| ۲-۴-۳۴۸ | ۳۳۳-۲  |
| ۲-۴-۳۴۹ | ۳۳۴-۲  |
| ۲-۴-۳۵۰ | ۳۳۵-۲  |
| ۲-۴-۳۵۱ | ۳۳۶-۲  |
| ۲-۴-۳۵۲ | ۳۳۷-۲  |
| ۲-۴-۳۵۳ | ۳۳۸-۲  |
| ۲-۴-۳۵۴ | ۳۳۹-۲  |
| ۲-۴-۳۵۵ | ۳۴۰-۲  |
| ۲-۴-۳۵۶ | ۳۴۱-۲  |
| ۲-۴-۳۵۷ | ۳۴۲-۲  |
| ۲-۴-۳۵۸ | ۳۴   |

III	زیر پروژه اکتشاف نیمه تفصیلی آندازویت میشدوان بافق فهرست	 مادانکاو مهندسان مهندسی Madankav Consulting Engineers Co.
-----	---	--

- ۵-۴ ۱-۲-۴- بلوک II و مقدار ذخیره آن
- ۶-۴ ۱-۲-۴- بلوک III و مقدار ذخیره آن
- ۷-۴ ۱-۲-۴- بلوک IV و مقدار ذخیره آن
- ۸-۴ ۱-۲-۴- بلوک V و مقدار ذخیره آن
- ۱۰-۴ ۱-۲-۴- بلوک VI و مقدار ذخیره آن
- ۱۰-۴ ۱-۲-۴- بلوک VII و مقدار ذخیره آن
- ۱۰-۴ ۱-۲-۴- بلوک VIII و مقدار ذخیره آن
- ۱۲-۴ ۴-۳- تخمین ذخیره سیلیمانیت در منطقه چادرنگون
- ۱-۵ فصل پنجم : نتیجه گیری و پیشنهادات
- ۲-۵ ۱-۱-۵- نتیجه گیری
- ۲-۵ ۱-۱-۵- نتایج حفریات
- ۳-۵ ۱-۲-۱-۵- نتایج آزمایشگاهی
- ۳-۵ ۱- نتایج تهیه تیغه نازک پتروگرافی
- ۳-۵ ۲- نتایج مطالعات XRD
- ۴-۵ ۳- نتایج حاصل از مطالعات آنالیز شیمیایی
- ۴-۵ ۱-۳-۱-۵- تهیه نقشه توبوگرافی ۱:۵۰۰۰
- ۴-۵ ۱-۴-۱-۵- تهیه نقشه زمین شناسی ۱:۵۰۰۰
- ۵-۵ ۱-۵-۱-۵- کیفیت ماده معدنی
- ۵-۵ ۱-۶-۱-۵- ارزیابی ذخیره
- ۷-۵ ۲-۵- پیشنهادات

## فهرست عکسها

صفحه

عنوان

فصل اول

عکس شماره (۱-۱)- نمای عمومی منطقه مورد مطالعه چادرنة بن

فصل دوم

عکس شماره (۱-۲)- تپه منفردی که ستون چینه شناسی آن با منطقه میشدون بکی

۹-۲ است در جنوب رودخانه چادرتفون

عکس شماره (۲-۱)- نمای عمومی منطقه مورد مطالعه در شمال رودخانه چادرتفون

۱۱-۲ (دید از جنوب به شمال)

عکس شماره (۳-۱)- نمای عمومی منطقه مورد مطالعه در جنوب رودخانه چادرتفون

۱۱-۲ (دید از شمال به جنوب)

عکس شماره (۴-۱)- واحد میکا شیست و شیست کانه دار در غرب منطقه

عکس شماره (۵-۱)- واحد کیانیت گارنت شیست ، پراکندگی بلورهای گروه کیانیت

۱۸-۲ و ضخامت آن در بلوی II

عکس شماره (۶-۱)- واحد شیستهای کانه دار و بدون کانه رگه ها و پچ ها کوارتریتی

۱۸-۲ در محدود چاهک II

عکس شماره (۷-۱)- سنگهای بدست آمده از چاهک III و II و از نوع میکا شیست

۲۱-۲ متورق خاکستری

عکس شماره (۸-۱)- واحد شیست کانه دار و میکا شیست متورق خاکستری در بالا

V	زیر پروره اکتشاف نیمه تفصیلی آندالوزیت میشدوان بافق فیبرست	
---	---	--

عکس شماره (۹-۲)- بیج ها و لایه های کوارتزیتی در شمال شرقی محدوده مورد مطالعه

عکس شماره (۱۰-۲)- تناوب لایه های آمفیبولیت، گنیس و کوارتزیت در ارتفاعات

۲۶-۲ شمال غرب محدوده مورد مطالعه

عکس شماره (۱۱-۲)- رخنمون آمفیبولیت در میان لایه های شیستی در شمال غرب منطقه

عکس شماره (۱۲-۲)- آهکهای سیلیسی و متامورف در سمت جنوب شرقی رودخانه

۲۷-۲ چادرنون

عکس شماره (۱۳-۲)- زمینهای رخنمونهای ژوراسیک و کرتاسه در سمت جنوب شرقی منطقه

عکس شماره (۱۴-۲)- زمینهای رخنمونهای ژوراسیک و کرتاسه در شمال غرب منطقه

عکس شماره (۱۵-۲)- رودخانه چادرنون، رسوبات و نهشته های طبیانی و سیلانی

عکس شماره (۱۶-۲)- تراسهای آبرفتی در اطراف مسیل چادرنون و ارتفاع رسوبات و تراس

۳۲-۲ عکس شماره (۱۷-۲)- زمینهای کواترنر، واریزه و سنگ ریزه

عکس شماره (۱۸-۲)- پراکندگی بلورهای گروه سیلیمانیت در سطح زمین و اطراف

۳۹-۲ چاهک شماره III

عکس شماره (۱۹-۲)- نازک لایه سیلیمانیت در جنوب رودخانه چادرنون

## فصل سوم

عکس شماره (۱-۳)- قسمتی از مقطع میکروسکوپی نمونه Y-A2-2

عکس شماره (۲-۳)- قسمتی از مقطع میکروسکوپی نمونه Y-A2-4

عکس شماره (۳-۳)- نمای ترانشه In-Tr در لایه های شیستی (دید از سمت جنوب شرقی

۱۲-۳ به سمت شمال غربی)

عکس شماره (۴-۳)- نمای ترانشه In-Tr (دید از سمت جوب غربی - سمت شمال شرقی)

عکس شماره (۱۴-۳)- نمای تراشه Tr.IVn (دید از سمت جنوب غربی به سمت شمال شرقی)

عکس شماره (۱۵-۳)- نمای تراشه Tr.Vn (دید از سمت جنوب به سمت شمال)

عکس شماره (۱۶-۳)- نمایی از چاهک I حفر شده در لایه گارنت شیست

عکس شماره (۱۷-۳)- نمایی از چاهک II حفر شده در لایه گارنت میکاشیست

عکس شماره (۱۸-۳)- نمایی از چاهک III حفر شده در لایه میکاشیست

عکس شماره (۱۹-۳)- قسمتی از مقطع میکروسکوپی نمونه ۶-Y-A2 در نور پلاریزه

با بزرگنمایی ×۳۳

عکس شماره (۲۰-۳)- قسمتی از مقطع میکروسکوپی نمونه ۷-Y-A2 در نور پلاریزه

با بزرگنمایی ×۳۳

عکس شماره (۲۱-۳)- قسمتی از مقطع میکروسکوپی نمونه ۸-Y-A2 در نور پلاریزه

با بزرگنمایی ×۳۳

عکس شماره (۲۲-۳)- قسمتی از مقطع میکروسکوپی نمونه ۹-Y-A2 در نور عادی

با بزرگنمایی ×۳۳

عکس شماره (۲۳-۳)- قسمتی از مقطع میکروسکوپی نمونه ۱۰-Y-A2 در نور پلاریزه

با بزرگنمایی ×۳۳

عکس شماره (۲۴-۳)- قسمتی از مقطع میکروسکوپی نمونه ۱۱-Y-A2 در نور پلاریزه

با بزرگنمایی ×۳۳

عکس شماره (۲۵-۳)- قسمتی از مقطع میکروسکوپی نمونه ۱۲-Y-A2 در نور پلاریزه

با بزرگنمایی ×۸۵

عکس شماره (۲۶-۳)- قسمتی از مقطع میکروسکوپی نمونه ۱۳-Y-A2 در نور پلاریزه

با بزرگنمایی ×۸۵

۳۵-۳

با بزرگنمایی ×۳۳

عکس شماره (۲۰-۳)- قسمتی از مقطع میکروسکوپی نمونه Y-A2-17 در نور پلاریزه

۳۵-۳

با بزرگنمایی ×۳۳

عکس شماره (۲۱-۳)- قسمتی از مقطع میکروسکوپی نمونه Y-A2-19 در نور پلاریزه

۳۷-۳

با بزرگنمایی ×۳۳

عکس شماره (۲۲-۳)- قسمتی از مقطع میکروسکوپی نمونه Y-A2-21 در نور پلاریزه

۳۷-۳

با بزرگنمایی ×۳۳

عکس شماره (۲۳-۳)- قسمتی از مقطع میکروسکوپی نمونه Y-A2-23 در نور پلاریزه

۳۹-۳

با بزرگنمایی ×۳۳

عکس شماره (۲۴-۳)- قسمتی از مقطع میکروسکوپی نمونه Y-A2-25 در نور پلاریزه

۳۹-۳

با بزرگنمایی ×۳۳

## فصل چهارم

۹-۴

عکس شماره (۱-۴)- پراکندگی کائینها در سطح زمین در اطراف چاهک شماره I

۹-۴

چاهک شماره II

عکس شماره (۲-۴)- پراکندگی بلورهای گروه سیلیمانیت در سطح زمین در اطراف

VIII	زیر بروزه اکتشاف نیمه تفصیلی آندازوخت میشدون بافق فهرست	 مدانکی مهندسان مشاور Madankay Consulting Engineers Co.
------	--	--

## فهرست اشکال

صفحه

عنوان

فصل اول

۷-۱ شکل (۱-۱)- راههای دسترسی به منطقه مورد مطالعه چادرتفون

۹-۱ شکل (۲-۱)- توبوگرافی و موقعیت منطقه مورد مطالعه

فصل چهارم

۴-۴ شکل (۱-۴)- شمایی از نحوه تخمین ذخیره بلوکهای منطقه

## فهرست جداول

صفحه

عنوان

فصل اول

جدول شماره (۱-۱)- آنالیز شیمیایی بلور کیانیت

جدول شماره (۲-۱)- لیست قیمت و نوع کانیهای سیلیمانیت در بازارهای بین المللی

فصل سوم

جدول شماره (۳-۱)- نتایج آنالیز نمونه های مرحله اول از ترانشه حفاری شده قبلی

جدول شماره (۳-۲)- نتایج آزمایش X.R.D نمونه های مرحله اول قرارداد

جدول شماره (۳-۳)- مشخصات ترانشه های قدیمی و جدید

جدول شماره (۴-۳)- لیست نمونه های برداشت شده نوبت اول از مرحله دوم و آزمایشات

انجام گرفته بر روی آنها

جدول شماره (۵-۳)- نتایج آنالیز شیمیایی نمونه ها نوبت اول از مرحله دوم

جدول شماره (۶-۳)- نتایج سری اول از مرحله دوم

جدول شماره (۷-۳)- نتایج آنالیز شیمیایی نمونه ها نوبت دوم از مرحله دوم

جدول شماره (۸-۳)- نتایج آنالیز شیمیایی نمونه ها نوبت دوم از مرحله دوم

جدول شماره (۹-۳)- نتایج آزمایش X.R.D نمونه های نوبت دوم از مرحله دوم

فصل چهارم

سیل (۱۰-۴)- مقدار ذخیره هر بلوك به تفکیک مقدار کالی سازی

۱-۱

زیر پروردۀ اکتشاف نیمه تفصیلی آنالوژیت مبیندان بافق

فصل اول- کلیات



# فصل اول

## کلیات

## ۱-۱- مقدمه

در راستای تکمیل اکتشافات نیمه تفصیلی کانی های گروه سیلیمانیت در منطقه میشدوان بافق و همچنین در ادامه کارهای مقدماتی انجام شده در منطقه توسط شرکت تهیه

و تولید مواد اولیه فولاد ایران (اکتشاف واحد جنوب)، در سال ۱۳۷۸ طرح اکتشاف

نیمه تفصیلی آنالوژیت بافق (منطقه معدنی شماره ۱) و در ادامه، طرح منطقه معدنی

شماره (۲) در شمال غربی منطقه معدنی تحت عنوان زیر پروژه اکتشاف نیمه تفصیلی

میشدوان بافق، از سوی اداره کل معدن و فناز استان یزد ارائه گردید.

این طرح در مورخه ۷۸/۹/۲۰ طی حکمی به شماره ۵۲۲۱ جهت اجرا به این مشاور

واگذار گردید تا با استفاده از تلفیق اطلاعات و نتایج به دست آمده از منطقه معدنی آنالوژیت

(۱) با اطلاعات حاصل از منطقه جدید، نوع کانیهای این گروه و مقدار ذخیره برآورد گردد.

گزارش زیر پروژه اکتشاف نیمه تفصیلی آنالوژیت میشدوان بافق (منطقه معدنی

شماره (۲) ) بر اساس شرح خدمات پیوست شماره یک منضم بر قرارداد، در چند بخش

تنظیم گردید.

در فصل اول به طور خلاصه، کلیاتی از منطقه و کارهای پیشین انجام شده و ...

آورده شده است. جهت تکمیل این بخش از گزارش، روشهای تغليظ این گروه از کانیها آورده

شده و تا حدودی سعی شده است اطلاعات تکمیلی در مورد کیانیت به دلیل اینکه مقدار

قابل توجهی از کانی سازی مربوط به این کانی است، آورده شود. در انتهای دورنمایی از تولید،

کاربرد و قیمت این کانیها آورده شوند.

## فصل دوم تحت عنوان بررسیهای انحصار شده در منطقه اکتشافی چادرتفون در شمال

بافق آورده شده است.

در این بخش ابتدا روش‌های اکتشاف و مراحل آن و سپس ویژگیهای زمین‌شناسی

و معدنی این محدوده و مقایسه آن با منطقه معدنی شماره (۱) آمده است. در ادامه ستون

چینه‌شناسی منطقه و سپس واحدهای لیتولوزی منطقه به تفکیک آمده و گزارش نقشه

زمین‌شناسی در مقیاس ۱:۵۰۰۰ آورده شده است. در ادامه، ساختار تکتونیکی این ناحیه

بررسی گردیده است.

فصل سوم گزارش، تحت عنوان حفاری، نمونه برداری و انجام آزمایشات، مراحل

مختلف نمونه برداری، طراحی شبکه حفاری و عملیات حفاری آورده شده است. همچنین

موقعیت و مشخصات ترانشه و چاهکهای حفاری شده و سپس نمونه برداری سیستماتیک از

طول ترانشه‌ها و چاهک‌ها آمده است. سپس آزمایشات انجام گرفته بر روی نمونه‌های اخذ

شده در مراحل مختلف شرح خدمات این طرح ذکر گردیده در فصل چهارم این گزارش بر

اساس عملکرد تکتونیک در منطقه، ذخیره وجود بلوک بندی گردیده و ذخیره هر بلوک مورد

ارزیابی و تخمین قرار گرفته است. در نهایت در فصل پنجم تحت عنوان نتیجه گیری و

پیشنهادات، کل فعالیتهای صورت گرفته در منطقه تجزیه و تحلیل گردید و پیشنهاداتی برای

ادامه کار در مناطق مستعد ارائه گردیده است.

به دلیل ناکافی بودن نتایج اکتشافات مقدماتی انجام گرفته بر روی این ذخیره، این

قرارداد در دو مرحله تنظیم شده بود. پس از حصول نتایج مثبت در مراحل ابتدایی این

قرارداد، بقیه کارها به صورت سیستماتیک، بر روی این ذخیره صورت گرفته است.

## ۱-۲- شرایط جغرافیایی و اقلیمی منطقه

منطقه مورد مطالعه در استان یزد، در شمال شهرستان بافق در محلی بنام چادرنگون

واقع شده است. این منطقه در مختصات  $۳۶^{\circ} ۵۰' E$  و  $۳۵^{\circ} ۵۵' N$  تا  $۳۷^{\circ} ۰' E$  و  $۳۵^{\circ} ۵۰' N$  واقع شده است.

طول شرقی و  $۸^{\circ}$  و  $۵۲'$  و  $۳۱^{\circ}$  تا  $۸^{\circ}$  و  $۵۳'$  و  $۳۱^{\circ}$  عرض شمالی در جنوب شرق برگه

$۱/۵ : ۵۰,۰۰۰$  حسن آباد و در بخش مرکزی بافق و دهستان مبارکه با وسعتی حدود

کیلومترمربع قرار گرفته است. در عکس شماره (۱-۱) نمای عمومی منطقه آنالوژیت

چادرنگون دیده می شود.

راه دسترسی به منطقه مورد مطالعه از طریق جاده آسفالتی یزد - بافق - چهارت و

پس از آن ، از طریق جاده خاکی چهارت - چادرملو پس از طی ۲۲ کیلومتر صورت

می گیرد که بعد از طی مسافت فوق بایستی حدود ۱۲ کیلومتر به سمت کویر طی مسیر

نمود. در این بین جاده ای وجود ندارد و برای دسترسی به منطقه باید از مسیر بیابانی

گذشت. این منطقه در ۱۲ کیلومتری شمال غربی منطقه معدنی آنالوژیت (۱) واقع شده

است.

علاوه بر مسیر ذکر شده در فوق ، راه دسترسی آسانتری نیز در جنوب شهرستان بافق وجود دارد . این راه پس از عبور از بافق تا روستای باقرآباد جاده آسفالته درجه ۲ به طول

۱۰ کیلومتر دارد ، که پس از ۱۰ کیلومتر راه سنی به روستای صادق آباد و ۶ کیلومتر راه

خاکی خوب به روستای حسن آباد می رسد. از روستای حسن آباد تا منطقه معدنی شماره ۲

حدود ۱۱ کیلومتر راه بیابانی هموار و بدون مشخصه های جاده ای وجود دارد که نسبتاً بهتر از

مسیر اولی می باشد ولی به دلیل عدم وجود نشانه های راه ، احتمال گمراه شدن در مسیر

بسیار زیاد می باشد. در شکل شماره (۱-۱) به طور شماتیک راههای دسترسی به منطقه

معدنی آنالوژیت (۲) از شهرستان بافق نشان داده شده است.

محدوده مورد مطالعه به دلیل قرار گرفتن در قسمت مرکزی فلات ایران دارای آب و

هوای کویری و بیابانی می باشد. از آنجائیکه این ناحیه خیلی نزدیک تر به کویر درانجیر بوده

بسیار گرم و گاهی درجه حرارت تا ۵۰ درجه در فصل گرما می رسد. مقدار بارندگی در این

منطقه بسیار کم و کمتر از ۳۰ میلیمتر بوده و طبق آخرین آمار اخذ شده از شهرستان بافق

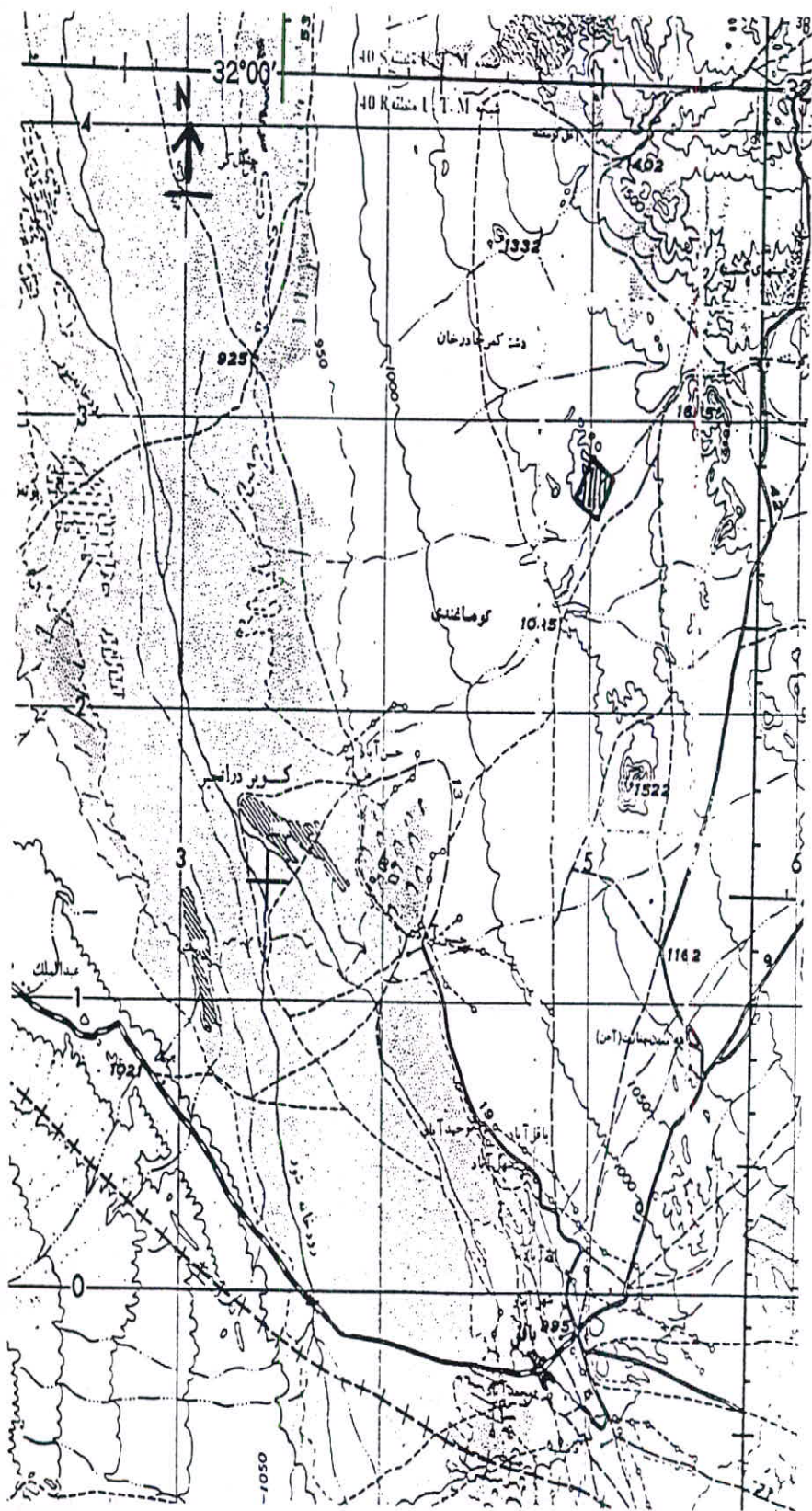
حداکثر رطوبت نسبی در این ناحیه ۴۰ درصد و حداقل آن ۱۶ درصد می باشد. در فصول

زمستان درجه حرارت این ناحیه به دلیل قرار گرفتن در ناحیه کویری به ۷ درجه زیر صفر

می رسد.

این منطقه بیشتر از زمینهای پست و هموار پوشیده شده است. ارتفاع متوسط منطقه

۱۱۵ متر و حداکثر و حداقل ارتفاع به ترتیب ۱۱۰.۵ متر و ۱۲۵.۴ متر می باشد.



شکل (۱-۱) - راههای دسترسی به منطقه مورد مطالعه چادرنگون

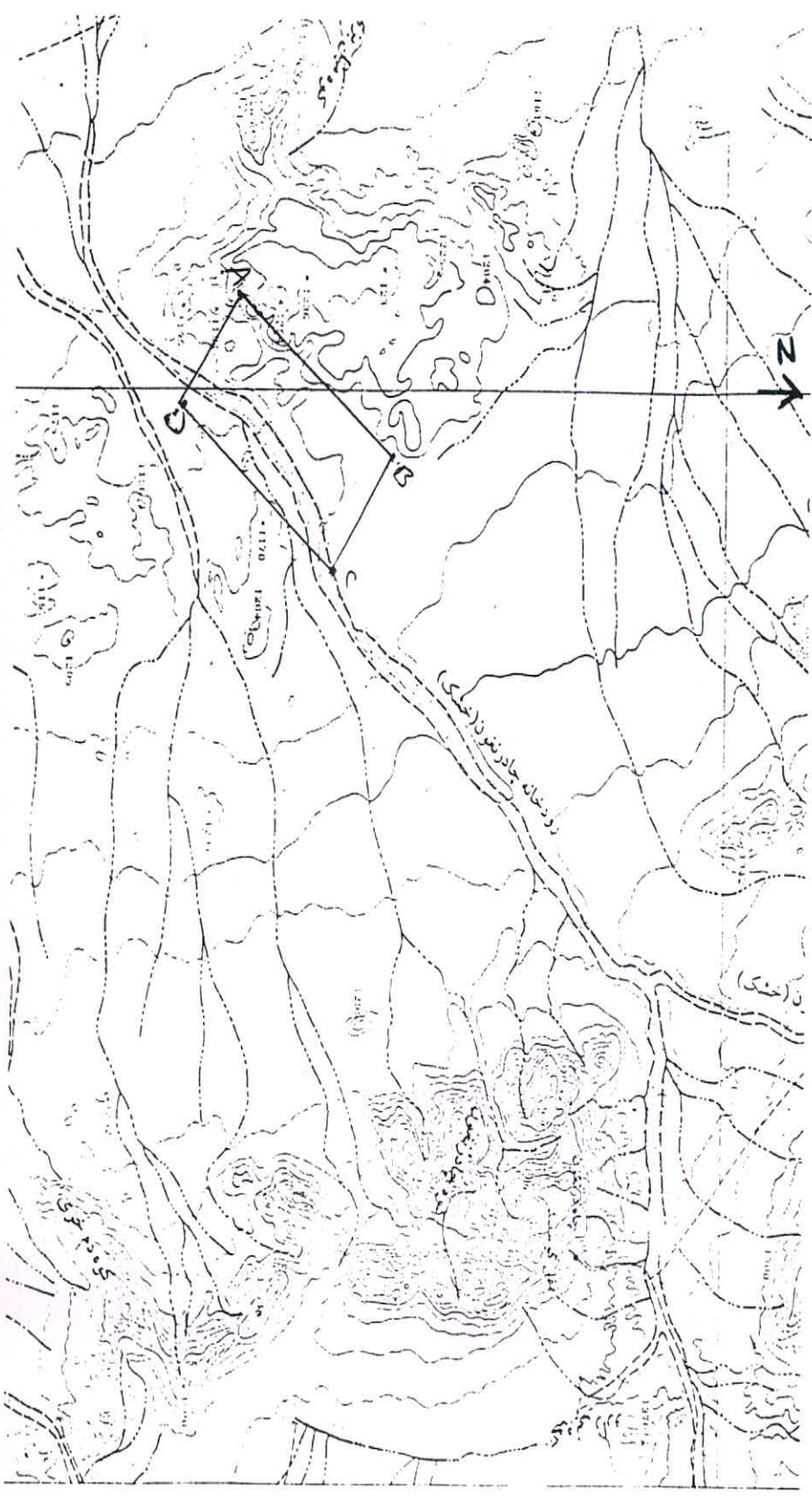
از مهمترین ارتفاعات موجود در منطقه می توان به کوههای میل بزی ، چادرنگون و دم خری اشاره نمود که تپه ماهورهای میان این ارتفاعات را پر کرده اند. در بین این تپه ماهورها، دشت های فرسایش یافته قرار گرفته اند. در شکل شماره (۲-۱) توپوگرافی منطقه مورد مطالعه و چهارگوش محدوده اکتشافی نشان داده شده است.

با توجه به نقشه های توپوگرافی و همچنین نقشه های زمین شناسی ، روند کلی ارتفاعات موجود در منطقه ، شمال غربی - جنوب شرقی می باشد. رودخانه خشک چادرنگون از مرکز محدوده مورد مطالعه می گذرد. روند کلی جهت آبراهه ها در این محدوده ، شمال شرقی - جنوب غربی می باشد.

### ۱-۳-۳- کارهای انجام شده قبلی

تنها کار انجام شده در منطقه آندازویت چادرنگون علاوه بر تهیه چهارگوش زمین شناسی ۲۵۰,۰۰۰:۱؛ یزد ، مطالعات پیجوانی ذخایر آندازویت بافق در چهارچوب عملیاتی مشتمل بر تهیه نقشه های زمین شناسی و توپوگرافی به مقیاس ۲۰۰۰:۱ ، حفر ترانشه ، انجام آزمایشات شیمیایی و دیفراکتومتری ، تهیه مقاطع نازک و مطالعات سنگ شناسی و تهیه گزارش مربوط طی قراردادی فیما بن اداره کل معادن و فلزات استان یزد و شرکت تهیه و تولید مواد اولیه فولاد انجام گردیده که نتیجه آن مشخص شدن چهار منطقه به عنوان آنومالی کانیهای گروه سیلیمانیت بوده است. آنومالی شماره (۲) (منطقه مورد

مطالعه) از نظر مقدار کانی سازی و کیفیت ماده معدنی پس از آنومالی شماره (۱) مذاسب ترین منطقه معرفی شده است که ادامه عملیات اکتشافی (نیمه تفصیلی) در این محله از کار انجام گردیده است.



شکل ۱-۱- تربوگرافی و موقعیت منطقه مورد مطالعه

بر اساس کارهای انجام شده قبلی ساختمان زمین شناسی این قسمت، شیسته‌های

متامورف متعلق به کمپلکس بنه شورو مشتمل بر میکاشیستهای تیره تا خاکستری رنگ نازک لایه به همراه گنیس‌های صورتی رنگ و تیره می‌باشد و کانی سازی در داخل شیسته‌ها و به صورت باندهای تشکیل شده است.

برای اکتشاف و شناسایی مقدماتی این محل تعداد ۵ تراشه جمعاً به طول ۲۳۰ متر به منظور تشخیص ابعاد رگه‌های معدنی حفر گردید و تعداد ۷ نمونه، ۵ عدد سنگی و ۲ عدد بلور، جهت تعیین کیفیت سنگهای کانه دار و کانیهای موجود برداشت و مورد آنالیز قرار گرفت. بر طبق اطلاعات و پی‌جوئی‌های مقدماتی صورت گرفته، بسترش طولی ماده معدنی در حدود ۶۵۰ الی ۷۰۰ متر و ضخامت عرض رگه معدنی حدود ۳۰ الی ۵۰ متر و مقدار کانی سازی از ۱۰ تا ۲۵ درصد متغیر است. با همین اطلاعات مقدار ذخیره این منطقه ۵۹۶۷۰ تن به صورت ذخیره احتمالی برآورد شده است. با توجه به نتایج اخذ شده از اکتشاف مقدماتی، طرح نیمه تفصیلی آنالوژیت (۲) چادرنگون ارائه و توسط این مشاور تکمیل گردید.

#### ۱-۴- زمین شناسی عمومی منطقه مورد مطالعه

منطقه مورد مطالعه چادرنگون در استان یزد و در زون ایران مرکزی (از تقسیم بنديهای زمین شناسی نبوی ۱۳۵۵) واقع شده است که جزء بزرگترین و پیچیده ترین واحدهای زمین شناسی ایران به شمار می‌رود. در این زون قدیمی ترین سنگهای دگرگون شده تا آتشستان فعال و نیمه فعال دوران سنوزوئیک وجود دارد (زمین شناسی

ایران، ع. درویش زاده، صفحه ۲۱۳، ۱۳۷۰) که در بیشتر جاها مرزهای واحدها با یکدیگر

گسلی می‌باشد.

ضخامت رخمنونهای سنگهای پرکامبرین در ایران مرکزی زیاد و خود از فرسایش

سنگهای اذرین قدیمی تر به وجود می‌آیند. دگرگونی شدید این سنگها بر اثر حرکات

کوهزایی کاتانگایی بوده است که این عامل باعث تغییرات رخساره‌ای و دگرشیبی زیادی

گردیده است.

در دوران‌های مژوزوئیک و سنوزوئیک، از نظر تکتونیکی زون ایران مرکزی منطقه

پرتحرکی بوده و فعالیت ماقمایی به صورت سنگهای آتشفسانی و توده‌های گرانیتی نفوذی

نیز در آن دیده می‌شود. رسوبات دوران پالئوزوئیک تا سنوزوئیک ایران مرکزی بیشتر از

رسوبات کم عمق می‌باشند. سنگهای آهکی، شیلی و ماسه سنگی، لیتولوژی اصلی

کامبرین را تشکیل می‌دهند. به عقیده نبوی سنگهای پرکامبرین بیشتر در شرق ایران

مرکزی گسترش داشته و شامل گنیس، آمفیولیت شیسته‌های مختلف و مرمر می‌باشند. در

پرکامبرین منطقه مورد مطالعه دو فاز ماقمایی اسیدی قابل تشخیص است و در آؤسن آن

شدیدترین و مهمترین آتشفسانی به وقوع پیوسته که خصوصاً منجر به تشکیل گدازه و توف

آنژیتی و داسیتی گردیده است. در آیگوسن سنگهای گرانیتی و دیوریتی در سنگهای

قدیمی تر نفوذ نموده‌اند، که موجب دگرگونی‌هایی در این سنگها شده‌اند.

اکثر سنگهای پی سنگ پرکامبرین در ایران از نوع میکاوشیست و گنیس می‌باشند که

بیشتر آنها از کوهزایی گارلین ناشی شده‌اند. در ناحیه مورد مطالعه، قدیمی‌ترین فاز

کوهزایی چاپدونین است که انواع آمفیبولیت، گنیس، میکاشیست، متاگریواک و میکاشیست

را به وجود آورده است.

بر اثر کوهزایی بایکالین سنگهای پیش از اینفراکامبرین ایران دچار گسل خوردگی،

چین خوردگی و دگرگونی شده و همزمان با آن فعالیت ماگمایی نیز آغاز گردیده است.

درجه دگرگونی سنگهای مناطق فوق الذکر متفاوت و بین رخساره های آمفیبولیت و

شیست سبز ( Green Schist ) در تغییر است.

پس از تشکیل رسوبات تخریبی کامبرین زیرین، نهشته های تخریبی و سپس آهکی

با پیشروی دریا، تا پایان پالئوزوئیک بر جا گذاشته شده است و در سیلورین پسین و دونین

پیشین رسوبات ماسه سنگی قرمز و ژیپس تشکیل گردیده است.

در اواخر کرتاسه - پالئوسن مناطقی از ایران از جمله ایران مرکزی، چین خوردگی

شدیدی پیدا کرده و لایه های ترسیری به حالت دگرشیب بر روی لایه های قدیمی تر قرار

گرفته اند.

## ۱-۵- کانیهای گروه سیلیمانیت و کاربرد آنها در صنعت نسوز

### ۱-۵-۱- مقدمه

کانیهای گروه سیلیمانیت، سیلیکات های آلومینیوم با فرمول  $\text{Al}_2\text{O}_3\text{SiO}_2$  می باشند.

این مواد از سیلیکات های جزیره ای ( Sorosilicate ) با یونهای اضافی آلومینیوم می باشند،

که شامل کانیهای آندالوزیت، کیانیت ( دیستن ) و سیلیمانیت است. از نظر ترکیب شیمیایی

مشابه ولی از نظر ساخته ایان بلوری با یکدیگر متفاوت هستند. این کانیها در اثر حرارت بسیار

بالا به مولیت و سیلیس تبدیل می شوند. مصرف عمدہ این کانیها در تولید فرآورده های نسوز

است که مورد نیاز صنایع آهن و فولاد می باشد.

فرآورده های نسوز سیلیمانیتی شامل آجرها و مواد نسوز ویژه است. برای ساخت آجر

اندازه ذرات کانیها باید درشت باشد در حالی که ذرات ریز را می توان در مواد دیگر استفاده

کرد. از نظر زمین شناسی این کانیها در مناطق دگرگونی یافت می شوند. همچنین در بیشتر

موارد پس از استخراج کانی، عملیات فرآوری لازم می باشد تا موادی با درجه خلوص بالاتر

تپیه شود.

از تولیدکنندگان عمدہ این مواد می توان آفریقای جنوبی، هند و امریکا را نام برد. در

کشورهای صنعتی با توجه به کمبود ذخایر طبیعی کانیهای گروه سیلیمانیت، ماده ای به نام

مولیت به صورت مصنوعی تولید می شود، که توانسته است جایگزین مناسبی برای این گروه

از کانی های طبیعی باشد. این ماده از کلسیناسیون بوکسیت - رس، آلومینا - سیلیس در

کوره های تونلی یا دوار به دست می آید.

کانیهای سیلیمانیت به آلومینوسیلیکاتهای تری مورف با فرمول

$\text{Al}_2\text{SiO}_5$  گفته می شود که شامل سه کانی آندالوزیت، کیانیت و سیلیمانیت

است. تمام این کانیها از نظر شیمیایی مشابه اند اما هر یک خواص کانی شناسی جداگانه ای

دارندو به طور تثویریک دارای  $62/9$  درصد  $\text{Al}_2\text{O}_3$  و  $37/1$  درصد  $\text{SiO}_2$  هستند.

هر سه کانی گروه سیلیمانیت ناشی از دگرگونی در رسوبات پرآلومین هستند و بیشتر

در سنگهای رسوبی که بر اثر حرارت به طور ناحیه ای دگرگونی شده اند، دیده می شوند. در

ادامه ویژگیهای کانیهای کیانیت، سیلیمانیت و آندالوزیت به طور مختصر آورده شده است.

**الف - کیانیت**

کیانیت یا دیستن با فرمول شیمیایی  $\text{Al}_2(\text{SiO}_4)_5$  در سیستم ارتورومبیک و به صورت

بلورهای طویل و نازک و یا تیغه‌ای در شیست‌ها و گنیس‌ها تشکیل می‌شود. رنگ آن آبی

و گاهی سبز، خاکستری و به ندرت سیاه رنگ است. سختی آن در یک جهت زیر ۵ و در

جهت دیگر بالای ۵ و وزن مخصوص آن  $3/7 - 3/6$  گرم بر سانتی متر مکعب است. کیانیت

به عنوان یک کانی فشاری شناخته شده است زیرا در پیدایش و تشکیل آن فشار حائز اهمیت

است. کیانیت در سنگهای دگرگونی ناحیه‌ای در اثر افزایش تدریجی شدت دگرگونی قبل از

سیلیمانیت تشکیل می‌شود. در صورت آتراسیون به مسکویت، پیروفیلیت و در صورت تغییر

درجه حرارت و فشار به سیلیمانیت و آندالوزیت تبدیل می‌شود. کانسارهای کیانیت به سه

دسته به شرح زیر تقسیم می‌شوند :

- کوارتزیت‌های کیانیت دار

- شیست و گنیس‌های کیانیت دار

- کانسارهای توده‌ای کیانیت

کوارتزیت‌های کیانیت دار، سنگهایی حاوی ۱۵ تا ۴۰ درصد کیانیت هستند و

آلومینیای موجود در این تیپ کانی سازی ۱۰ تا ۲۵ درصد و به طور متوسط ۱۸ درصد است که

مشابه ترکیب سنگهای با شیستوزیته حاوی لایه‌های کیانیت دار می‌باشد.

نوع دیگر کانسارهای کیانیت دار، شیست‌ها و گنیس‌ها می‌باشند. مقدار کیانیت در

این کانسارها از ۱ تا بیش از ۲۵ درصد تغییر می‌کند. جهت استخراج این کانسار لازم است

بلورهای کیانیت به گونه‌ای در سطح تجمع یابند.

کانسارهای توده ای کیانیت به گونه ای هستند که کیانیت به طور محلی به صورت

نودول و قطعات سنگی در سنگهای رسوبی پرآلومین دگرگون شده یافت می شود. این نوع

کانسارها خاوی کرنodium و مقدار کمی روتیل می باشند. آنالیز شیمیایی بلور کیانیت به شرح

جدول شماره (۱-۱) می باشد.

جدول شماره (۱-۱)- آنالیز شیمیایی بلور کیانیت

آنالیز بلور	SiO <sub>2</sub> (%)	Al <sub>2</sub> O <sub>3</sub> (%)	Fe <sub>2</sub> O <sub>3</sub> (%)	TiO <sub>2</sub> (%)	CaO (%)	MgO (%)	مواد قلیائی (%)
کیانیت	> ۴۲	> ۵۶	> ۱	< ۱/۲	< ۰/۱	< ۰/۱	< ۰/۳

### ب - سیلیمانیت

سیلیمانیت با فرمول  $\text{Al}(\text{SiAlO}_5)$  در سیستم تریکلینیک به رنگهای سفید ، زرد ،

قهقهه ای و با وزن مخصوص ۳/۲۵ گرم بر سانتی متر مکعب و با سختی ۶/۵ مشخص

می شود.

کانیهای حاصل از تجزیه این کانی شامل مسکویت ، سریسیت ، پیروفیلیت ،

کائولینیت و مونت موریلونیت می باشند. سیلیمانیت هم در درجات بالای دگرگونی مجاورتی و

هم در درجات بالای دگرگونی ناحیه ای تشکیل می شود. به این ترتیب کانی سیلیمانیت به

عنوان گونه حرارتی - فشاری معرفی شده است. کانسارهای سیلیمانیت دو دسته اند :

- شیست های سیلیمانیتی

\* - کانسارهای توده ای

مهمترین منبع تولید سیلیمانیت در دنیا کانسارهای توده ای آن می باشد و سیلیمانیت

درون شیست ها به ندرت قابل استخراج در محل معدن می باشد و فرآوری آن در شرایط

خاصی امکان پذیر است.

### ب - آندالوزیت

آنالوزیت با فرمول  $\text{SiAl}_2\text{O}_5$  در سیستم ارتورومیک مبلور می شود. سختی آن

۵/۷-۶/۷ و با وزن مخصوص  $3/16$ - $3/13$  در رنگهای سفید، قرمز و به ندرت زرد دیده

می شود. این کانی معمولاً "در دگرگونی مجاورتی از شیلهای الومینیوم دار در اثر توده های

گرانیتی و گابرویی به وجود می آید . وجود آندالوزیت معرف رخساره دگرگونی مجاورتی و

وجود کانیهای کیانیت و سیلیمانیت بیشتر نمایانگر دگرگونی ناحیه ای است.

محصول عده دگرسانی آندالوزیت ، کانی سریسیت است. در شرایط حرارت و فشار

بالا آندالوزیت ناپایدار بوده و به پلی مورفهای سیلیمانیت و کیانیت تبدیل می شود. فراوانی

آنالوزیت در سنگهای دگرگونی به اندازه سیلیمانیت و یا کیانیت نمی باشد . ولی به هر حال

تشکیل دهنده عمومی این گونه سنگها محسوب می شود.

کانسارهای ماسه آبرفتی آندالوزیت در آفریقای جنوبی به فراوانی یافت می شوند. این

ماسه آندالوزیتی حاوی ۵۰ درصد آندالوزیت قابل بازیابی است.

### ۱-۵-۲- بالابردن عیار کانه آندالوزیت

عمومیت یافتنی محصول آندالوزیت به عنوان مواد اولیه صنایع نسوز سبب شده که

معدن زیادی در برخی از کشورها راه نزدیک شود . نسبیاتی در تکنیک های مطلوب سازی

این کانه ها انجام شود. قبلاً "مقدار استخراج آندالوزیت کم و متدهای ساده تغليظ به کار

مي رفت . ولی در حال حاضر با استفاده از تکنيک جدا کننده هاي با مایعات سنگين

(HMS) ، توانسته آندالوزیت را با كيفيت بالايي توليد کنند. جهت بالا بردن عيار آندالوزیت

ابتدا آندالوزيتی را که در شيل وجود دارد توسيط آسياب ميله ای خرد کرده و پس از آن از

سرندهای مرطوب گرانده و به قسمت دستگاه ماش می رسانند. مواد دانه ريز از قسمت

عقب شستشو کننده به سیكلون وارد و مواد با اندازه ۰-۶۰ میکرون در حوضچه لجن ریخته

مي شود. مواد با اندازه ۲۵-۴۰ میلیمتر از قسمت جلو شستشو دهنده به آسياب می روند و مواد

۲۵+ میلیمتر به عنوان باطله خارج می شود. آندالوزیت در مدت کوتاهی پس از آسياب از

شيل جدا شده ، سپس به سرند مرطوب می رسد و به اين ترتيب آندالوزيت تغليظ شده با

خلوص ۴۰-۵۰ درصد تهيه می شود. اين ماده تغليظ شده به اولين سري HMS می رسد. بعد

از سرند مرطوب ، عمل خشك کردن و جدا کردن مغناطيسي بر روی مواد سخت تر انجام

مي گيرد و اولين درجه خلوص آندالوزيت با مقدار آلومين بيش از ۵۷ درصد و کمتر از يك

درصد اكسيد آهن توليد می شود. مواد با جرم مخصوص پايان حاصل از اولين سيكل ، به

دومين HMS می رسد و در نتیجه آندالوزيتی با ۵۴ درصد آلومين و کمتر از ۱/۸ درصد

اكسيد آهن توليد می شود.

در برخی از موارد آندالوزيت تغليظ شده به رنگ قهوه اي تيره تا سياه و با اندازه هاي

۸-۱۳۵ مش که حاوی  $\frac{59}{2}$  درصد  $Al_2O_3$  و ۱ درصد  $Fe_2O_3$  است از شيست

آندالوزيتهاي سياه رنگ حاوی ۲۰ درصد آندالوزيت به دست می آيد.

### ۱-۳-۵- تغليظ کيانيت

پس از معدنکاری و استخراج کیانیت، کانه ها را تا ۱/۵ اینچ خرد کرده و سپس به آسیاب میله ای برای خرد کردن به ۲۸- مش می بزند. دوغاب حاصل شده را از نظر اندازه ذرات جدا می کنند. این عمل مهم جهت فلوتاشیون اهمیت بسزایی دارد اما این امر باعث از بین رفتن مقدار زیادی کیانیت دانه ریز می شود. سپس دوغاب را با موادی برای فلوتاشیون نمکهای اسید اگزالیک اثر داده و از یک سری سولوهای فلوتاشیون عبور می دهند تا پیریت و مواد میکائی از دوغاب جدا شود. مواد تغليظ شده درشت تر به سیکل پاک کننده دو مرحله ای می رسد. (مواد باقیمانده اين سیکل به عنوان باطله محسوب می شود). مواد تغليظ شده حاصل از فلوتاشیون شامل ۹۱ درصد کیانیت، ۲ تا ۵ درصد اکسیدهای آهن و همین مقدار هم کوارتز است. برای رساندن رطوبت از ۶ تا ۸ درصد به صفر درصد آبگیری از مواد تغليظ شده انجام می شود. مواد تغليظ شده پس از خشک شدن به جدا کننده های مغناطیسی جهت رساندن آهن به زیر ۱ درصد فرستاده می شوند. مواد به دست آمده به نام کیانیت خام ۳۵ مش خوانده می شود و آماده مصرف است.

به طور کلی ذخایر با ابعاد بزرگ که حاوی ۲۰ تا ۳۰ درصد سیلیکات آلومینیوم است، توسط اعمال و وسائل مخصوصی تغليظ می شود. اما ذخایر تیپ سگریگاسیون و کیانیت های توده ای هند و سگریگاسیون های سیلیمانیت - کرنزوم آفریقای جنوبی به علت ارزانی نیروی انسانی توسط کارگران تغليظ می شود.

#### ۴-۵-۱- گروه سیلیمانیت کانی های گروه سیلیمانیت

کیانیت ، آندالوزیت ، سیلیمانیت ، دومورتیریت و توپاز که سیلیکات طبیعی می باشند ، می توانند به مولیت که ماده خام نسوز است ، تبدیل شوند. دومورتیریت حاوی بر و توپاز حاوی فلوئور است که هر دو در طول تبدیل به مولیت بخار می شوند. فقط سه کانی طبیعی کیانیت ، سیلیمانیت و آندالوزیت در مقیاس صنعتی استفاده می شود.

کانیهای گروه سیلیمانیت در اثر کلسیناسیون به مخلوط مولیت ( $3\text{Al}_2\text{O}_3 \cdot 2\text{SiO}_2$ ) و سیلیس تبدیل می شوند. تشکیل الومینوسیلیکات ها به هنگام دگرگونی و از بین رفتن آب در ترکیب کائولن ، پیروفیلیت ، مسکویت انجام می شود.

تبدیل به مولیت در حرارت های مختلف به همراه مقداری تغییر حجم ، انجام می پذیرد که این تغییر بستگی به مشخصات بلوری کانیها در طبیعت دارد.

برای دگرگون شدن ساختمان بلورین این کانیها ، حرارت بالا و زمان زیاد مورد نیاز است ، تا کانیها تجزیه شوند. با این حرارت کانی سیلیمانیت می تواند به مخلوطی که شامل ۸۸ درصد مولیت و ۱۲ درصد سیلیس آزاد است ، تبدیل شود. با توجه به جدول فوق تبدیل آندالوزیت به مولیت بر سایر کانیها برتری دارد و دلیل آن مقدار انرژی حرارتی کم می باشد . ضمناً "مقدار انبساط آن نیز در حین حرارت دادن زیاد نمی باشد ، تا باعث خرابی آجر نسوز شود. آندالوزیت را می توان به صورت کلسینه نشده نیز استفاده کرد ، تا محصول آجرهای حرارت دیده و حرارت نزدیده تولید شود .

\* این محصولات انرژی کمتری لازم دارد و مزیت دیگر آن سادگی تبدیل آن به مولیت

است. مقدار دیرگذاز ب، مقدار  $\text{Al}_2\text{O}_3$  می تبدیل شود. حداقل مقدار  $\text{Al}_2\text{O}_3$  در سیلیمانیت ۶۳

درصد است (در سنگ خالص) و ناخالصی هایی از قبیل آهن، تیتان و مواد قلیایی که در

پایین آوردن درجه نسوزندگی اثر دارد، باید مقدار آن به حداقل برسد. کانسنگ باید کمتر از ۱

درصد  $\text{Fe}_2\text{O}_3$  داشته باشد و حداکثر مقدار  $\text{TiO}_2$  باید ۲ درصد و مقدار مواد قلیایی نیز باید

خیلی کم باشد.

#### ۱-۵-۵- موارد استفاده از کانیهای گروه سیلیمانیت و مولیت

کانیهای گروه سیلیمانیت بیشتر در صنایع نسوز مورد استفاده قرار می گیرند (بیشتر به

صورت مولیت). استفاده اصلی از کیانیت (به صورت خام و کلسینه شده) در صنایع تهیه

ملات های نسوز، سیمان و مخلوطهای کوبیدنی است. در این مصارف مقدار کیانیت، ۱۰ تا

۴۰ درصد مخلوط را تشکیل می دهد و باقیمانده مخلوط شامل رس های نسوز و مواد

درشت تر است. کیانیت خام برای کاهش انقباض رس جهت اتصال به کار رفته، مصرف

می شود. شکلهای نسوز درجه بالا معمولاً "شامل کیانیت کلسینه شده" است، که اتصال آن

توسط مقداری بال کلی انجام شده است. بعضی از صنایع ساخت آجر مولیتی، از کیانیت به

عنوان جزء دانه ریز آجر استفاده می کنند، اما ندرتاً "مقدار آن به ۱۰ درصد (وزنی) می رسد.

کیانیت در صنایع سرامیک و کاشی های کف و دیوار استفاده می شود (برای کاهش انقباض

و جلوگیری از ترک خودگی پس از حرارت). مخلوط کیانیت و سیلیمانیت دانه ریز و کم آهن

برای صنایع ماسه ریخته گری استفاده می شود. موارد استفاده از کانیهای گروه سیلیمانیت در

صناعی غیر فرآورده های نسوز در صنایع تهیه آلیاژهای سیلیکون آلومینیوم می باشد.

تهیه محصولات نسوز (آجر یا شکلهای دیگر) از کانیهای سیلیمانیت ساده است، اما

برای تهیه محصول مقاوم تحت بار باید ۶۰ درصد کانیها دانه درشت باشد. جهت تهیه

آجرهای درجه بالا باید کانی های سیلیمانیت به صورت کلوخه و قله باشند. مواد دانه ریز با

ترکیب شیمیایی مشابه ذرات دانه درشت را می توان جهت اتصال مواد درشت کانی های

سیلیمانیت به کار برد که این امر باعث می شود تعادل مناسبی بین ذرات درشت و ریز در آجر

سخت ایجاد شود. مواد دانه ریز در محصولات یک پارچه، ملاتهای درجه بالا و مخلوط های

کوبیدنی استفاده می شود. مخلوط مواد دانه ریز و رس را می توان جهت آجرهای عایق و

آجرهای دانه ریز استفاده کرد. فرآیندهای ساخت پس از دانه بندی شامل: شکل دادن

(در پرس های هیدرولیکی با حداقل آب)، خشک کردن و پختن (درجه حرارت پخت بستگی

به کاربرد آجر و ترکیب آن دارد) می باشند.

به دلیل انساط زیاد کیانیت باید اول آن را پخت. معمولاً "برای خرد کردن این

سنگها (بلوک های کیانیت) ابتدا آن را گرم کرده و سپس بر روی آن آب می پاشند. این

عمل باعث خرد شدن آنها می شود. سپس مواد خرد شده باید در درجه حرارت ۱۴۶۰-۱۵۰۰

درجه سانتیگراد پخته شود. آنداوزیت احتیاج به پخت اولیه ندارد، اما مانند کانیهای دیگر این

گروه، در طبیعت فراوان نیست. درجه حرارت پخت نهایی آجرهای کیانیتی حدود

۱۳۸۰-۱۴۰۰ درجه سانتیگراد و سیلیمانیتی ۱۶۰۰- ۱۵۰۰ درجه سانتیگراد می باشد .

آجرهای آنداوزیتی دارای مقاومت خوشی بالایی هستند (در مقایسه با آجرهای نسوز رسی

حاوی مقدار کمتری کمک ذوب است) همچنین در حرارت های بالا مقاوم می باشند، حجم

نسبتاً پایداری دارند (مقدار آنداوزیتی که به مولیت تبدیل نشده کم است) ، نسبت به

"شوکهای حرارتی مقاوم می باشند، ضمناً" به دلیل مقدار کم کمک ذوب در برابر اثرات فاز

شیشه سرباره و به علت تخلخل آنها در مقابل نفوذ سرباره و گازها و غبار مقاوم تر می باشند.

مورد مصرف آجرهای آندالوزیتی در کوره بلند و پاتیل های فولاد است.

تخلخل آجرهای سیلیمانیتی معمولاً "پایین بوده و تخلخل ظاهری آنها بین ۹% تا ۲۵%

تفیر می کند. وزن مخصوص این آجرها بالاتر از خاک نسوز است.

ملات نسوز دارای آلومینیم بالا و کارآیی جالبی است. همچنین پوشش درزها با این

ملات باعث مقاومت آنها نسبت به عبور گازها و مقاومت خوبی نسبت به سرباره و خوردگی

کمک ذوب های مختلف دارد. در شرایط کوره ، ملاتهای مذکور بدون هیچگونه تغیر حجمی

به سرعت به مولیت تبدیل می شود ضمن آنکه دارای درجه نسوزنندگی بالایی است.

#### ۱-۵-۶- قیمت کانی های گروه سیلیمانیت در بازار بین المللی

در جدول شماره (۲-۱) لیست قیمت و نوع آن در بازارهای بین المللی را آمده است.

جدول شماره (۱-۲)- لیست قیمت و نوع کانیهای سیلیمانیت در بازارهای بین المللی

نام	مشخصات	قیمت	واحد
کانی های سیلیمانیت (Sillimanite minerals)	آندازویست، ترانسوال ، Al2O3 ۵۷/۵٪، ۲۰۰۰-۲۰۰۰ ن-	۱۸۰-۲۰۰	دلار / تن
	فله ، فوب ( F.O.B )		
آندازویست، ترانسوال ، Al2O3 ۵۹/۵٪، ۲۰۰۰-۲۰۰۰ ن-	۲۲۰-۲۴۰		دلار / تن
	فله ، فوب ( F.O.B )		
کیانیت ، امریکا ، Al2O3 ۵۴-۶۰٪، ۳۵-۳۲۵ م-			
تایلر ، محموله های هجدۀ تی فوب کارخانه ( F.O.B )			
- خام		۱۴۰-۱۶۸	دلار / تن
- کلسین		۲۴۸-۲۷۶	دلار / تن
سیلیمانیت ، افریقای جنوبی ، Al2O3 ۷۰٪، یسه، سف ( CIF )		۱۹۰-۲۰۰	دلار / تن

## فصل دوم

### زمین شناسی

### منطقه مورد مطالعه

## ۱-۲- مقدمه

در راستای اجرای خدمات فنی قرارداد آندالوژیت (۲) در منطقه میشدون ، کار

برداشت زمین شناسی ، حفاری و نمونه برداری توسط کارشناسان این شرکت در چند نوبت

صورت گرفت.

## الف - مرحله اول

در مرحله اول ، اکیپی از ۲ نفر کارشناس ارشد این مشاور به همراه یک نفر تکنسین

برای انجام شرح خدمات مندرج در قرارداد جهت بازدید به منطقه که وسعت آن ۱/۵ کیلومتر

مربع مشخص گردید ، اعزام شدند. در اجرای عملیات ه بوط به مرحله اول :

- راههای دسترسی به منطقه ، مورد ارزیابی قرار گرفت و محدوده چهارگوش ۱/۵

کیلومترمربعی بر روی نقشه توپوگرافی ۱:۵۰۰۰ پیاده و بر روی زمین مشخص گردید.

- از کلیه حفاری های انجام شده در مرحله مقدماتی (ترانشه ها) بازدید به عمل آمد و تعداد

۵ نمونه به طور کانالی و در طول ترانشه ها برداشت گردید.

نمونه های برداشت شده از منطقه معدنی چادرنگون (منطقه شماره ۲ ) با کدهای Y-A2

شماره گذاری گردیدند این نمونه ها از ترانشه های I الی VII جهت اندازه گیری ده اکسید اصلی

به آزمایشگاه ارسال گردیدند که پس از اخذ نتایج آزمایشگاهی و داده های به دست آمده ،

مشخص گردید که منطقه چادرنگون از نظر کار مشابه با منطقه معدنی آندالوژیت یک

(میشدون بافق) می باشد.

۱- نمونه های اخذ شده از پنج ترانشه جهت ادخام آزمایش X.R.D نیز به آزمایشگاه ارسال

گردید که پس از اخذ نتایج آزمایشگاهی نمونه ها کانی اصلی کبانیت را نشان

داده اند. بعلاوه کانیهای فرعی دیگری از جمله استارولیت ناشی از افزایش فشار دگرگونی

ناحیه ای و پیروفیلیت حاصل از آلتراسیون نیز در این نمونه ها شناسایی شدند.

۷- به علت خرد بودن و آلتراسیون شدید نمونه های برداشت شده از ترانشه های I الی

منطقه معدنی چادرنگون، تنها دو عدد نمونه سنگی جهت تهیه و مطالعه تیغه نازک

مناسب بود. لذا این دو نمونه نیز مطالعه گردید که نتایج آن در فصل مربوطه آورده شده

است.

۸- این مشاور پس از اخذ نتایج تجزیه شیمیایی، مطالعات تیغه نازک و نتیجه D.R.X و

همچنین با توجه به شناخت از منطقه معدنی آنداوزیت شماره I و پس از تجزیه و تحلیل

آنها، ادامه عملیات اکتشافی در مرحله دوم را توجیه پذیر دانسته و مقدمات کارهای

مربوطه را انجام داده است.

### ب - مرحله دوم

این مشاور پس از تجزیه و تحلیل نتایج به دست آمده از مرحله اول و با هماهنگی

کارفرما خدمات زیر را انجام مرحله دوم قرارداد به صورت زیر دنبال کرده است.

- عکسهای هوایی ۱:۲۰,۰۰۰ منطقه معدنی آنداوزیت (۲) چادرنگون به مقیاس ۱:۵۰۰۰

تبديل شده است (بزرگ کردن عکسهای هوایی منطقه).

- با روش فتوگرامتری از روی عکسهای هوایی ۱:۲۰,۰۰۰ نقشه توپوگرافی منطقه تهیه

شد و سپس توسط دوربین نقاط کلیدی آن در روی زمین کنترل و نقشه توپوگرافی ۱:۵۰۰۰

منطقه تکمیل گردید.

- از روی عکس هواپی ۱:۵۰۰۰ بزرگ شده از عکسهای ۲۰،۰۰۰ ۱:، فتوژئولوژی مقدماتی

انجام گردید و سپس با استفاده از نقشه توپوگرافی ۱:۵۰۰۰ به عنوان نقشه پایه جهت انجام

کارهای صحرایی و برداشت‌های زمین شناسی، نقشه زمین شناسی تکمیل گردید.

- پس از تهیه نقشه پایه و توپوگرافی در چند نوبت توسط اکیپهای کارشناسی، برداشت‌های

زمین شناسی معدنی در امتداد پروفیلهای به موازات ترانشه های قدیمی و ترانشه های جدید و

همچنین در امتدادهای عمود بر آنها صورت گرفت به منطقه ای به وسعت بیش از ۱/۵

کیلومترمربع تحت پوشش قرار گرفت تا وضعیت کلی منطقه و نواحی مجاور مشخص شود.

- برداشت‌های زمین شناسی به صورت سینوسی (رفت و برگشتی) و در فواصل ۵۰ متری و به

وسیله متر و کمپاس و اطلاعات حاصله بر روی نقشه های پایه منتقل گردید.

- جهت تکمیل مطالعات در منطقه، مقدار ۱۰۰ متر مکعب ترانشه در قالب ۵ رشته از پائین

دست شیسته های کانه دار حفاری گردید که مقداری از آن در مناطق پوشش آبراهه ای قرار

گرفته است. نتایج این حفاری در بخش مربوطه آمده است. جهت کنترل عوامل عمقی ۳

حلقه چاهک به متراز کلی ۲۰ متر در بالادست ترانشه های قدیمی I، III و V حفاری شدند.

- از کلیه چاهکهای حفاری شده و ترانشه ها، نمونه برداری به صورت سیستماتیک انجام شد

و نتایج آنها از آزمایشگاه اخذ و در بخش مربوطه آمده است.

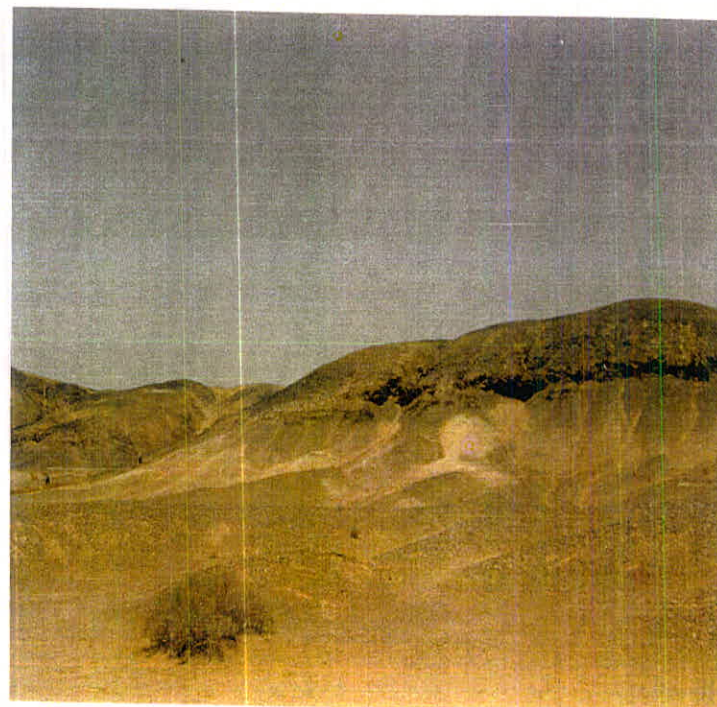
- در حین تهیه نقشه زمین شناسی، اندازه گیری شیب و امتداد لایه ها، شیب و امتداد

گسلها تا حد امکان و جابجایی آنها انجام گرفت که نتایج آن بر روی نقشه زمین شناسی

و تکتونیکی منطقه آورده شده است.



الف- از نمای دور



ب- از نمای نزدیک

عکس شماره (۱-۱)- نمای عمومی منطقه مورد مطالعه چادرتعون

- نمونه برداری از واحدهای مختلف سنگی برای مطالعات سنگ شناسی (مطالعه تیغه های

نازک) و همچنین جهت آزمایش کانی شناسی توسط پرتو مجھول (X.R.D) انجام شد.

با استفاده از عکس‌های هوایی منطقه و بازدیدهای صحرایی مکرر و با در نظر گرفتن

شرح خدمات و اهداف مربوطه ، ابتدا نقشه زمین شناسی مقدماتی تهیه و پس از کنترل و

اعمال مطالعات سنگ شناسی و تصحیحات لازم ، بر روی نقشه های اولیه و انتقال آنها بر

روی نقشه توپوگرافی با مقیاس ۱:۵۰۰۰ نقشه زمین شناسی منطقه تکمیل گردید.

## ۲-۲- نقشه زمین شناسی

جهت تفکیک واحدهای لیتولوژی و همچنین کنترل کنتاکتهای زمین شناسی،

پیمایش های زمین شناسی و عملیات صحرایی در چند نوبت انجام گردید . از کلیه واحدها

نمونه های دستی برداشت و مورد شناسایی قرار گرفتند؛ سپس گسترش و امتداد لایه های

شیستی کانه دار مورد پی جوئی قرار گرفت. جهت شناخت دقیق لیتولوژی واحدها و موقعیت

لایه های شیستی حاوی ماده معدنی در دو نقطه در نقشه زمین شناسی ، مقاطعی ترسیم

گردید. در حین انجام عملیات فوق اقدام به برداشت کلیه عوارض ساختمانی از جمله گسل،

نایپوستگی ، چینها و شب و امتدادهای لازم گردید .

محدوده مورد مطالعه در منطقه چادرنقوون بافق ، بخشی از زون ایران مرکزی

می باشد. این بخش و محدوده اطراف آن از سنجهای قدیمی پرکامبرین و سنگهای

دگرگون شده تشکیل گردیده اند. رخمنون های جوان فقط محدود به رسوبات کواترنر و

رسوبات آبرفتی عهد حاضر می باشند . روند ساختمانی عمومی منطقه

شمال شرقی - جنوب غربی و منطقه از نکتونیک آرامتری نسبت به منطقه آن

میشدون (منطقه معدنی شماره ۱) برخوردار است. توپوگرافی منطقه آرام، و فقط قسمتی از

رخمنون آهکهای متامورف و همچنین گنیس‌ها از توپوگرافی خشن‌تری برخوردار هستند.

اکثر لایه‌های شیستی کانه دار منطقه در بین مسیل بزرگ منطقه (رودخانه خشک

چادرنقون) و در پایین دست لایه‌های متامورف آهکی و یا پائین دست توده‌های گنیس واقع

شده‌اند. همانطوریکه از نقشه زمین شناسی ۱:۵۰۰۰ مشخص است اکثر رخمنون‌های

منطقه، مربوط به پرکامبرین و رسوبات جدید همگی مربوط به کواترنر و رسوبات جوانتر

می‌باشد. بیشترین پوشش نیز مربوط به کمپلکس بنه شورو و حاوی آمفیولیت، گنیس و

شیست می‌باشد و در مقام دوم رسوبات کمپلکس سرکوه قرار دارند. لایه‌های شیستی کانه

دار از نظر وسعت و در مقام مقایسه با دیگر راحدها در مقیاس پائینتری قرار گرفته‌اند.

بر اساس بررسیهای انجام گرفته بر روی نقشه‌های بزرگ مقیاس، عکس‌های هوایی

و همچنین بازدیدهای صحرایی و پیمایش‌های انجام شده، مطالعات سنگ شناسی و با توجه

به مقیاس نقشه زمین شناسی، چند واحد سنگی در منطقه مورد شناسایی قرار گرفته و

تفکیک گردید. در زیر به شرح واحدهای سنگی مورد مطالعه در منطقه چادرنقون

می‌پردازیم:

## ۲-۱- کمپلکس سرکوه (PES)

مجموعه مذبور در کوهی به نام سرکوه (در شمال شرق دهکده زریگان) دیده

می‌شود و اصولاً "شامل میکاشیست‌های سیلیمانیت - گرونا دار بوده و به طور محلی در آن

مرمر هم مشاهده می‌شود. به علاوه انترکلاسیونهایی از آمفیولیت و سنگ‌های اسکابولیت دار

و کوارتزیتی هم وجود دارد. برخی از مرموها (به ویژه مرموهای زون گسلی قسمت غربی

کوه سرکوه ) ، حاوی دایکهای دیابازی بوده و به نظر می رسد که به طور بخشی به ژیس

تبدیل شده اند.

به طور کلی موقعیت چینه شناسی مجموعه سرکوه در پرکامبرین به خوبی مشخص

نیست ولی در نقشه های زمین شناسی موجود در پرکامبرین زیرین و در زیر مجموعه پشت

بادام نشان داده شده است ( حقی پور ) .

در بعضی گزارشات مجموعه سرکوه با مجموعه پشت بادام از لحاظ سنی در یک ردیف

قرار دارند ولی از لحاظ سنگ شناسی هم ردیف با سازند تاشک می باشند.

مجموعه سرکوه در منطقه چادرنگون و در محدوده مورد مطالعه در قسمت جنوب

رودخانه واقع شده است . ذخیره جنوبی نیز در این کمپلکس با کانی سازی سیلیمانیت تشکیل

شده است .

ترتیب قرارگیری واحدهای این کمپلکس در منطقه به این صورت است که در زیر

شیستهای فاقد کانی سازی و بر روی آن شیستهای کانی سازی شده ( سیلیمانیت شیست )

تشکیل شده است . جوانترین واحد این مجموعه در منطقه ، واحد آهکی سرکوه است که

بالای دو واحد قبلی قرار گرفته است.

### الف - واحد سیلیمانیت گارنت شیست ( Sch )

از قدیمی ترین واحدهای شناخته شده در محدوده و همچنین در زون ایران مرکزی ،

واحد شیست مربوط به کمپلکس سرکوه در پرکامبرین است . این واحد تحت دگرگونی درجه

بالا قرار گرفته است . رخنمون این شیست ها در منطقه مورد مطالعه چادرنگون محدود بوده و

بیشتر رخنمونهای آن در سمت جنوب رودخانه غرار دارد . این شیستها بسیار متورق

و به رنگ خاکستری تیره مشاهده می شوند . در این شیست ها ، کانی سازی در حدود ۱۰

درصد ، به موازات شیستوزیته و در ابعاد کوچک تشکیل شده است. ( قطر بلورها حداقل ۴

میلیمتر و حداقل طول آنها ۵ سانتیمتر می باشد ) .

عمده کانی سازی گروه سیلیمانیت در این شیست ها ، سیلیمانیت می باشد . ضخامت

متوسط این واحد در منطقه مورد مطالعه در حدود ۶ متر می باشد . ترانشه های سوم تا پنجم

در این واحد حفاری شده اند. هوازدگی سطحی در این شیست ها آنچنان پیشرفته نیست و

بلورهای سیلیمانیت از متن سنگ جدا نشده اند. به طور کلی می توان گفت که ذخیره قابل

توجهی از سیلیمانیت در منطقه وجود ندارد.

### ب- واحد آهک متامورف کمپلکس سرکوه ( MbS )

یکی دیگر از زیر واحدهای کمپلکس سرکوه که در نقشه تهیه شده قابل تفکیک

می باشد آهک های متامورف می باشد که با علامت MbS بر روی نقشه مشخص شده است

این واحد کمر بالای ماده معدنی در جنوب رودخانه چادرنگون(کمر بالای سیلیمانیت شیست) را

تشکیل می دهد. ضخامت این واحد حدود ۲۰ الی ۳۰ متر و در بعضی قسمتها بیش از آن

می باشد. این واحد به رنگ خاکستری و در بعضی جاها خاکستری روشن و شیری دیده

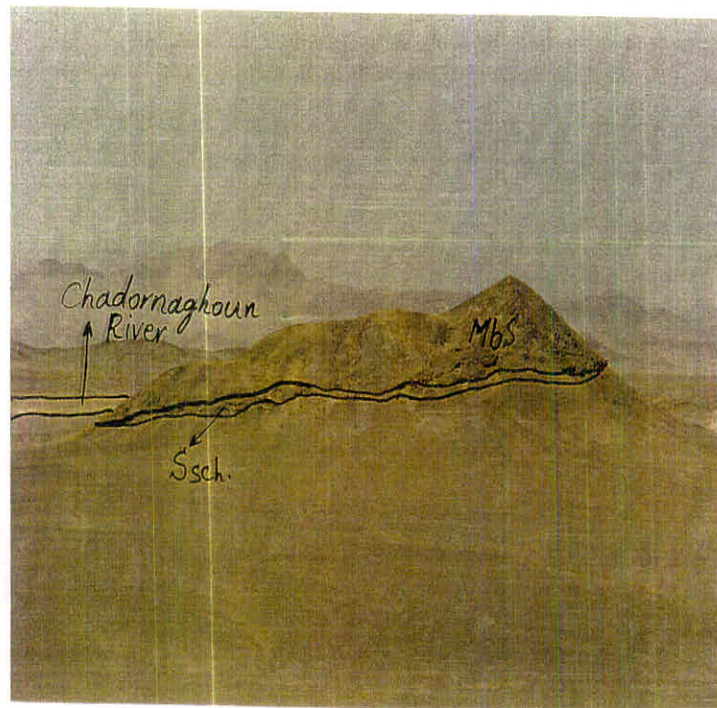
می شود. در زمین شناسی آنالوژیت میشدون بافق ( منطقه معدنی شماره ۱ ) ، بعد از

لایه های شیست کانه دار ، در تمامی موارد لایه های آهکی متامورف با شبیه زیادتر از

شیست ها بر روی آنها واقع شده است. این موضوع در منطقه چادرنگون تنها در کمپلکس

سرکوه دیده شده است. عکس شماره ( ۱-۲ ) یکی از تپه های با سیلیمانیت شیست که بر

روی آنها سه رشته ترانشه حفر شده است نشان می دهد.



عکس شماره (۱۰-۲)- تپه منفردی که ستون چینه شناسی آن با منطقه میشدوان یکی است

در جنوب رودخانه چادرنگون

(P € b - ۲-۲-۲ - کمپلکس بنه شورو)

با توجه به نقشه زمین شناسی ۱:۲۵۰۰۰۰ منطقه، تمامی زمینهای تحت پوشش

منطقه مورد مطالعه چادرنگون، مربوط به قدیمی ترین تشکیلات ایران و به سن

اینفرا کامبرین تا پره کامبرین و لیتولوژی این تشکیلات همگی مربوط به کمپلکس متامورف

بنه شورو و سرکوه می باشد، که به طور گسترده ای در شمال بافق گسترش دارند.

لیتولوژی کمپلکس بنه شورو شامل شیست، کوارتزیت، آمفیبولیت، گنیس و ماربل و

لیتولوژی سرکوه شامل شیست و ماربل می باشد که در بعضی جاهای به صورت تناوب، این

واحدها تکرار شده و یا در بعضی موارد تعدادی از زیر واحدهای مذکور وجود ندارد.

وجود آمفیبولیت کمپلکس بنه شورو و آن را از کمپلکس‌های دیگر منطقه

متمايز می سازد . لذا در بعضی از موارد همچون پیدا شدن زغال سنگ در واحدهای شیست

این کمپلکس و مربوط کردن آن به سازند شمشک و یا نای بند منتفی می باشد . وجود

آمفیبولیت و تناوب واحدهای دیگر از جمله کوارتزیت ، شیستها ، گنیس و ماربل کمپلکس

بنه شورو را به اثبات می رساند. در عکس شماره ( ۲-۲ و ۳-۲ ) تمامی واحدها و شیستهای

کانه دار در شمال و جنوب رودخانه چادرتفون دیده می شود.

در مجموعه کمپلکس بنه شورو گنیس‌هایی وجود دارند که با نمونه برداری های

صورت گرفته از این سنگها نوع گنیس و کانیهای آن مشخص شده است و گنیس های این

کمپلکس به نام گنیس زمان آباد معروف می باشند . معمولاً " واحد گنیس در بخش های

فوقانی کمپلکس بنه شورو واقع شده است. همانطوریکه از نقشه زمین شناسی پیداست قسمت

واسیعی از منطقه مورد مطالعه در قسمتهای شمالی کمپلکس بنه شورو قابل تفکیک به

واحدهای تشکیل دهنده نبوده و تحت نام کلی بنه شورو و با علامت b P روی نقشه

زمین شناسی معرفی شده است . در این گزارش و در بحث زمین شناسی واحدهای مورد

مطالعه ۱:۵۰۰۰ محدوده سعی شده است واحدهایی از کمپلکس بنه شورو که در محدوده قابل

تفکیک بوده ، به صورت جداگانه توضیح داده شود . این کمپلکس در کل و در خارج از

محدوده به وسیله سازند تاشک پوشیده می شود .

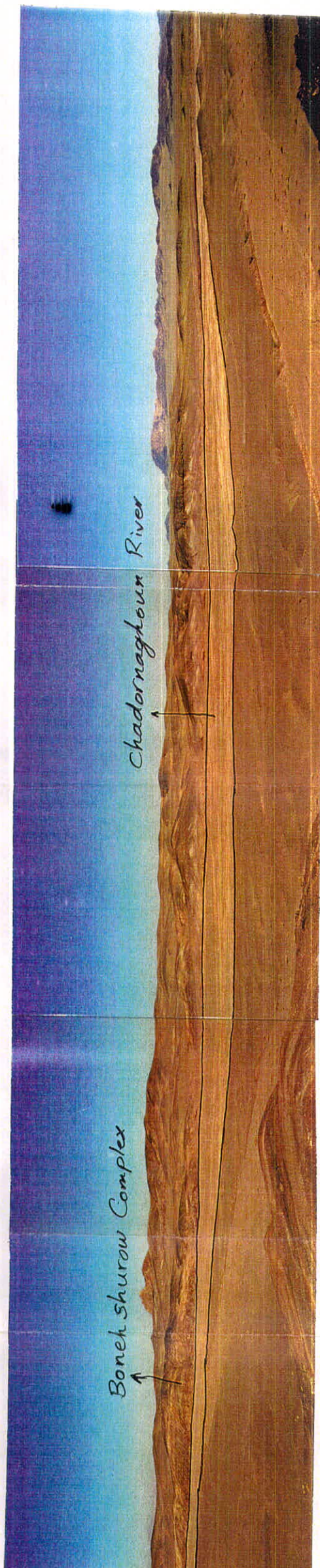
کمپلکس سرکوه (دید از شمال به جنوب)

عکس شماره (۲-۳)- نمای عمومی منطقه مورد مطالعه در جنوب رودخانه چادرنگون



کمپلکس بنه شورو (دید از جنوب به شمال)

عکس شماره (۲-۲)- نمای عمومی منطقه مورد مطالعه در شمال رودخانه چادرنگون



## - مقایسه کمپلکس بنه شورو در منطقه آندالوزیت میشدوان و چادرنگون

در منطقه معدنی شماره (۱) (میشدوان) کلیه زیر واحدهای کمپلکس بنه شورو

تفکیک شده و جدا از هم می باشند و می توان آنها را به صورت یک واحد مستقل بر روی

نقشه زمین شناسی ۱:۵۰۰۰ تفکیک و جدا نمود ولی این موضوع در محدوده آندالوزیت

چادرنگون در بیشتر جاهای مقدور نمی باشد. لذا کل منطقه را می توان به صورت یک

کمپلکس فرض کرد و در بعضی موارد تفکیک واحدهای شیست، آهکهای متامورف و

همچنین سنگهای آمفیبولیت و دو نوع گیس مشکل می باشد. با این حالت، سعی شده تا

جائیکه امکان آن بود این واحدها از هم تفکیک شود و در جاهای دیگر به صورت یک واحد

کلی و به صورت کمپلکس بنه شورو معرفی گردد.

## - مقایسه واحد شیست کانه دار در منطقه آندالوزیت میشدوان و چادرنگون

در منطقه میشدوان واحد کانه دار یعنی شیستهای کانه دار در بین دو واحد

دولومیتهای کمر پائین و آهک های متامورف (ماربل) کمر بالا قرار دارند که ضخامت این

شیستهای در اکثر نقاط و در بلوهای مختلف منطقه میشدوان متغیر بوده است ولی در منطقه

آندالوزیت چادرنگون در کمر پائین واحد کانه دار میکا شیست های متورق و تا حدودی قرمز

رنگ وجود دارد. در این منطقه در زیر واحد میکا شیست از کمپلکس بنه شورو واحد دیگری

رخمنون ندارد و تنها کمپلکس سرکوه در سمت جنوب و در طرف دیگر رودخانه خشک

چادرنگون به صورت لایه هایی از شیست و ماربل نمایان است. به طور کلی قدری ترین

\* واحد در ستون چینه شناسی و نزدیک به لایه های کانه دار، واحد سیلیمانیت شیست

می باشد که با شب ملایمی در زیر تمام واحد قرار گرفته است.

در منطقه چادرنقون واحد کانه دار در شمال رودخانه چادرنقون به صورت یک واحد

گارنت میکا شیست کانه دار است که مرز پائین و بالای آن به وضوح مشخص می باشد و در

جنوب رودخانه چادرنقون به صورت سیلیمانیت شیست که مرز بالا مشخص و مرز پائینی

(شیست سرکوه) در اکثر نقاط پوشیده می باشد و به راحتی می توان ضخامت متوسط لایه

کانه دار را تعیین کرد.

### - واحد شیست (Sch)

یکی دیگر از زیر واحدهای کمپلکس بنه شورو واحد شیست تشکیل می دهد . این

واحد به طور گسترده در محدوده تهیه نقشه زمین شناسی ۱:۵۰۰۰ چادرنقون دیده می شود .

کانی سازی مورد نظر گروه سیلیمانیت در این واحد اتفاق افتاده است . این واحد در اثر وجود

بعضی کانیهای دیگر به رنگهای مختلفی از جمله شیست تیره ، شیست خاکستری

میکاشیست آندازیت دار با رنگ خاکستری تا خاکستری روشن ، گارنت آندازیت شیست به

رنگ صورتی و خاکستری و همچنین شیست نرم به رنگ تیره و شیست سخت به رنگ سبز

تیره دیده می شوند . در بعضی جاهای کردیبریت شیست و میکاشیست به رنگ خاکستری دیده

می شود . شیستهای این منطقه دارای فولیاسیون مشخصی می باشد که در اثر موادی قرار

گرفن کانیهای صفحه ای شکل گرفته اند .

شیستهای این منطقه تحت دو فاز دگرگونی ، ابتدا دگرگونی فشار و حرارت بالا و در

فاز دوم دگرگونی حرارت بالا و احتمالاً دگرگونی مجاورتی قرار گرفته اند .

این واحد در بالا به صورت کلی بررسی گردید ولی در منطقه مورد مطالعه ، انواع

شیستهای دیگر کانیهای میکاشیست ، سیلیمانیت میکاشیست ، گارنت میکا شیست ، سیلیمانیت

گارت میکاشیست و در بعضی نقاط استروئید میکاشیست را می‌توان دید ولی همه آنها را

نمی‌توان در نقشه مقیاس ۱:۵۰۰۰، به دلیل گسترش رخمنوی کم، مورد شناسائی قرار ندارد.

اندازه بلورهای گروه سیلیمانیت در این شیستهها متغیر و طول آن از ۲ الی ۴ سانتی متر

تغییر می‌کند. این گروه از کانیها در محدوده مورد مطالعه بین ۵ الی ۱۵ درصد در تغییر

می‌باشد. از میان تعداد زیر واحدهای ذکر شده در بالا، فقط تعداد ۳ زیر واحد به نامهای

واحد گارت میکاشیست، واحد گارت میکاشیست کانه دار و واحد میکاشیست ورقه بدون

کانه را می‌توان بر روی نقشه زمین شناسی نشان داد. علاوه بر تقسیم بندی بالا بر اساس

کانه دار بودن شیسته‌ها، بر اساس نرمی و سختی نیز به دو گروه شیسته‌های نرم کانه دار

و شیسته سخت بدون کانه تقسیم شده اند. شیسته‌های نرم کانه دار بسیار متورق، دارای

لمس صابونی و رنگ خاکستری تا خاکستری تیره دیده می‌شوند این گروه از شیسته‌های نرم

دارای کانیهای گروه سیلیمانیت می‌باشد که بیشتر آنها از نوع کیانیت بوده و بلورهای آنها در

راستای همان تورق شیسته‌ای نرم شکل گرفته اند. ولی برخلاف آن، شیسته‌های سخت

عمدتاً "تیره رنگ، حالت شکننده و خرد شده دارند. در این گروه از شیسته‌ها، کانه کمتر دیده

می‌شود و درصد کانی سازی پائین است.

### الف - واحد میکاشیست ( M.Sch )

"همانطوریکه قبل" ذکر گردید، کلیه واحدها و سنگهای رخمنوی در منطقه مربوط

به کمپلکس بنه شورو می‌باشد که در این منطقه تفکیک به واحدهای کوچک آن کمتر دیده

می‌شود با وجود شناسایی و نمایش واحد کانه دار ( شیسته کانه دار ) در روی نقشه،

می‌توان کمر پائین این لایه را قدیمی ترین واحدی از لایه‌های کمال شده داند.

گرفت که پائین تر از تراز رودخانه چادرنگون واقع شده و اکثراً پوشیده بوده و رخمنوی از

آن دیده نمی شود . با این اطلاعات ، احتمالاً "همین لایه های میکاشیست بدون کانه با

مشخصات ذکر شده در زیر مشخصات رسوبات رودخانه ای نیز کشیده شده است . در عکس

شماره ( ۴-۲ ) واحد میکاشیست و واحد کانه دار روی آن دیده می شود . از ویژگیهای این

واحد می توان موارد زیر را نام برد .

- از نظر ظاهری این واحد به رنگ قرمز - قهوه ای دیده می شود که علت آن احتمالاً " بالا

بودن مقدار اکسیدهای آهن در آن می باشد .

- سختی این واحد نسبت به واحدهای دیگر کمپلکس بنه شورو و همچنین دیگر

زیر واحدهای شیست ها کم می باشد .

- واحد میکاشیست به حالت بسیار متورق ( ورقه های نازک ) و پولکی دیده می شود و در

خود ورقه ها ، چینهای ریزی نیز دیده می شود .

- تمرکز سیلیس در بین ورقه های این واحد زیاد است . ضخامت این سیلیس ها از ۱ الی ۲

سانتیمتر در تغییر است .

- این واحد به صورت باندی سرتاسری و به موازات رودخانه چادرنگون رخمنون دارد و در

بعضی قسمتها به دلیل گسل و فرسایش جابجا شده و یا از بین رفته است .

- به نظر می رسد که این واحد در زیر رودخانه نیز وجود داشته باشد .

- این واحد کمر پائین لایه کانی سازی شده در شمال منطقه را تشکیل می دهد .

- ضخامت متوسط این واحد در حدود ۲۵ متر است .



عکس شماره (۴-۲)- واحد میکاشیست و شیست کانه دار در غرب منطقه

### ب - واحد گارنت میکاشیست یا کیانیت گارنت شیست ( K Sch )

مهمترین واحدی را که در داخل واحد شیست از زیر واحدهای کمپلکس بنه شورو

می توان جدا نمود، واحد کیانیت گارنت شیست می باشد . این واحد به صورت خاکستری

روشن تا خاکستری مایل به صورتی و به صورت باندهای شرقی - غربی در محدوده مورد

مطالعه دیده می شود . این واحد از واحدهای دیگر شیست ، سخت تر و مقدار و اندازه

دانه های بلور گارنت نیز زیاد ولی در مقایسه با محدوده میشدوان ، مقدار گارنت کمتر

می باشد. مرز پایین و بالای آن کاملاً "مشخص و به راحتی می توان ضخامت متوسط آنرا

تعیین کرد . در عکس شماره ( ۵ ) واحد کیانیت گارنت شیست ، پراکندگی بلورهای گروه

کیانیت و ضخامت آن را نشان می دهد . ویژگیهای این لایه به شرح زیر می باشند:

- از نظر ظاهری به رنگ خاکستری روشن و تا کمی تیره دیده می شود.
- مقدار کانی سازی در آن تغییرات اندکی نشان می دهد.
- ابعاد بلورها در این واحد در حد چند سانتیمتر ( ۲ الی ۵ سانتی متر ) می باشد.
- کانی سازی در امتداد شیستوزیته و گاهی به صورت متقطع صورت گرفته است.
- به نظر می رسد که هوازدگی و آلتراسیون در تغییر و تبدیل کانه موثر بوده است .
- ضخامت متوسط این باند در حدود ۸ متر می باشد.

در عکس شماره (۶-۲) واحد شیستهای کانه دار و شیست بدون کانه و همچنین

رگه ها و پچهای کوارتزی را در شمال رودخانه چادرنگون و در منطقه چاهک شماره II نشان می دهد .

### ج - واحد میکا شیست متورق و خاکستری ( G Sch )

بر روی گارنت میکا شیست کانه دار که کانیهای آنها بیشتر کیانیت می باشد ، واحدی

از شیست قرار دارد که بنا به نوع شیست و حالت تورق موجود در آن و همچنین رنگ

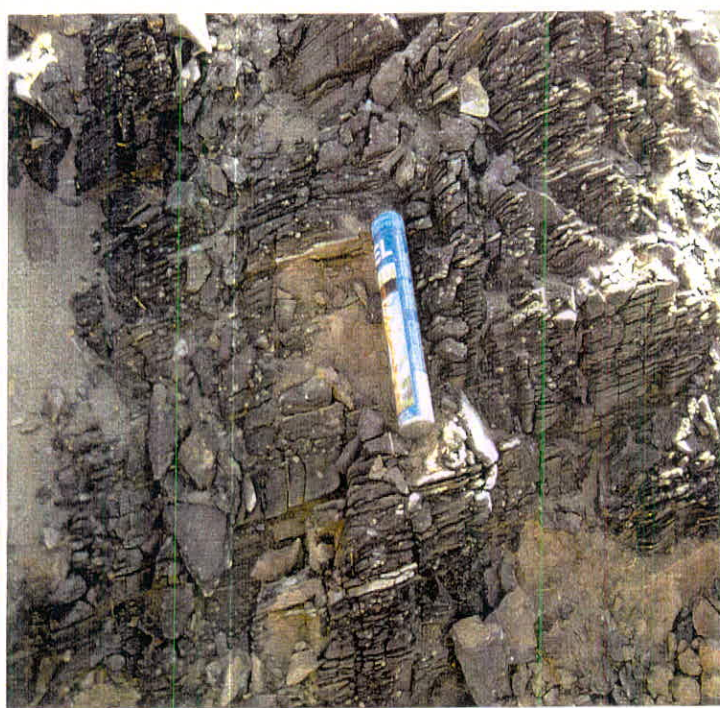
خاکستری ، واحد میکاشیست متورق خاکستری نام گرفت . عکس شماره ( ۷-۲ ) سنگهای

بدست آمده از حفاری چاهک III در واحد میکاشیست متورق خاکستری را نشان می دهد .

این نوع سنگ در چاهک شماره II نیز مشاهده می گردد .

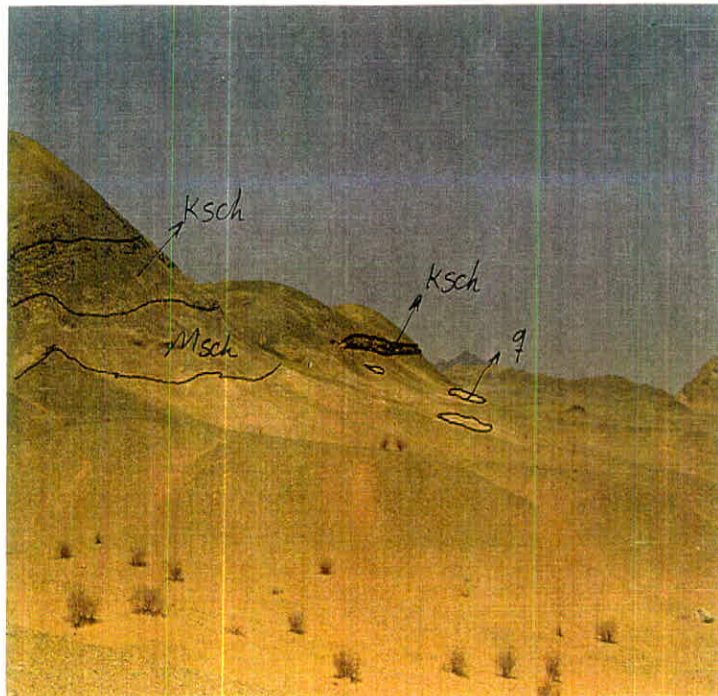
این واحد در سراسر منطقه و در بالادست شیست های کانه دار قرار دارد . ضخامت این

واحد از ۵ تا ۴۰ متر متغیر می باشد .



عکس شماره (۵-۲)- واحد کیانیت گارنت شیست- پراکندگی بلورهای گروه کیانیت و

ضخامت آن در بلوک II



عکس شماره (۶-۲)- واحد شیستهای کانه دار و بدون کانه به همراه رگه ها و پچ های

کوارتریتی در محدوده چاهک II

در بعضی جاها ترادف لایه های شیست بدلون کانه در بالا دست شیست کانه و در

مواردی هم فقط یک سری لایه به ضخامت چند متر وجود دارد. در منطقه مورد مطالعه

جادرنون برخلاف آندازویت میشدوان، در واحد شیست و در ترادف زیر لایه های آن،

مشاهده می گردد که میکا شیست متورق با میان لایه کوارتزیت در پائین که احتمالاً " قدیمی

ترین لایه شیستی نیز است، سپس گارنت میکا شیست کانه دار در وسط و میکا شیست

متورق خاکستری در بالا دست واقع شده است که به عنوان کمر بالای لایه های شیستی

کانه دار معرفی شده است. در عکس شماره (۸-۲) واحد شیست کانه دار و میکاشیست

متورق خاکستری در بالا را نشان می دهد.

#### - واحد کوارتزیت (۹)

این ۹- به صورت پراکنده و همچنین در بعضی جاها به صورت پچ ها در سراسر

کمپلکس بنه شورو وجود دارند، در منطقه مورد مطالعه چادرنون نیز در تناوب لایه های

شیستی و در بالا دست این لایه ها و همچنین در داخل خود کمپلکس بنه شورو امفیولیت ها

زیاد دیده می شود. در بعضی از قسمتها این واحد به صورت لایه های با ضخامت کم و به

صورت میان لایه در بین لایه های شیستی و آهکهای متامorf مشاهده می گردد. رنگ این

لایه سفید و در بعضی موارد به رنگ شیری دیده می شود. که ضخامت آن بسیار متغیر

است. این واحد از نظر دانه بندی، متوسط تا درشت دانه به صورت لایه های نازک و در

بعضی از جا نیز به صورت پچ و خرد شده دیده می شوند. این واحد خود شامل کوارتز با

بافت موزائیک، فلدسپات نوع آکالان و یا لازیوکلازها که اکثراً تبدیل شدگی نیز در آنها

مشاهده می شود، تشدید سده آنده.

در شمال رودخانه چادرنگون و در گسترش طولی شیستهای کانه طر (شرقی - غربی)

میان لایه های کوارتزیتی به صورت لایه های نازک در سرتاسر منطقه و در کلیه زیر واحدهای شیست و از جمله در شیست کانه دار وجود دارد . این واحد به صورت رنگ سفید

بوده و از دور در واحد شیست مشاهده می گردد . همانطوریکه ذکر گردید نه تنها در واحد شیست ، بلکه در دیگر واحدهای کمپلکس بنه شورو نیز لایه ها و پچ های کوارتزیتی به صورت گستره در شمال شرقی و انتهای محدوده مورد مطالعه و همچنین در جنوب شرقی ، شمال غربی و در خارج از محدوده به طور گستره ای دیده می شود.

در عکس شماره (۲-۶) میان لایه های کوارتزیت در بین لایه های شیستی و از راه

دور دیده می شود و در عکس شماره (۶-۹) پچ ها و لایه های کوارتزیتی در شمال شرق محدوده مورد مطالعه و به صورت گستره ای دیده می شوند.

### - واحد گنیس

یکی دیگر از زیر واحدهای کمپلکس بنه شورو که در محدوده مورد مطالعه جهت تهیه

نقشه وجود داشته و در مقیاس ۱:۵۰۰۰ قابل نمایش می باشد.

همانطوریکه قبل "ذکر شد گنیس های این منطقه احتمالا" دنباله گنیس های

زمان آباد می باشند . فابریک آن مشخص و در مقاطع نازک تهیه شده نیز به وضوح دیده می شود و از یک ساخت نواری مشخصی که در آن توده های مجاور از نظر ترکیب با هم

متفاوت هستند دیده می شوند . ترکیب کانی شناسی این واحد نیز شامل کوارتز ، فلدسپات و

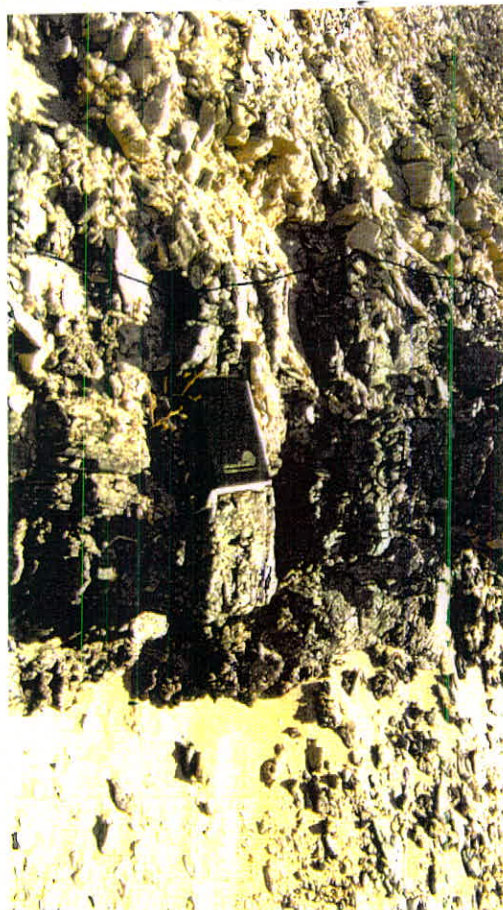
در بعضی موارد بیویت است و کانی های فرعی به صورت هورنبلنده و پیروکسن دیده

می شود.

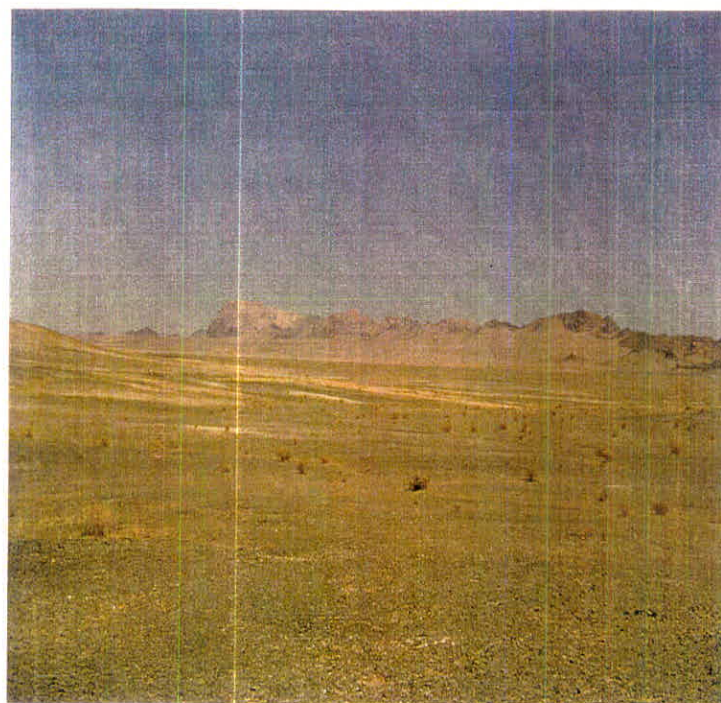


عکس شماره (۷-۳)- سنگهای بدست آمده از چاهک شماره III و II و از نوع میکاشیست

#### متورق خاکستری



عکس شماره (۸-۲)- واحد شیست کانه دارو میکا شیست متورق خاکستری در بالا در بلوک III



عکس شماره (۹-۲)- پیچ ها و لایه های کوارتزیتی در شمال شرقی محدوده مورد مطالعه

یکی از اختلافات اصلی در کمپلکس بنه شورو در منطقه میشدوان بافق و منطقه آندالوزیت چادرنگون در گسترش واحد گنیس می باشد . این واحد در منطقه میشدوان از گسترش چندانی برخوردار نبوده است ، در صورتی که اکثر نقاط بالا دست واحدهای شیست کانه دار در منطقه چادرنگون را گنیس تشکیل داده است. به طوریکه در ستون چینه شناسی کروله شده در منطقه ، در بالای واحد شیست ، واحد آهک متامorf و یا واحد گنیس واقع شده است با توجه به مطالعات میکروسکوپی انجام گرفته بر روی تیغه های نازک ،

گنیس های منطقه را به دو دسته تقسیم کرده یک سری که از نظر سنی قدیمی تر هستند به رنگ زرد نخودی دیده می شود و به صورت لایه های با ضخامت های مختلف و در مواردی به صورت توode ای بر روی واحد شیست دیده می شود. یک سری دیگر گنیس که از نظر

سنی جوانتر می باشند اکثر تپه ها و ارتفاعات را در قسمت های شمال منطقه پوشش

می دهند . مشخصات هر کدام به قرار زیر می باشد.

### الف - واحد کوارتز فلدسپات گنیس زمان آباد $P \in Zq$

این واحد بر روی لایه گارنت میکا شیست کانه دار قرار گرفته است . ضخامت این

واحد به طور متوسط در حدود ۲۰ متر است که در کمر بالای آن واحد آمفیبولیت (هورنبلن)

شیست ) تشکیل شده است . این واحد از نظر ظاهری خواص زیر را دارد:

- رنگ آن زرد ، نخودی و کرم می باشد.

- ترد و شکننده است.

- در بعضی قسمت ها علاوه بر حالت ماسیو تحت تاثیر هوازدگی سطحی به حالت متورق

تبديل شده است.

- این واحد تنها واحد سنگی مشاهده شده در محدوده است که به رنگ روشن دیده می شود

( بجز کوارتزیت ).

### ب - واحد آمفیبول میکا گنیس زمان آباد ( $P \in Za$ )

"احتمالا" جوانترین واحد سنگی شناسائی شده غیر از رسوبات کواترنر در منطقه می باشد

که گسترش آن در منتهی الیه شمال منطقه و بر روی تمام واحدها است . ضخامت این واحد

زیاد و اکثر تپه های شرقی منطقه از جنس این واحد می باشند. این واحد به رنگ تیره دیده

می شود که تفکیک نوارهای روشن و تیره آن تقریبا" قبل رویت می باشد.

در اکثر جاها و در بالا دست<sup>۱</sup> لایه های شیستی و احتمالا" لایه آهکی متأمور شده ،

کمپلکس بنه شورو قرار گرفته است و روند تکامل آن آغاز شده است به گنیس در ارتفاعات

خاتمه پیدا می کند که در بین لایه های آمفیبولیت و گنیس لایه های نازک و در بعضی از

جاهای پچ های کوارتزی نیز وجود دارند. در عکس شماره (۱۰-۲) تابو لایه های

آمفیبولیت و گنیس را در بالادست لایه های شیستی و در ارتفاعات، دیده می شود.

#### - واحد آمفیبولیت شیست ( am )

این واحد نیز یکی از زیر واحدهای کمپلکس بنه شورو می باشد. در بعضی از موقع

کمپلکس بنه شورو را به دلیل اینکه قسمت اعظم آن از آمفیبولیت می باشد، به طور کلی

آمفیبولیت شیست معرفی می کند.

واحد آمفیبولیت شیست در بیشتر جاهای در کمپلکس بنه شورو با واحد گنیس مجاورت

دارد و این موضوع در سمت جنوب شرقی نقشه چادرنقوون به خوبی مشاهده می گردد. در کنار

این دو واحد، آهک متامورف نیز دیده شده است.

آمفیبولیت حالت لایه بندی ضعیفی از خود نشان می دهد و بیشترین کانی آنها هورنبلن

و پلازیوکلاز می باشد. این سنگ از دگرگونی سنگهای آذرین مافیک ایجاد می شود.

آمفیبولها به صورت بلورهای هم اندازه و فابریک آن در گنیس مشخص است و نوارها

معمولًا" به تناب پرهورنبلن و کم هورنبلن تشکیل شده و ترکیب کانی های نوارهای مجاور

نیز از نظر مقدار نسبی کانیهای مختلف، یکسان می باشد و از هورنبلن، پلازیوکلاز و کوارتز

تشکیل شده است. در عکس شماره (۱۱-۲) واحد آمفیبولیت را در میان لایه های شیستی

نشان می دهد.

#### - واحد آهک متامورف ( Mbb )

یکی دیگر از زیر واحدهای کمپلکس بنه شورو که در روی نقشه زمین شناسی ۱:۵۰۰۰

قابل تفکیک می باشد ، آهکهای متامورف می باشد که به این واحد ماربل نیز می گویند .

این واحد در روی نقشه زمین شناسی با علامت PEb نشان داده شده است.

این واحد کمر بالای ماده معدنی (شیسته های کانه دار) را تشکیل می دهد .

ضخامت این واحد متغیر و بین ۲۰ الی ۳۰ متر و در قسمت هایی هم بیش از ۳۰ متر در

تفصیر است . رنگ این واحد بیشتر خاکستری روشن می باشد .

در شمال رودخانه چادرنگون از جمله بالای چاهک شماره I و در قسمتهای غربی آن در

بالای لایه های شیستی آهک متامورف قرار گرفته ، در صورتی که در قسمتهای شرق و

شمال شرقی منطقه بلا فاصله بعد از لایه های شیست کانه دار و یا بدون کانه ، کمپلکس

بنه شورو یا گنیس و یا اجتماعی از رسوبات با لیتولوژی های مختلفی از جمله آهک متامورف ،

آمفیبولیت و گنیس قرار گرفته است.

علاوه بر آهک متامورف معروف شده در فوق ، یک سری رخمنوهای از سنگ های

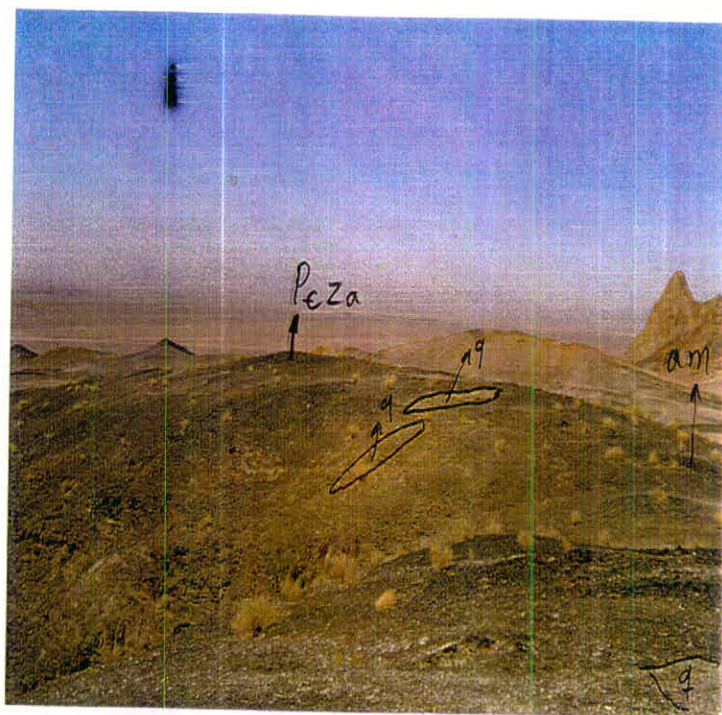
آهکی که ظاهرا" سیلیسی شده اند در وسعت زیادی در جنوب رودخانه چادرنگون و در سمت

جنوب شرقی گسترش دارند که متعلق به سازند سرکوه می باشند. رنگ رخمنوهای آن

خاکستری روشن و در بعضی جاها به رنگ شیری و سفید دیده می شود. توضیح بیشتر آن در

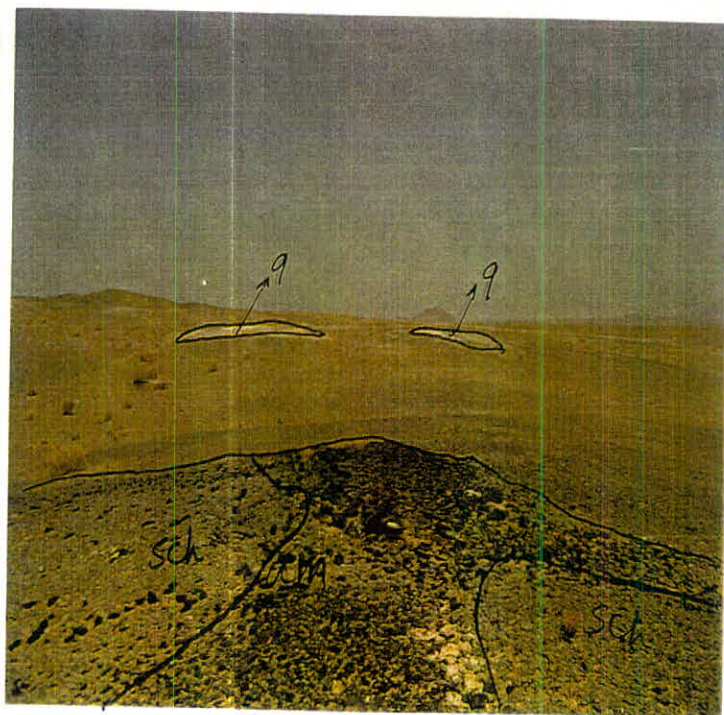
بخش آهک متامورف آمده است. در عکس شماره (۱۲-۲) رخمنوهای رنگ سفید نشان

داده شده که از نوع آهک متامورف سیلیسی شده می باشد.

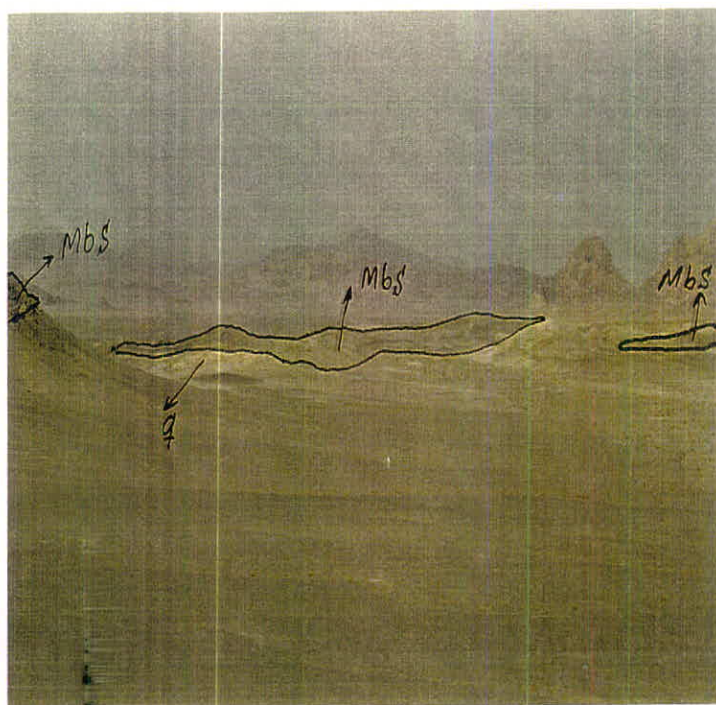


عکس شماره (۱۰-۲)- تناوب لایه های آمفیولیت، گنیس و کوارتزیت در ارتفاعات

شمال غرب محدوده مور، مطالعه



عکس شماره (۱۱-۲)- رخمنون آمفیولیت در میان لایه های شیستی در شمال غرب منطقه



عکس شماره (۱۲-۲)- آهکهای سیلیسی و متامorf در سمت جنوب شرقی

رودخانه چادرنگون

- تشکیلات بین پالئوزوئیک و کواترنری

از واحدهای کامبرین و اینفراکامبرین در منطقه مورد مطالعه تا کواترنر و رسوبات بین

این دو پریود در محدوده مورد مطالعه، دیده نمی شود. نهشته های مژورزوئیک در خارج

محدوده، در غرب و شمال شرقی محدوده که شامل ماسه سنگ، آهکهای ضخیم لایه و

کنگلومرای متعلق به کرتاسه می باشند، دیده می شود. در خارج از محدوده مورد تهیه نقشه

زمین شناسی، نهشته های زوراسیک و همچنین شیل و مارن نیز دیده می شود که با

ارتفاعات پست تری نسبت به نهشته های کرتاسه از دور نمایان هستند. نهشته های ترسیری

که اکثر آنها رسوبات پالئوژن و نئوژن می باشند، در سمت جنوب غربی منطقه به صورت

۲۸-۲	زیر بروزه اکتشاف نیمه تفصیلی آندازه‌گیری میشوند بافق فصل دوم- زمین شناسی منطقه مورد مطالعه	 مدانیک و وی مهندسان مهندسی Madanik & V Consulting Engineers Co.
------	---	---

بیرون زدگی کم ارتفاعی بر روی طبقات مزوژوئیک (کرتاسه و ژوراسیک) قرار گرفته اند و

جنس آنها اکثراً "کنگلومرا همراه با لایه هایی از نمک و در بعضی موارد ژپس می باشد.

عکسهای شماره (۱۳-۲) (۱۴-۲) زمین ها و رخمنونها ژوراسیک و کرتاسه را در سمت

شمال غربی منطقه نشان می دهد.

#### - نهشته های کواترنر

جوانترین واحد چینه شناسی ناحیه مربوط به کواترنر می باشد که از تراسهای آبرفتی

نهشته های دامنه ای و نیز رسوبات رودخانه ها، آبراهه ها و همچنین آبرفتها بستر مسیلها

و محدوده نمکزارها تشکیل شده اند.

این رسوبات که جدیدترین رسوبات منطقه محسوب می شوند روی تشکیلات قدیمی

قرار گرفته اند و از جنس قلوه سنگ، ریگ، ماسه و رس بوده، هر قدر که از مرکز به

طرفین دره نزدیک شویم بر میزان ذرات قلوه و ریگ افزوده می شود و رسوبات دانه

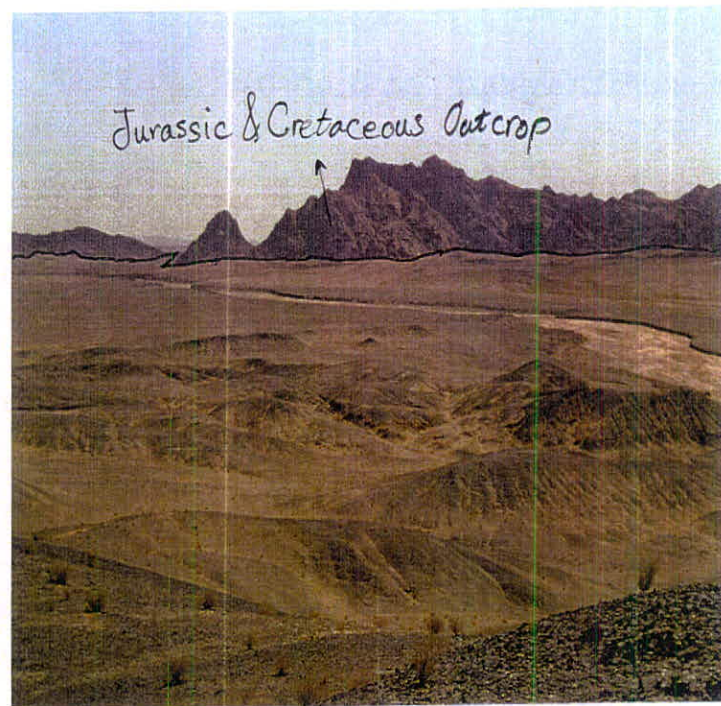
درشت تر می گردند.

بخش های زیادی از محدوده از جنس ماسه و رس همراه با گچ و نمک فراوان تشکیل

گردیده و بعضاً "درین آنها ذرات درشتی در حد قلوه و ریگ مشاهده می شود که مربوط به

جریانات سیلابی است. این نهشته ها در روی نقشه زمین شناسی ۱:۵۰۰۰ مورد مطالعه

چادرنگون به چند واحد  $Q_{11}$ ،  $Q_{12}$  و  $Q_{22}$  تفکیک شده اند.



عکس شماره (۱۳-۲)- زمینها و رخمنوهای ژوراسیک و کرتاسه در سمت جنوب شرقی و در خارج از محدوده تهیه نقشه



عکس شماره (۱۴-۲)- زمینها و رخمنوهای ژوراسیک و کرتاسه در سمت شمال غرب و در خارج از محدوده تهیه نقشه

### الف - واحد نهشته های طغیانی و بستر مسیلهای (Q<sub>10</sub>)

این واحد با علامت  $Q_{10}$  در روی نقشه زمین شناسی مشخص گردیده است . گسترش

آن بیشتر محدود به داخل رودخانه خشک چادرنگون می باشد و متعلق به آبرفت‌های بستر

مسیلهای رودخانه ها است . رنگ این واحد کمی روشن تر از واحدهای دیگر می باشد .

در عکس شماره (۱۵-۲) رودخانه چادرنگون ، رسوبات و نهشته های طغیانی و

سیلابی ( $Q_{10}$ ) را نشان می دهد .

### ب - واحدهای تراشهای آبرفتی قدیم و جدید (Q<sub>11</sub>, Q<sub>12</sub>)

این واحدها که با علامتهای  $Q_{11}$ ,  $Q_{12}$  در روی نقشه زمین شناسی نشان داده شده است ،

مناطق نسبتاً "مرتفع تری نسبت به بستر رودخانه را به صورت تراشهای آبرفتی و زمین های

پله ای در اطراف مسیل و نیز مناطق پست و نسبتاً "هموار در بخشهای وسیعی از منطقه

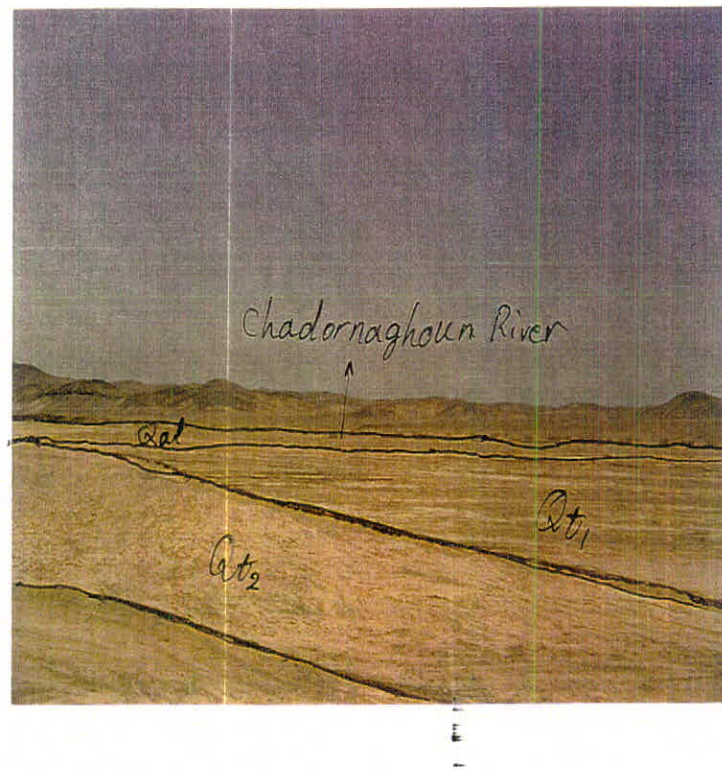
مورد مطالعه را تحت پوشش قرار می دهد . این واحد برخلاف واحد قبلی کمی تیره تر

می باشد .

عکس شماره (۱۶-۲) تراشهای آبرفتی در اطراف مسیل چادرنگون و ارتفاع رسوبات و

ترراس را نشان می دهد . همچنین در عکس شماره (۱۷-۲) زمینهای و رسوبهای کواترنر به

وضوح قابل مشاهده می باشند .



عکس شماره (۱۵-۲)- رودخانه چادرنگون ، رسوبات و نهشته های طبیانی و سیلابی



عکس شماره (۱۶-۲)- تراسهای آبرفتی در اطراف مسیل چادرنگون و ارتفاع رسوبات و تراس



۱  
۲  
۳

عکس شماره (۱۷-۲)- زمین های کواترنس، واریزه و سنگ ریزه

### ۳-۲-۳- مقایسه دو پروفیل طراحی شده در منطقه

جهت شناسایی هر چه بهتر واحدهای چینه شناسی منطقه ، علاوه بر تراشه های حفر

شده ، مقطع ترسیم شده در نقشه زمین شناسی و پیماش های رفت و برگشت در

قسمت های مختلف منطقه دو پروفیل نیز طراحی گردید که مقطع آنها در پیوست گزارش

موجود است. موقعیت پروفیل شماره یک ( Pro-1 ) در مرکز محدوده و در سمت غرب

رودخانه چادرنون و محل پروفیل شماره دو ( Pro-2 ) در جنوب محدوده می باشد . موقعیت

این دو بر روی نقشه زمین شناسی ( خارج از مقیاس نقشه ) آورده شده است.

در ابتدای Pro-1 واحد میکا شیست فاقد کانی سازی قرار گرفته است . در Pro-2 نیز

همین واحد با ضخامت کمتر دیده می شود . به نظر می رسد که روی این واحد به

وسیله رسوبات کواترنس پوشیده شده باشد.

پس از واحد میکا شیست فاقد کانی سازی واحد میکا - گارنت شیست کانه دار

(عمداً "کیاست") قرار گرفته است. این واحد در دو پروفیل قبل تشخیص است با این

تفاوت که درصد کانی سازی در Pro-2 مقداری جزئی بیش از کانی سازی Pro-1 می باشد.

تفاوت اصلی بین دو پروفیل طراحی شده در منطقه در واحد بعد از میکا شیست

کانی سازی شده است. در Pro-2 بعد از واحد کانه دار گنیس زمان آباد با تشکیل دهنده های

کوارتر فلدسپات به رنگ کرم - نخودی به صورت بین انگشتی با کمپلکس بنه شورو قرار

می گیرد ولی در Pro-1 واحد گنیس زمان آباد وجود ندارد و بر روی واحد کانه دار

میکا شیست های متورق خاکستری رنگ فاقد کانی سازی قرار گرفته است. در انتهای هر دو

پروفیل کمپلکس بنه شورو قرار می گیرد که وجه مشترک دو پروفیل محسوب می شود.

### ۲-۳- زمین شناسی ساختمانی منطقه مورد مطالعه

#### ۱-۳-۲ - مقدمه

با توجه به گزارش آندالوزیت میشدونان بافق (منطقه معدنی آندالوزیت ۱) منطقه مورد

مطالعه چادرنقون در یک مقیاس بزرگ و در اثر کوهزایی کاتانگاهی شدیداً دگرگون گردیده

است و امروزه بیشتر رخمنونها و یا به عبارتی قدیمی ترین زمین های ایران را سنگهای

پرکامبرین این منطقه تشکیل می دهد. از زمان پرکامبرین تا زمانهای عهد حاضر این منطقه

حرکات خشکی زایی داشته و در دوران مژوزوئیک و سنوزوئیک منطقه از نظر تکتونیکی فعال

بوده است.

با توجه به مطالب قبلی، کل منطقه و ساختار زمین شناسی منطقه از شکستگیهای بزرگ

و ساختمان تکتونیکی بزرگ مقیاس ، یعنی گسل پشت بادام تبعیت می کند. این گسل نیز در زمان همان چن خودگی و کوهزایی قدیمی (کاتانگایی) اتفاق افتاده است. شاید بتوان گفت شاخه های جنوبی این گسل از وسط محدوده مورد مطالعه یعنی رودخانه خشک چادرنگون می گزند و ادامه آن احتمالا" در زیر رسویات عهد حاضر در کویر شرق حسن آباد و درانجیر پنهان می گردد.

### ۲-۳-۲- وضعیت ساختمانی منطقه اکتشافی

همانطوریکه قبل " ذکر گردید وضعیت تکتونیکی این محدوده از سیستم گسلی پشت بادام و چاپدونی که قسمت جنوبی این گسل از این محدوده می گزند ، تبعیت می کند . در این محدوده نیز اکثر گسلها به صورت راستگرد بوده و از گسلهای بزرگ تبعیت می کند. لذا در انر همان عملکرد و گسلهای فوق ، یک سری گسلهای اصلی و بزرگ در منطقه بوجود آمده است . در پی این گسلهای بزرگ ، یک سری گسلهای فرعی و در جهت عمود بر این گسلها بوجود آمده است . در بخش زیر سعی شده است زمین شناسی ساختمانی محدوده مورد مطالعه به طور دقیق مورد بررسی قرار گیرد . لذا در جهت نیل به این هدف ، این گسلهای شناسایی ، نامگذاری و عملکرد آنها بیشتر در رابطه با محدوده ذخیره ها بررسی شده است.

در یک نگاه کلی دو دسته گسل در محدوده مورد مطالعه دیده می شوند یک سری گسلهای اصلی و بزرگ منطقه که امتداد آنها شرقی - غربی بوده و هر چه به سمت غرب و جنوب غربی پیش می رویم ، روند آنها شمال غربی - جنوب شرقی می گردد.

در کنار این گسلهای اصلی ، یک سری دیگری از گسل ها در منطقه وجود دارند که امتداد آنها شمالی - جنوبی و بعضی دیگر شرقی غربی می باشند و اندازه این گسلها از سری

اول کوچکتر بوده ولی جابجایی های انجام شده توسط این گسلها ، مشخص و در روی زمین مشاهده می شود.

از آنجاییکه گسلهای سری اول ( گسل های بزرگ ) در آبراهه ها و زمین های کوارترنر رخ داده اند ، به صورت خط چین بر روی نقشه زمین شناسی نشان داده شده است . ولی گسلهای سری دوم در رخنمونهای سنگی و اکثر آنها در واحدهای شیست و همچنین در آهکهای متامورف و گنیسهها رخ داده اند جابجایی های این گسل در حدود ۲۰ الی ۳۰ متر است. گسترش ماده معدنی (شیست های کانه دار ) که در شمال رودخانه چادرنگون و در طول حدود ۱ کیلومتر کشیده شده است ، تحت تأثیر گسلهای سری دوم تکه تکه شده است. همانطوریکه در نقشه زمین شناسی ۱:۵۰۰۰ محدوده دیده می شود ، گسلهای سری اول در زمین های کواترنر رخ داده و ارزش علمی در بحث ارزیابی ذخیره و یا بلوک بندی ندارد و از توصیف بیشتر آنها نیز صرف نظر می گردد.

### ۲-۳-۳- عملکرد گسلها در جنوب رودخانه چادرنگون

با توجه به اینکه لیتولوژی های حاکم بر رخنمونهای دو طرف رودخانه چادرنگون و گسل بزرگ منطقه ( گسل چادرنگون ) متفاوت می باشد ، احتمالا" این رخمنون ها تحت تأثیر همین گسل بزرگ منطقه جابجایی نشان می دهد . با در نظر گرفتن این نکته ، گسل چادرنگون امتداد لغز بوده و عملکرد آن از نوع چپ گرد می باشد به طوریکه رخنمونهای کمپلکس سرکوه را از مناطق غرب منطقه به محدوده مورد مطالعه رانده است.

در جنوب گسل بزرگ منطقه ( گسل چادرنگون ) گسلهای کوچک و موازی آن وجود دارد که تحت تأثیر گسل بزرگ بوجود آمده اند ولی جابجایی رخمنونی در آن مشاهده

نمی شود. این گسلها اکثراً در زمینهای کواترنر رخ داده اند از آنجاییکه پچ ها و خط واره های کوارتریتی در روی زمین در امتداد مشخصی رخمنون دارند و رخمنوتهای کمپلکس سرکوه احتمالاً به موازات این خط واره ها قرار گرفته اند تا حدودی می توان امتداد گسلها را در جنوب محدوده و نقشه تهیه شده ترسیم نمود.

همانطوریکه در نقشه نشان داده شده است این گسلها همگی چپ گرد بوده و از گسل بزرگ (گسل چادرنگون) تبعیت می کنند به طوریکه رخمنوتهای کمپلکس سرکوه را تکه تکه کرده و به سمت شرق و در بعضی موارد بر روی هم رانده است.

حرکت این گسلها از روی عکسهای هوایی کوچک مقیاس کاملاً مشخص می باشد.  
در جنوب شرق نقشه دو تپه سنگی وجود دارند که یکی که در منتهی الیه جنوب شرقی، رخمنون سنگی منطقه را تشکیل می دهد بدون کانه و دیگری کانه دار می باشد این دو تپه به نامهای H-I و H-II نام گذاری گردیده اند.

این دو تپه رخمنون سنگی احتمالاً در ابتدا به همدیگر چسبیده بوده و در اثر عملکرد گسل H-I,II از نوع امتداد لغز و از نوع چپ گرد، از هم جدا شده اند. از آنجاییکه در T.II کانی سازی و در T.I بدون کانه می باشد احتمالاً عملکرد گسل بین این دو تپه قبل از فعالیت کانی سازی در این منطقه بوده است شب و امتداد اندازه گیری شده در این دو تپه نتایج بدست آمده را به اثبات می رساند.

#### ۴-۳-۲- عملکرد گسلها در شمال رودخانه چادرنگون

همانطوریکه در نقشه زمین شناسی میشدوان آمده است ماده معدنی به طور نسبی در کل واحد شیست و در بین دو واحد دولومیت کمر پائین و آهک متأمورف کمر بالا قرار گرفته

است در صورتیکه در محدوده چادرنگون واحد کوچکی از واحد شیست کمپلکس بنه شورو دارای ماده معدنی گروه سیلیمانیت می باشد . کمر پائین و کمر بالای ماده معدنی را زیر واحدهای شیست ( میکاشیست ورقه ای با میان لایه های سیلیسی به عنوان کمر پائین و واحد میکاشیست متورق خاکستری به عنوان کمر بالا ) تشکیل می دهند . ماده معدنی در لایه ای به ضخامت متغیر ۱ الی ۸ متر و به نام کیانیت گارنت میکاشیست تشکیل شده است.

گسلهای شمال رودخانه چادرنگون علاوه بر تمام زیر واحدهای شیست ، واحدی بالای شیست بعضی در بعضی جاهای آهک متامورف و در بعضی جاهای کمپلکس بنه شو و (آمفیبولیت و گیس ها) را نیز تحت تأثیر قرار داده و جابجایی هایی در آنها بوجود آورده اند .  
جهت تعیین ذخیره با توجه به اطلاعات موجود ، لازم بود کل منطقه به صورت واحدهای کوچکتری تقسیم بندی شود تا ارزیابی ذخیره با دقت بالای انجام گردد در جهت نیل به این هدف گسلهای شمال رودخانه ملاک عمل قرار گرفته اند . از آنجاییکه این گسلها تا حدودی عمود بر امتداد لایه های شیستی و به لایه های کانه دار اثر کرده است ، کل منطقه توسط این گسلها به بلوكهای مجزا و کوچکتری تقسیم شده است که جهت ارزیابی ذخیره بسیار مفید می باشد ، لذا ملاک تقسیم بندی بلوك ذخیره بر اساس این گسلها صورت گرفته و بدین صورت در شمال رودخانه چادرنگون گسل های که در خود لایه های شیست تأثیر گذاشته شماره گذاری و از شماره I الی IX نام گذاری گردیده اند .

### ۳-۵- آتراسیون در منطقه مورد مطالعه

ماده معدنی گروه سیلیمانیت در بلوک II H ظاهره "هیچگونه تبدیل شدگی در

بین گروه های کانی های سیلیمانیت به همدیگر وجود ندارد در صورتیکه در شمال رودخانه چادرنقون ، کانه های گروه سیلیمانیت موجود در بلوک های مختلف کانی های کیانیت و به

مقدار کمتر کانی آنداوزیت را نشان می دهد.

تبدیل شدگی کانی های گروه سیلیمانیت به همدیگر زیاد و آتراسیون نیز در این

قسمت شلید می باشد به طوریکه نتایج حاصل از مطالعات X.R.D در شمال رودخانه

چادرنقون و در اکثر بلوک ها این موضوع را ثابت می کند. مقدار درصد کانی های گروه

سیلیمانیت در شمال رودخانه چادرنقون از سمت شرق به غرب افزایش می یابد. در عکس

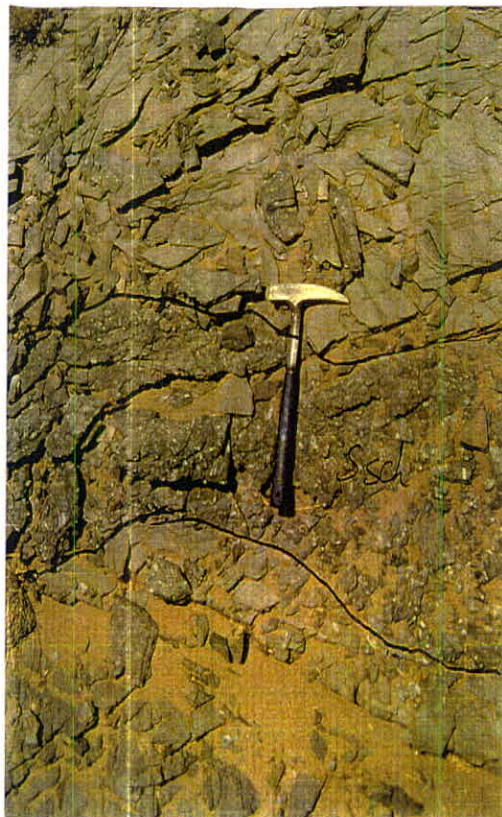
های شماره (۱۸-۲ و ۱۹-۲ ) مقدار کانیها در سطح زمین در شمال رودخانه چادرنقون و

همچنین در جنوب آن نشان داده شده است.



عکس شماره (۱۸-۲) - پراکندگی بلورهای گروه سیلیمانیت در سطح زمین و اطراف

III شماره چاهک



عکس شماره (۱۹-۲)- نازک لایه سیلیمانیت در جنوب رودخانه چادرنگون

# فصل سوم

# حفریات ، نمونه برداری

و

# انجام آزمایشات

د. ۱۰۹ - ۱ - ۳

برای دستیابی به مشخصات کانسوار آندازه‌گیریت منطقه چادرتغون لازم بود که

نمونه های مختلفی از رخمنوهای سطحی، ترانشه ها و از درون چاهکهای اکتشافی برداشت

شود. لذا در جهت نیل به این هدف ، یک سری نمونه بردازی از رخنمونهای سطحی، جهت

تشخیص لیتولوزی منطقه و تکمیل نقشه زمین شناسی ۵۰۰۰: ۱ صورت گرفته است. بعضی

از نمونه های برداشت شده به منظور تشخیص آثار فرآیندهای نظری کانی، سازی و نوع

آلتراسیون و کیفیت ماده معدنی برداشت گردید. در این مرحله از قرارداد به دلیل تعداد محدود

نمونه ها، چگالی شبکه نمونه برداری در رخمنوشهای سطحی و همجنین در طوا، جاهکهای،

حفاری شده در امتداد حداقل تغییرپذیری صورت گرفته است. بی همین اساس، و باز

دستیابی به نمونه های تازه و بدون تأثیر عوامل هوایی، در چاهای مناسب ترانشه و جاهک

حفاری گردید و نمونه برداری مناسب از آنها به طور سیستماتیک صورت یزدیرفت. به منظمه،

شناخت دقیق ماده معدنی بر روی نمونه های برداشت شده از منطقه، بررسیهای آزمایشگاهی.

جهت مطالعه سنگ شناسی، نوع، کیفیت، دگرسانی و رُز ماده معدنی، انجام بذیرفت که از

جمله آنها، آزمایش‌های تجزیه شیمیایی ده اکسیدی به روش شیمی تر، آزمایش تعیین کانسنا

به روش اشعه مجهول (X.R.D)، بررسیهای سنگ شناسی و میکروسکوپی نمونه ها و مطالعه

تیغه نازک بوده است.

به موازات مطالعات و مراحل انجام شرح خدمات قرارداد در دو مرحله ،

نمونه برداری و آزمایشات مربوطه نیز در طی دو مرحله انجام پذیرفته است که به شرح آنها

میرداد

### ۳-۳- مرحله اول

بر اساس خدمات مندرج در قرارداد و همچنین جهت جلوگیری از ضررهای احتمالی،

ابتدا جهت اثبات اینکه آیا منطقه پتانسیل کار در مرحله نیمه تفصیلی را دارد، از ۵ رشته

ترانشه حفاری شده قدیمی بازدید به عمل آمد و تعداد ۵ نمونه به طور کمالی و در طول

ترانشه ها برداشت گردید. این نمونه ها با کدهای ۱-Y-A2-1 الی ۵-Y-A2 مشخص شده است.

در جدول شماره (۱-۳) تعداد ۵ عدد نمونه اولیه و محل آنها جهت اندازه گیری ده اکسید

اصلی نشان داده شده است.

جدول شماره (۱-۳)- نتایج آنالیز نمونه های مرحله اول از ترانشه های حفاری شده قبلی

کد صریعی	محل نمونه بردازی	Al <sub>2</sub> O <sub>3</sub> (%)	SiO <sub>2</sub> (%)	CaO (%)	TiO <sub>2</sub> (%)	Fe <sub>2</sub> O <sub>3</sub> (%)	P <sub>2</sub> O <sub>5</sub> (%)	K <sub>2</sub> O (%)	Na <sub>2</sub> O (%)	MgO (%)	L.I.O (%)
Y-A2-1	Tr. I	۱۷/۶	۶۹/۲	۰/۲۲	۰/۵۶	۳/۵۵	۰/۱۶	۱/۵۴	۱/۵۸	۰/۴۸	۲/۵۵
Y-A2-2	Tr. II	۲۲/۹	۵۷	۰/۵۳	۲/۹۶	۱۱/۴	۰/۴	۲/۳۹	۰/۵۳	۰/۴۲	۱/۲۵
Y-A2-3	Tr. III	۲۰/۷	۶۳	۱/۴۹	۰/۷۶	۵/۶۵	۰/۲۲	۲/۵۴	۱/۱۴	۰/۱۰	۲/۲۷
Y-A2-4	Tr. IV	۱۶/۲	۶۹/۸	۰/۸	۰/۷۶	۵/۲۲	۰/۲	۲/۲۵	۱/۵۱	۰/۸	۲/۲۵
Y-A2-5	Tr. V	۱۵/۲	۶۹/۵	۰/۹۴	۰/۴۹	۳/۲۸	۰/۱۹	۲/۱۷	۲/۱۲	۰/۹	۲/۲۶

نتایج آزمایشگاهی و داده های به دست آمده نشان می دهند که منطقه از نظر ادامه

کار، مناسب و در حد قابل قبول و هم ردیف با منطقه معدنی آندالوزیت یک و به عبارت

دیگر ادامه عملیات اکتشافی توجیه پذیر می باشد. نتایج مطالعات آزمایشگاهی تمام نمونه ها و

نسخه اصل آزمایشگاه در پیوست گزارش آمده است.

به موازات برداشت نمونه جهت انجام آزمایشات شیمیایی، برای تشخیص نوع

کانیهای گروه سیلیمانیت، تعداد ۵ نمونه با کدهای ۱-A2-۱-۱ Y-A2-۵-۱ از پنج ترانشه

حفاری شده و از بلورهای موجود برداشت و جهت انجام آزمایش X.R.D به آزمایشگاه ارسال

گردد که پس از **أخذ نتایج آزمایشگاهی** در تمام نمونه ها، کانی اصلی کیانیت نشان داده شده

است. بعلاوه کانیهای فرعی دیگری از جمله استارولیت و پیروفیلیت نیز در این نمونه

شناسایی گردید. گرافهای X.R.D این نمونه ها در پیوست موجود می باشد. در جدول شماره

### (۲-۳) نتایج مطالعات X.R.D نمونه های مرحله اول آمده است.

#### جدول شماره (۲-۳)- نتایج X.R.D نمونه های مرحله اول قرارداد

شماره نمونه	نتایج X.R.D
Y-A2-1-1	Kyanite , Staurolite , Muscovite
Y-A2-2-1	Kyanite , Muscovite – Staurolite
Y-A2-3-1	Kyanite , Muscovite – Staurolite
Y-A2-4-1	Kyneite , Quartz , Muscovite – Pyrophyllite
Y-A2-5-1	Kyanite , Muscovite , Staurolite , Pyrophyllite

از آنجاییکه در این مرحله از قرارداد لازم بود با کمترین هزینه و در کمترین زمان

بیشترین نتیجه گرفته شود، سعی شد که نمونه های برداشت شده از ترانشه ها برای مطالعات

کانی شناسی (X.R.D) از بلورها در طول مسیر ترانشه استفاده شود تا زودتر به نتیجه

مربوطه برسیم.

بر طبق قرارداد در مرحله اولیه قرار بود که تعداد ۵ عدد نمونه جهت مطالعات

میکروسکوپی و تهیه تینه نازک برداشت شود ولی تا آن زمان به دلیل عدم حفاری چاهه ها و

ترانشه های اکتشافی و همچنین پر شدن ترانشه های حفر شده قدیمی و به علت خرد بودن و آلتراسیون شدید، از نمونه های برداشت شده از ترانشه های I الی V منطقه معدنی آندالوزیت (۲) تنها ۲ عدد از نمونه سنگی برای تهیه تیغه نازک و مطالعه پتروگرافی مناسب بوده و به آزمایشگاه ارسال گردید که مطالعات آن تکمیل و با منطقه آندالوزیت (۱) از نظر نوع سنگ و کانی های موجود در آن مورد ارزیابی قرار گرفت. نتایج این دو نمونه میکروскопی در زیر آمده است. قابل ذکر است که مطالعات ۳ نمونه دیگر جهت مطالعه تیغه نازک (طبق تعداد مندرج در شرح خدمات) در مراحل بعدی جبران شده است.

#### الف- نمونه شماره Y-A2-2

نام سنگ : گارنت میکاشیست

بافت : متورق و جهت یافته

در این تیغه عمدتاً "کانیهای کوارتز، گارنت، مسکویت و استروتید به ترتیب فراوانی مشاهده می شود که در آن بلورهای کوارتز و مسکویت با رشد همزمان، بافت جهت یافته را در سنگ ایجاد نموده اند. گارنت به صورت بلورهای درشت (تا قطر ۵ میلیمتر) و بی شکل به تعداد فراوان (در حدود ۳۰ درصد) در سنگ موجود است. در این کانیها ادخال کوارتز وجود دارد. استروتید به صورت بلورهای پراکنده به تعداد ناچیز و با اندازه کمتر از یک میلیمتر در سنگ دیده می شود. علاوه بر کانیهای مذکور مقدار قابل توجهی کانی کلر (حدود ۴ تا ۵ درصد) در سنگ موجود است که اکثر آنها اکسیدهای آهن (هماتیت) هستند. این کانی ها به صورت ادخالهای فراوان در گارنت مشاهده می شود. در عکس شماره (۱-۳) بخشی از آن نشان داده شده است.

### ب - نمونه شماره ۴ Y-A2-4

نام سنگ : سیلیمانیت - کیانیت - گارنت - میکاشیست

بافت : متورق و جهت یافته

کانیهای تشکیل دهنده این سنگ به ترتیب فراوانی شامل کوارتز ، مسکویت ،

بیوتیت، گارنت ، سیلیمانیت و کیانیت هستند . کوارتز همراه با مسکویت و بیوتیت بافت جهت

یافته ای را در سنگ ایجاد کرده اند.

حدود ۱۰ درصد این سنگ را بلورهای شکل دار تا نیمه شکل دار دارای ادخالهای

کوارتز تشکیل داده اند . سیلیمانیت و کیانیت به صورت هم رشد در این تیغه مشاهده

می شود که تا اندازه ای به کانیهای گروه میکا تبدیل شده اند . این کانیها در سنگ به

صورت پراکنده وجود دارند و مقدار آنها حداقل ۵ درصد حجم سنگ می باشد . قطر این

کانیها به یک سانتی متر می رسد . علاوه بر کانیهای فوق مقدار قابل توجهی کانی کدر

( هماتیت ) نیز به صورت بلورهای ریز در تمام زمینه سنگ موجود است . عکس شماره

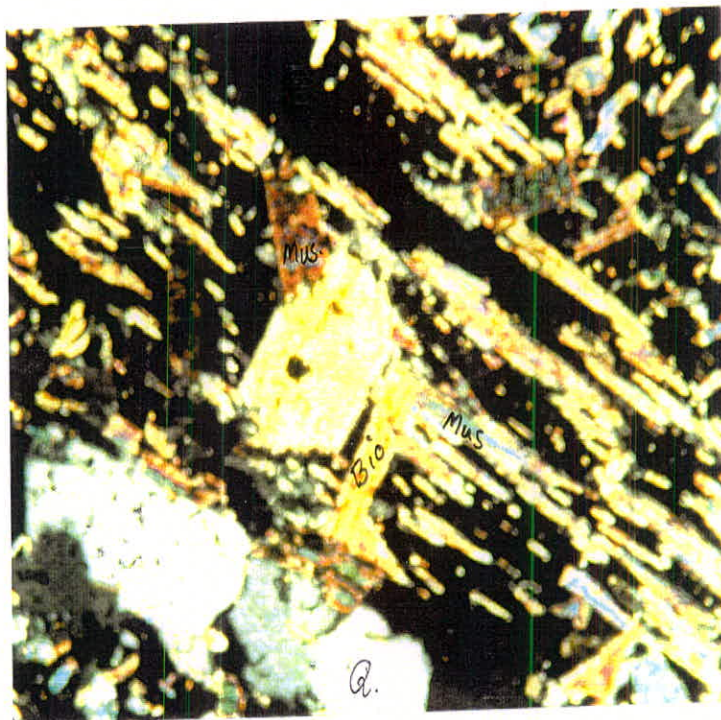
( ۲-۳ ) قسمتی از مقطع این نمونه را نشان داده است .

این مشاور پس از اخذ نتایج تجزیه شیمیایی، مطالعات تیغه نازک و نتایج X.R.D و

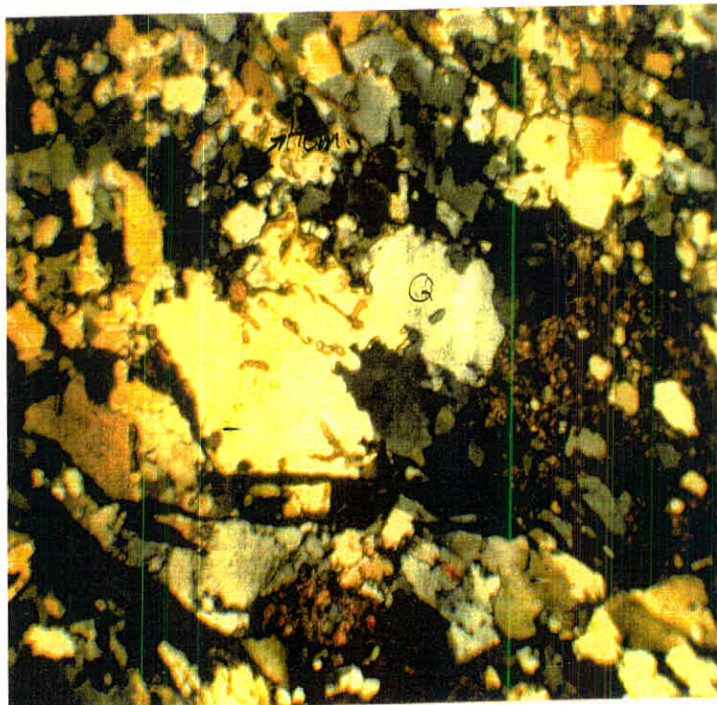
همچنین با توجه به شناخت از منطقه معدنی آندالوزیت (۱) و پس از تجزیه و تحلیل آنها بر

ادامه عملیات اکتشافی در مرحله دوم در منطقه معدنی شماره ( ۲ ) نظر مثبت داشته و خدمات

مربوطه را انجام داده است .



عکس شماره (۱-۳)- مقطع میکروسکوپی نمونه A2-2-Y در نور پلاریزه با بزرگنمایی  $\times ۳۳$



عکس شماره (۲-۳)- مقطع میکروسکوپی نمونه شماره A2-4-Y در نور پلاریزه با بزرگنمایی  $\times ۳۳$

### ۳-۳-۳- مرحله دوم

#### ۱-۳-۳- عملیات حفاری

جهت دسترسی به نمونه های بکر و معرف نوع سنگ حاوی کانی سیلیمانیت و همچنین نمونه های فاقد آثار هواردگی سطحی و همچنین جهت تشخیص میزان ضخامت و گسترش امتدادی و تعیین ذخیره ماده معدنی و بر اساس شرح خدمات مندرج در قرارداد و با توافق کارفرما ، تعداد ۵ رشته ترانشه و ۳ حلقه چاهک اکتشافی طراحی گردید.

از آنجائیکه رخمنون ماده معدنی در شب توبوگرافی سطح زمین مشخص است ، لذا سعی شده است ترانشه های جدید در ارتفاعات پائین تر و در جاهایی که پوشش دارد حفاری شود . علاوه بر آن پارامترهایی از قبیل نوع سنگ و ترکیب شیمیایی آن ، بافت و ساخت سنگ ، نوع و شدت آلتراسیون و مورفولوژی منطقه از جمله معیارهایی هستند که در کنار نتایج آزمایشگاهی در انتخاب محل ترانشه ها ، مد نظر قرار گرفته است .

جهت انجام عملیات حفاری بر روی شیستهای حاوی ماده معدنی و همچنین جهت تکمیل شبکه حفاری ترانشه های قدیمی و با در نظر گرفتن تغییر پذیری ماده معدنی ، در جهت عمود بر امتداد لایه ها ، تعداد ۲ رشته ترانشه در بین ترانشه های قبلی و همچنین ۳ رشته در محلهای جدید حفاری گردید . مشخصات ترانشه های حفاری شده توسط شرکت تهییه و تولید مواد اولیه فولاد ایران - اکتشافات واحد جنوب و همچنین ترانشه های حفر شده توسط این مشاور در جدول شماره ( ۳-۳ ) آمده است .

علاوه بر ترانشه های ذکر شده در جدول بالا ، در نقاطی که رخمنون ماده معدنی تا

اندازه ای در سطح زمین و در شب های مناسب توبوگرافی دیده می شوند از آنجائیکه شب

ماده معدنی در گسترش طولی آن از غرب به شرق از یک نوع می باشد و احتیاج به خفاری

نیود، دو پروفیل در امتداد عمود بر لایه بندی و به موازات ترانشه ها برداشت شد. این

پروفیلها با شماره های Pro-I و Pro-II طراحی گردید که محل آن در روی نقشه

زمین شناسی نشان داده شده است. این پروفیل ها در پیوست موجود می باشد. لازم است

که ذکر شود نمایش محل ترانشه ها و پروفیل ها در نقشه زمین شناسی به صورت شماتیک

است و به مقیاس نقشه نیست.

جدول شماره (۳-۳) - مشخصات ترانشه های قدیمی و جدید

محل ترانشه	شماره ترانشه	طول (متر)	آریمود
ترانشه های قدیمی	Tr.I	۵۱	۱۴۵
	Tr.II	۵۸	۱۴۵
	Tr.III	۴۱	۱۳۰
	Tr.IV	۴۵	۱۴۵
	Tr.V	۳۲	۱۲۵
ترانشه های جدید	Tr.In	۵۰	۱۵۰
	Tr.IIn	۳۰	۱۵
	Tr.IIIIn	۸	۲۲
	Tr.IVn	۹	۲۱
	Tr.Vn	۷	۲۱

### الف- موقعیت و مشخصات ترانشه های جدید

موقعیت ترانشه های مورد بحث با کدهای Tr.In الی Tr.Vn و با علامت خاص

نقشه زمین شناسی مشخص شده است. این ترانشه ها عرضی بین ۵۰ الی ۷۰ سانتی متر و عمق بین ۵۰ الی ۱۲۰ سانتی متر دارند . به دلیل پوشش زیاد رسوبات در عمق ترانشه های جدید ، در بعضی جاها در امتداد این ترانشه های جدید با عمق  $1/5$  متری هنوز آثاری از لایه سنگی حاوی ماده معدنی دیده نمی شود و این نشان می دهد که رسوبات در این محل ها از ضخامت زیادی برخوردار می باشند . و برای دسترسی به عمق بیشتر لازم است که چاهکهای حفاری گردند. پروفیل این ترانشه ها در مقیاس ۱:۱۰۰ طراحی گردید که در پیوست گزارش مشاهده می گردد.

#### - ترانشه اول (Tr.In -

این ترانشه در سمت شمال رودخانه خشك چادرنگون و به طول ۵۰ متر در امتداد شمال غربی- جنوب شرقی در شیست های کانه دار ، حفاری شده است . وضعیت این ترانشه به گونه ای است که در قسمت های پایین دست و تا ۱۷ متری به علت پوشش رسوبات دامنه ای و واریزه تا عمق  $1/5$  متری ، هیچگونه رخمنون سنگی مشاهده نشد و برای دسترسی به واحد سنگی لازم است که تا عمق زیادتر حفاری شود . پس از این رسوبات دامنه ای ، لایه میکا شیست متورق با شیستوزیته خوب به رنگ خاکستری تیره قرار می گیرد . شب لایه بندی ۲۰-۳۰ درجه و به سمت شمال غرب مشاهده می شود .

در انتهای ترانشه ، لایه میکاشیست متورق ، پولکی و خرد شده قرار می گیرد که فاقد کانی سازی کالنیهای گروه سیلیمانیت می باشد. در عکس شماره (۳-۳) نمایی از ترانشه Tr.In

آورده شده است .

### ( Tr.IIn ) - ترانشه دوم

این ترانشه به طول ۳۰ متر در انتهای شمالی منطقه، در لایه شیست و در نزدیکی

ترانشه پنجم از کارهای قدیمی حفاری شده است. در پایین دست این ترانشه همانند ترانشه

قبلی، رسوبات تقریباً زیادی از واریزه انباشته شده است و واحدهای سنگی در زیر این

رسوبات قرار گرفته اند. پس از کم شدن ضخامت این رسوبات واحد میکاشیست خاکستری با

درصد پائین کانی سازی ( $<5\%$ ) مشاهده می شود که شب آن حدود ۳۲ درجه و به سمت

شمال شرقی می باشد. از این واحد نمونه ای جهت آنالیزهای X.R.D و شیمیایی برداشت

شده است که نتایج آنها در قسمت مربوطه آورده شده است. در عکس شماره (۳-۴) نمایی

از Tr.IIn نشان داده شده است.

### ( Tr.IIIIn ) - ترانشه سوم

این ترانشه در جنوب رودخانه و در قسمت پایین منطقه در دامنه تپه ای به طول

تقریباً ۸ متر و در جهت جنوب غربی - شمال شرقی حفاری شده است. در ابتدای مقطع این

ترانشه واحد میکاشیست فاقد کانی سازی قرار گرفته است که در اثر اکسیداسیون آهن به

رنگهای قرمز و قهوه ای تبدیل شده است. بر روی این واحد لایه گارنت میکاشیست کانه دار

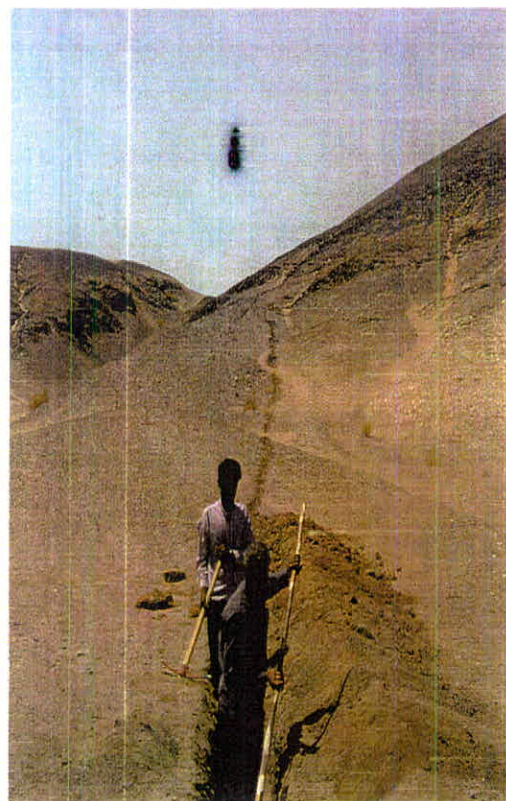
(  $>10\%$  ) قرار گرفته است. رنگ این لایه خاکستری تیره است و کانی سازی در امتداد

لایه بندی صورت گرفته است رشد بلورها در این قسمت از منطقه مانند بلورهای قسمت

شمال رودخانه کامل نشده است. و اندازه بلورها چندان درشت نمی باشد. از واحد کانه دار

این ترانشه نمونه ای جهت آنالیز X.R.D و تعیین نوع کانی گروه سیلیمانیت به آزمایشگاه

ارسال شد. در عکس شماره (۳-۵) نمایی از ترانشه Tr.IIIIn نشان داده شده است.



عکس شماره (۳-۳) - نمای ترانشه Tr.In در لایه های شیستی

( دید از سمت جنوب شرقی به سمت شمال غربی )



عکس شماره ( ۴-۳ ) - نمایی از ترانشه Tr.IIn

( دید از سمت جنوب غربی به سمت شمال شرقی )

### ( Tr.IVn ) - ترانشه چهارم

این ترانشه در ۲۰ متری شمال ترانشه Tr.IIIIn به طول ۹ متر و عمود بر لایه بندی

حفر شده است . مانند اکثر ترانشه ها در کمر پائین و در دامنه رسوبات واریزه ای با ضخامت

حدود ۱/۵-۲ متر وجود دارد . پس از این رسوبات میکاشیست های متورق ، خرد شده و فاقد

کانی سازی مشاهده شده است . پس از واحد میکاشیست و بر روی آن واحد سنگی میکا

گارت شیسته های کانه دار ( <۱۰% ) به صورت هم شیب با لایه های زیرین قرار دارد.

ضخامت متوسط واحد کانی سازی شده در این قسمت حدود ۷ متر است . نمونه ای از این

واحد جهت تهیه تیغه نازک و مطالعات پتروگرافی و همچنین آنالیز شیمیایی برداشت

شده است که نتایج آن در بخش مربوطه آورده شده است . عکس شماره ( ۶-۳ ) نمایی از

این ترانشه نشان داده شده است .

### ( Tr.Vn ) - ترانشه پنجم

این ترانشه تقریباً در امتداد شمال - جنوبی و عمود بر لایه بندی و در ۲۰ متری ترانشه

چهارم به طول ۶ متر حفاری شده است . در مقطع این ترانشه به ترتیب ، که ابتدا میکا شیسته های

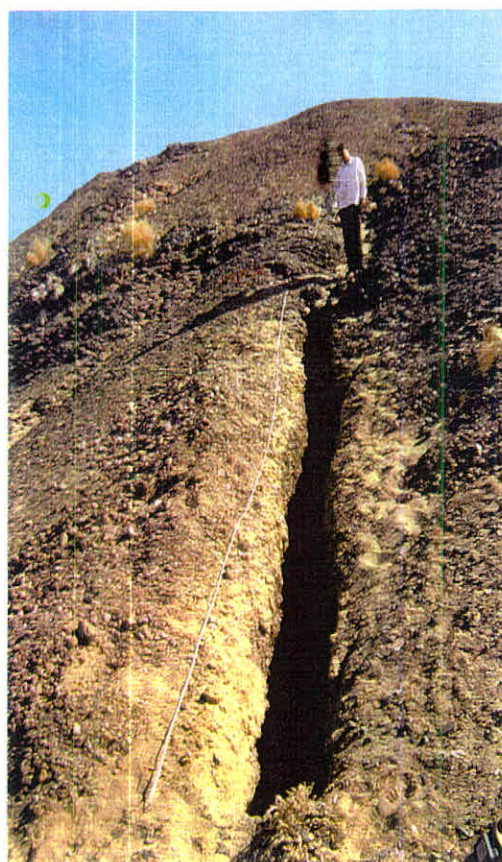
آلتره و در بعضی قسمت ها هوازده شده قرار دارد و پس از آن واحد کانه دار میکا گارت

شیست با بیش از ۵ درصد کانی سازی قرار گرفته است . در بالای این دو واحد که تقریباً در

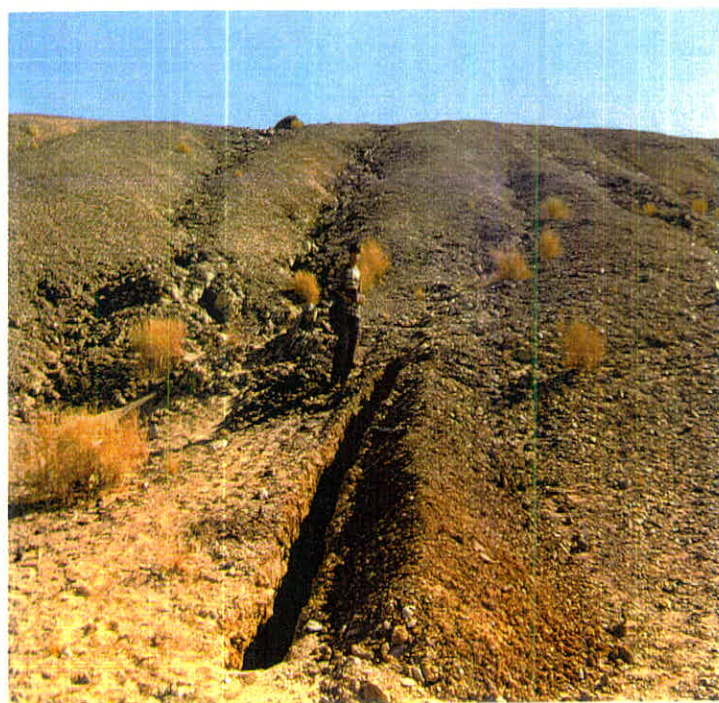
ترانشه های سوم تا پنجم نیز مشاهده شده اند و آهک متامorf قرار می گیرد . شیب

لایه بندی در این قسمت ۲۰-۲۵ درجه به سمت شمال و شیب توپوگرافی ( ۳۰-۴۰ ) که در

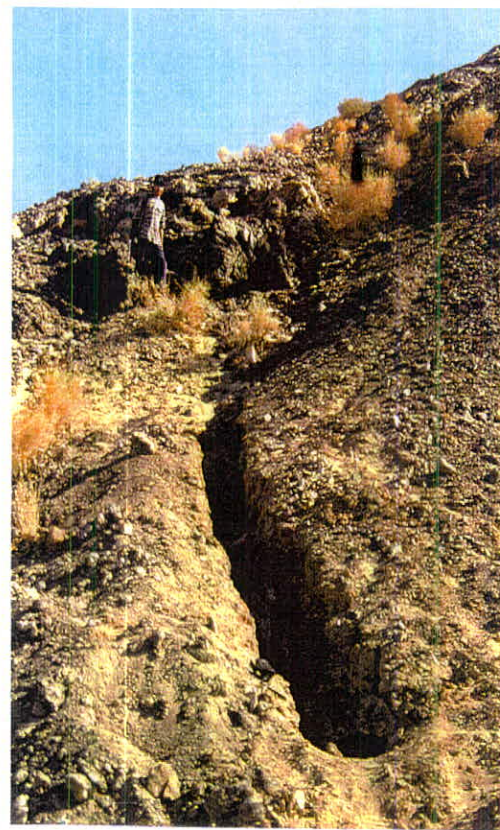
جهت خلاف شیب لایه بُعدی است . ضخامت ظاهری رخمنون لایه کانه دار در سطح زمین



عکس شماره (۵-۳) - نمایی از ترانشه Tr.IIIIn (دید از جنوب غربی به سمت شمال شرقی)



عکس شماره (۶-۳) - نمایی از ترانشه Tr.IVn (دید از جنوب غربی به سمت شمال شرقی)



عکس شماره (۳-۷)- نمایی از ترانشه Tr.Vn ( دید از جنوب به شمال )

۴۰ / متر اندازه گیری شده است. در عکس شماره (۳-۷) نمایی از این ترانشه نشان داده

شده است.

### ب - موقعیت و مشخصات چاهکها

جهت پی بردن به عمق کانی سازی و شناخت هر چه بیشتر واحدهای مختلف

کانه دار در زیر سطح و دسترسی به نمونه های تازه ( Fresh ) و بررسی تغییرات در صد

کانی سازی در عمق ، با هماهنگی کار فرمای تعداد ۳ چاهک و به عمق کل ۲۰ متر در محلهای

مناسب حفاری گردید . برای دسترسی به تمام لایه های قطع شده توسط ترانشه ها و برای

کنترل عوامل مشخصات عمقی کانسار با مشخصات مشاهده شده در ترانشه ها ، سعی شده

است محل چاهکها در بالا دست ترانشه های حفر شده قدیمی انتخاب گردد . لذا از آنجائیکه

متراژ کل حفاری ( حدود ۲۰ متر ) محدود بود و همچنین این مشاور قصد داشت که در کل

گسترش طولی ماده معدنی به حد اکثر عمق ممکن دست سی داشته باشد، تعداد ۳ عدد چاهک

در بالا دست ترانشه های I, III و V قدیمی طراحی گردید و شروع به حفاری شد. این

چاهک ها توسط وسایل دستی از جمله کلنگ، قلم، پتک و بیل دستی کوتاه حفر شده اند.

خاکها و سنگهای مربوط به تفکیک عمق های مربوطه (فواصل ۵/۰ متر) به ترتیب به

صورت تپه سنگها به دور چاهک ها ریخته شده است. پروفیل و لاغ چاهک های حفاری در

پیوست آمده است. این چاهک ها با کدهای T.P.I الى T.P.III مشخص شده است که به

شرح آنها می پردازیم.

#### - چاهک شماره یک (T.P.I)

این چاهک در نزدیکی ترانشه یک از کارهای قدیمی، در بالا دست و در کنتاکت

بالای شیست های کانه دار به عمق ۳/۹ متر حفاری شده است و سنگهای هر قسمت بر

اساس عمق جداگانه در کنار چاهک ریخته شده است. این چاهک تماماً در واحد گارنت

میکاشیست کانه دار حفاری شده است. از متراژهای مختلف در این ترانشه، نمونه هایی

برداشت شده است که برای مطالعات پتروگرافی و آنالیز شیمیایی به آزمایشگاههای مختلف

ارسال شده است. کانی سازی در این چاهک حدود ۱۰ الى ۱۵ درصد می باشد که بلورهای

آن به خوبی رشد کرده و به صورت پراکنده در متن سنگ قرار گرفته اند. سختی این واحد

تفصیلاً "زیاد است و به نظر می رسد که عوامل هوازدگی چندان در عمق اثر نکرده است.

نتایج آنالیز نمونه ها در بخش مربوطه آورده شده است. در عکس (۸-۳) نمایی از چاهک

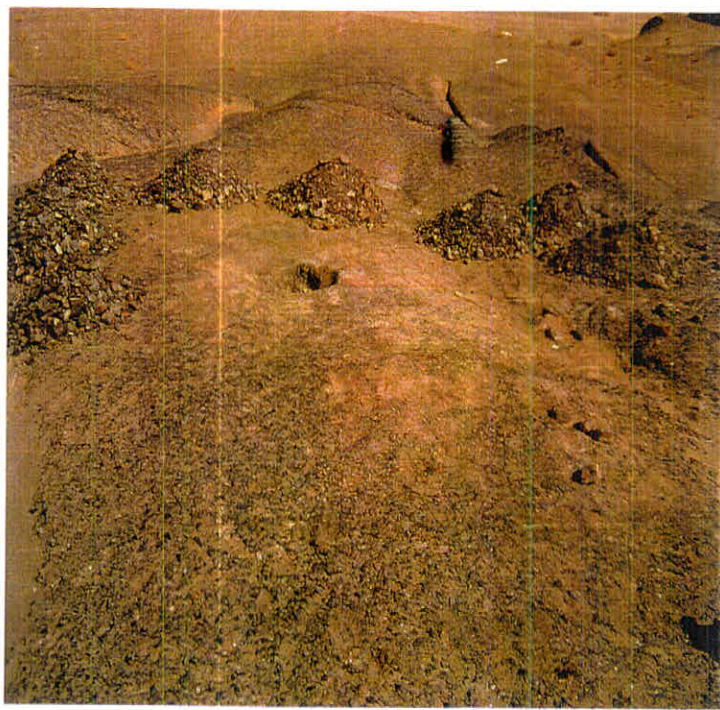
\* آورده شده است. T.P.I

### - چاهک شماره (T.P.II)

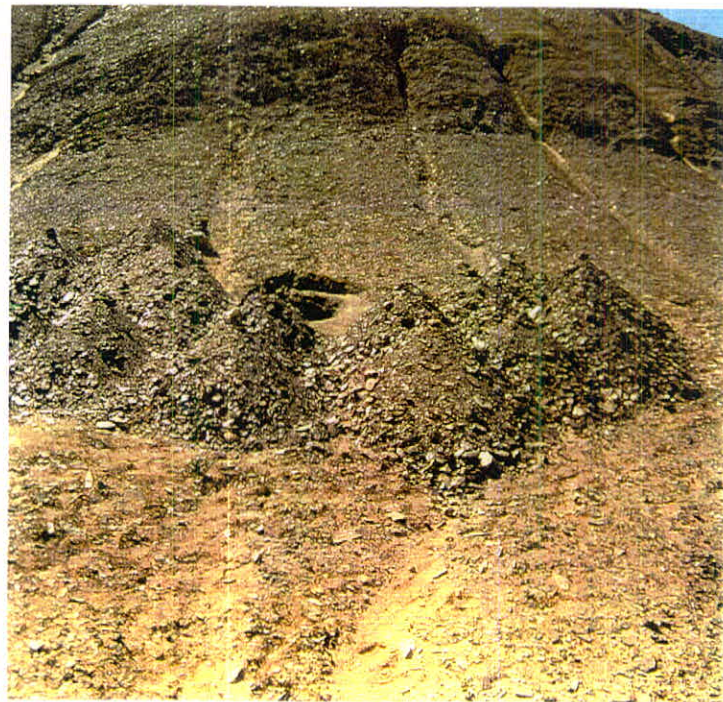
این چاهک در نزدیکی تراشه سوم از کارهای قدیمی و در بالاترین ارتفاع مناسب از نظر حفاری، حفر گردیده است. تغییر لایه در این چاهک به نحوی است که در ابتدا و در بالاترین قسمت، شیست کانه دار قرار گرفته است و در زیر آن، لایه میکا شیست فاقد کانی سازی با میان لایه های نازک سیلیسی تشکیل شده است. این لایه سست و بسیار پولکی است که به رنگ قرمز - قهوه ای دیده می شود. میان لایه های سیلیسی در قسمت مشخصی تشکیل نشده اند و به صورت پراکنده در این لایه وجود دارند. ضمن بررسی دقیق مشخص شده است که در زیر این لایه هیچگونه کانی سازی رخ نداده است. این چاهک تا عمق ۷/۸ متری که اکثر آن را لایه شیست فاقد کانی سازی تشکیل داده، حفاری شده است. نمونه ای از این چاهک جهت مطالعات X.R.D و آنالیز شیمیایی به آزمایشگاه ارسال شده است. که نتایج آن در بخش مربوطه آورده شده است. در عکس (۹-۳) نمایی از این چاهک و سنگها و مواد بیرون آمده از آن دیده می شود. لازم است به این نکته اشاره شود که در بالای دهانه این چاهک، لایه گارنت میکاشیست کانه دار قرار گرفته است که به دلیل شب توبوگرافی، حفاری در آن مشکل بود. لذا ضخامت آن با رخنمون لایه سنگی و کمر بالا و پایین آن مشخص می باشد.

### - چاهک شماره سه (T.P.III)

این چاهک در انتهای شمالی منطقه و در کنار تراشه پنجم از کارهای قدیمی به عمق ۷/۹ متر به صورت قائم حفر شده است. در این چاهک نیز در اعمق کم واحد گارنت میکاشیست کانه دار وجود دارد (تا عمق ۳۰ سانتی متر) و در زیر آن واحد میکا است.



عکس شماره (۸-۳)- نمایی از چاهک T.P.I حفر شده در لایه گارنت شیست



عکس شماره (۹-۳)- نمایی از چاهک T.P.II حفر شده در لایه میکاشیست

قرمز- قهوه ای بولکی با میان لایه های سیلیسی قرار گرفته است . در متراز ۴/۵-۴ تا

حدودی ضخامت میان لایه های سیلیسی افزایش یافته و در حدود ۲۰-۱۰ سانتی متر شده

است ، از عمقهای مختلف این چاهک نمونه هایی برداشت شده است که برای مطالعات

پتروگرافی X.R.D و آنالیز شیمیایی به آزمایشگاه ارسال شده اند و نتایج آنها در بخش

مربوطه آورده شده است . در عکس (۳-۱۰) نمایی از چاهک T.P.III نشان داده شده است .



عکس شماره ( ۱۰-۳ ) - نمایی از چاهک T.P.III حفر شده در لایه میکاشیست

### ۲-۳-۳ - نمونه برداری

هنگامی که انجام شرح خدمات مندرج در قرارداد وارد مرحله دوم گردید، در چندین

نوبت نمونه برداری صورت گرفت. به علت تعداد محدود تعداد نمونه ها، سعی شده است

نمونه برداری سطحی کمتر و نمونه ها بیشتر از داخل چاهک های اکتشافی برداشت گردد.

اهداف اصلی این نمونه برداری، شناسایی ماده معدنی گروه سیلیمانیت بر اساس آزمایش

X.R.D و همچنین مشخص کردن درصد عناصر مختلف موجود در نمونه های برداشت

شده بود. در این مرحله جهت مقایسه دقیق نمونه ها، سعی شده است از نمونه های برداشت

شده برای هر سه نوع آزمایش شیمیایی ده اکسیدی، X.R.D و تهیه و مطالعه تیغه نازک

ارسال گردد تا نتایج اخذ شده از هر یک از این مطالعات، تاییدی بر نوع آزمایشات و مطالعات

دیگر شود. ولی به علت کمبود تعداد نمونه ها و هزینه آزمایشات، در بعضی موارد از جمله

برداشت نمونه های سطحی به دلیل مطمئن بودن از وضعیت سنگها از آزمایش X.R.D و

شیمیایی صرف نظر شده و فقط برای مطالعات تیغه نازک به آزمایشگاه ارسال شده اند و یا در

مواردی یکی از این مطالعات از نمونه های داخل چاهک های اکتشافی حذف شده است. روش

نمونه برداری در داخل چاهک و رخمنوهای سطحی به صورت لب پری بوده و از هر نقطه از

واحد نمونه برداری در داخل چاهک و رخمنوهای سطحی به صورت لب ۲ کیلوگرم برداشت شده

و نصف این مقدار به صورت شاهد در محل نگهداری نمونه ها در دفتر مهندس مشاور

محفوظ باقی مانده است.

## الف - نمونه برداری نوبت اول از مرحله دوم

در نوبت اول از مرحله دوم تعداد ۸ نمونه از عملیات صحرایی برداشت گردیده است.

در جدول شماره (۴-۳) کد این نمونه ها ، موقعیت آنها و نوع آزمایشات انجام گرفته بر روی آن نشان داده شده است.

جدول شماره (۴-۳)- لیست نمونه های برداشت شده نوبت اول از مرحله دوم و آزمایشات

### انجام گرفته بر روی آنها

کد نمونه	موقعیت نمونه	X.R.D	شیمیابی	تیغه نازک
Y-A2-6	رخمنون سطحی	x	x	x
Y-A2-7	رخمنون سطحی	x	x	x
Y-A2-8	T.P.I	x	x	x
Y-A2-9	T.P.II	x	x	x
Y-A2-10	T.P.III	x	x	x
Y-A2-11	رخمنون سطحی	-	-	x
Y-A2-12	رخمنون سطحی	-	-	x
Y-A2-13	رخمنون سطحی	x	x	x

از تعداد ۸ نمونه برداشت شده بر اساس فهرست جدول شماره (۴-۳) تعداد ۶ عدد برای

آزمایش ده اکسیدی ارسال گردید که نتایج آن طبق جدول شماره (۵-۳) می باشد.

همان نمونه هایی که برای تعیین ده اکسید اصلی به آزمایشگاه ارسال شده بودند،

جهت تعیین کانی های موجود برای آزمایشگاه X.R.D به آزمایشگاه نیز ارسال گردید که

نتایج آن در جدول شماره (۶-۳) آمده است .

### جدول شماره (۵-۳)- نتایج آنالیز شیمیایی نمونه ها نوبت اول از مرحله دوم

کد صریعی	کد آزمایشگاه	Al <sub>2</sub> O <sub>3</sub> (%)	SiO <sub>2</sub> (%)	CaO (%)	TiO <sub>2</sub> (%)	Fe <sub>2</sub> O <sub>3</sub> (%)	MnO (%)	K <sub>2</sub> O (%)	Na <sub>2</sub> O (%)	MgO (%)	L.I.O (%)
Y-A2-6	1352	۱۷/۰	۷۳/۲	۰/۶۰	۰/۲۷	۲/۸۱	۰/۰۳	۲/۲۴	۲/۲۲	۰/۱۴	۱/۹۴
Y-A2-7	1352	۲۱/۰	۶۰/۵	۲/۰۰	۰/۸۱	۶/۵۷	۰/۰۴	۴/۲۷	۰/۷۵	۰/۴۵	۲/۲۶
Y-A2-8	1353	۱۷/۶	۶۴/۶	۰/۸۲	۰/۷۴	۶/۵۲	۰/۰۸	۲/۸۰	۱/۸۴	۰/۱۱	۴/۰۶
Y-A2-9	1354	۱۹/۰	۶۱/۵	۲/۰۰	۰/۸۰	۶/۸۱	۰/۰۲	۲/۲۱	۱/۲۳	۰/۴۸	۴/۲۲
Y-A2-10	1355	۱۷/۴	۶۷/۴	۱/۲۹	۰/۸۵	۲/۷۶	۰/۰۲	۴/۱۴	۱/۲۵	۰/۱۸	۴/۲۳
Y-A2-13	1356	۱۹/۴	۶۰/۵	۲/۴۸	۰/۸۷	۲/۹۹	۰/۰۷	۲/۴۶	۱/۲۸	۰/۴۷	۴/۲۸

### جدول شماره (۶-۳)- نتایج سری اول از مرحله دوم

کد نمونه	نتایج مطالعات X.R.D
Y-A2-6	Quartz, Albite, Sericite, Orthoclase, Chlorite, Pyrophyllite
Y-A2-7	Quartz , Sericite, Sillimanite, Albite
Y-A2-8	Quartz , Sericite, Albite, Goetite
Y-A2-9	Quartz , Sericite, Chlorite, Albite, Kaolinite
Y-A2-10	Quartz , Albite, Sericite, Calcite, Gypsum
Y-A2-13	Quartz , Sericite, Sillimanite, Mixlayer clay, Chlorite

بر اساس جدول شماره (۴-۳) از تعداد ۸ نمونه برداشت شده در نوبت اول از مرحله

دوم قرارداد تعداد ۸ عدد از آنها برای تهییه و مطالعه تیغه نازک به آزمایشگاه ارسال گردید که

نتایج آن به ترتیب در زیر آمده است

### - نمونه شماره Y-A2-6 -

نام سنگ : شیست

بافت سنگ : آفانتیک دارای فولیاسیون پرفیروپلاستیک

کانیهای تشکیل دهنده : کوارتز ، فلدسپانها ، بیوتیت ، کانیهای گروه اپیدوت ، آندالوزیت ،

مسکویت و کانیهای تیتانیوم.

کانیهای روشن شامل کوارتز و فلدسپانها حداقل ۸۰ درصد نمونه را تشکیل داده است .

فلدسپانها بعضاً به صورت چشمی در زمینه ای با بافت شبه فلزی دیده می شود.

بیوتیت و ندرتاً "مسکویت به مقدار مجموعاً" ۱۰ درصد نوارهای نازکی را در جهت فولیاسیون

ایجاد کرده است . همراه با قطعات مذکور کانیهای گروه اپیدوت و ندرتاً آندالوزیت مشاهده

می شود. مقدار آندالوزیت در حد کمتر از ۵ درصد است. در عکس شماره (۳-۱۱) بخشی از

قطع میکروسکوپی این سنگ نشان داده شده است.

### - نمونه شماره Y-A2-7 -

نام سنگ : سیلیمانیت گارنت شیست

بافت سنگ : آفانتیک دارای فولیاسیون پرفیروپلاستیک

پرفیروپلاستیک ها قطعات شکل دار گارنت ، فلدسپانها و احتمالاً "کردیوریت می باشند. مقدار

گارنت در حد حداکثر ۲۰ درصد است. قطعات این کانی دارای شکستگی های متعدد

می باشد. زمینه آفانتیک از کانیهای روشن و تیره تشکیل شده است . در بخش روشن که

باندهایی را ایجاد کرده ، کوارتز و فلدسپانها حضور دارند و در نوارهای متباوب دیگر بیوتیت ،

مسکویت ، سیلیمانیت حضور دارند. که جهت یافتنی مشخصی را نشان می دهد . مقدار

سیلیمانیت نیز در حد ۱۰ درصد است. آندالوزیت در چند مورد به صورت قطعات کوچک و به مقدار حدود ۵ درصد دیده می شود. در عکس شماره (۱۲-۳) بخشی از مقطع میکروسکوپی این نمونه نشان داده شده است.

#### - نمونه شماره Y-A2-8 -

نام سنگ : آندالوزیت شیست

بافت سنگ : آفانتیک دارای فولیاسیون پرفیروبلاستیک

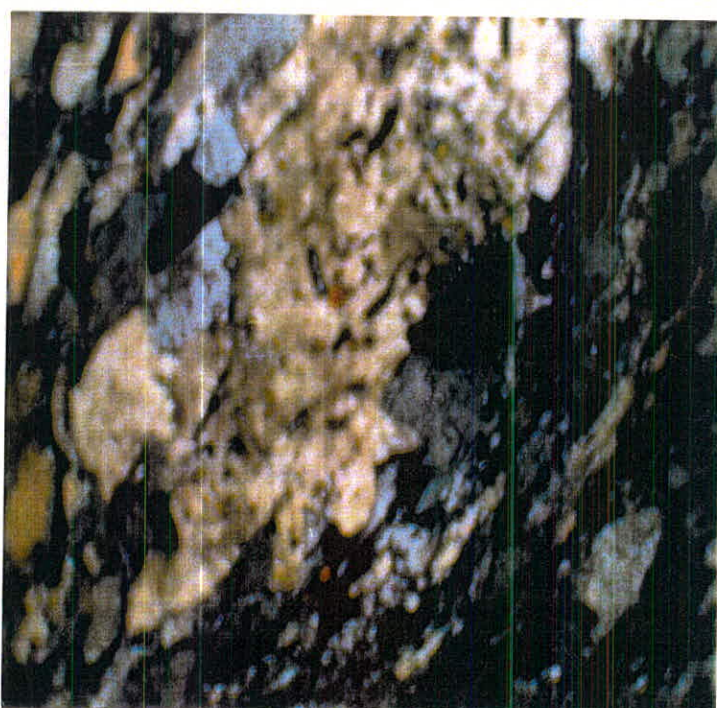
پرفیروblast ها آندالوزیت بوده و در زمینه آفانتیک با نوارهای متناوب قرار گرفته است.

نوارها متشکل از کوارتز و فلدسپاتها هستند که نوارهای حاوی فیلوسیلیکات و کانیهای کدر در

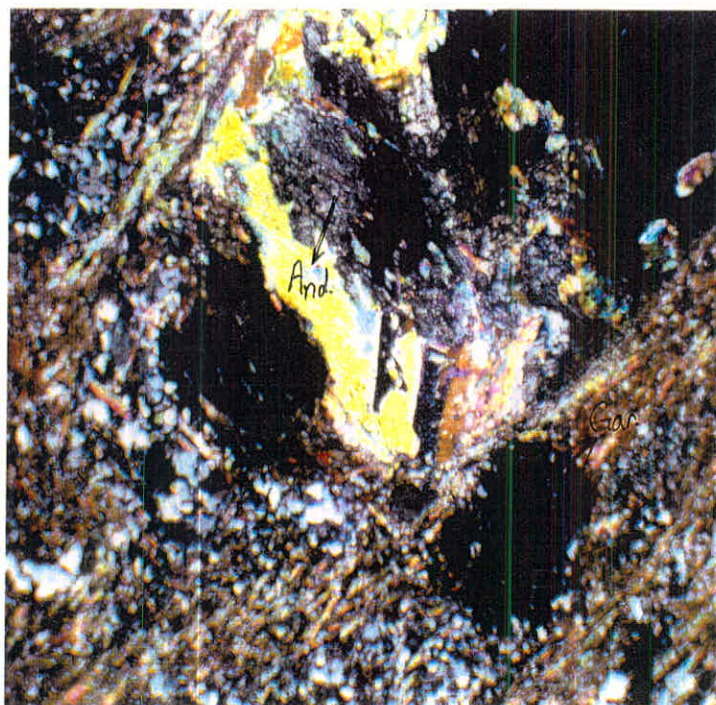
مجاورت آن واقع شده است. فیلوسیلیکاتها شامل مسکمیت و کمتر بیوتیت است. تورمالین

ندرتا" دیده می شود . مقدار آندالوزیت سنگ با توجه به درصد گیری در زیر میکروسکوپ در

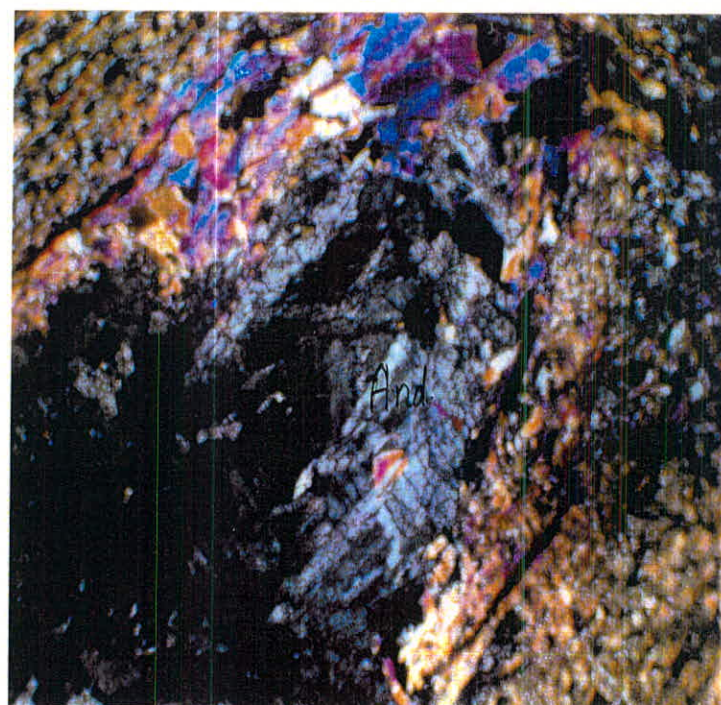
حدود ۱۲ درصد است. عکس شماره (۱۳-۳) بخشی از مقطع این سنگ را نشان می دهد.



عکس شماره (۱۱-۳)-مقطع میکروسکوپی نمونه Y-A2-6 در نور پلاریزه با بزرگنمایی ×۳۳



عکس شماره ( ۱۲-۳ ) - مقطع میکروسکوپی نمونه Y-A2-7 در نور پلاریزه با بزرگنمایی  $\times ۳۳$



عکس شماره ( ۱۳-۳ ) - مقطع میکروسکوپی نمونه Y-A2-8 در نور پلاریزه با بزرگنمایی  $\times ۳۳$

- نمونه شماره ۹-Y-A2-

نام سنگ : گارنت میکا شیست

بافت سنگ : فانریتیک دارای فولیاسیون شیستوز

تشکیل دهنده ها : کوارتز، فلدسپاتها، میکاها و گارنت

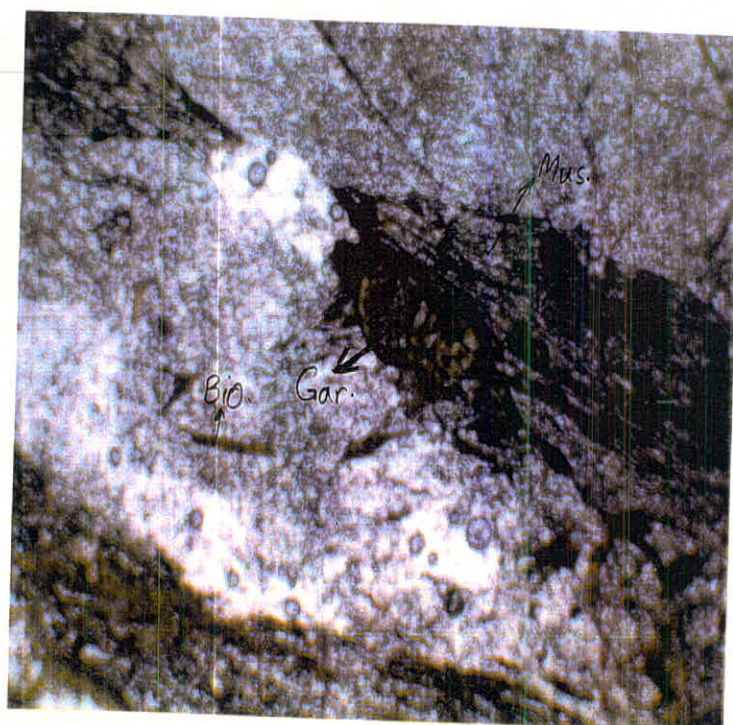
کوارتز و فلدسپاتها به صورت نواهای باریک در تناب و با نواهای پرمیکا واقع شده اند . در

بخش پرمیکا ، مسکویت کانی غالب است.

گارنت به صورت تک بلورهای شکل دار کوچک با بافت غربالی در زمینه میکاها واقع شده

است. مقدار گارنت حداقل ۵ درصد است. عکس شماره (۳-۱۴) بخشی از مقطع

میکروسکوپی این سنگ را نشان می دهد.



عکس شماره (۳-۱۴)- مقطع میکروسکوپی نمونه ۹-Y-A2-در نور عادی با بزرگنمایی ×۳۳

Y-A2-10 نمونه شما، ۵

نام سنگ : میکا شست

یافت سنگ : آفانتیک دارای فولیاسیون

تشکیل دهنده ها : کوارتز ، فلدسیاتها ، فیلوسیلیکاتها ، گانز

در زمینه تناوبی از نوارهای روشن و نوارهای با رنگ تیره وجود دارد. نوارهای روشن متشکل

از کوارتز و فلدسپات می باشند که حدود ۷۰ درصد نمونه را تشکیل داده است و نوارهای

روشن فیلو سیلیکاتها عمدتاً "از مسکویت تشکیل گردیده است. ندرتاً" قطعات شکل دار

گارنت در مجموعه حضور دارند. عکس شماره (۱۵-۳) بخشی از مقطع میکروسکوپی این

سنگ رانشان می دهد.

- نمونه شماره Y-A2-11

نام سنگ: شیست، گنیس

بابت سنگ : فائز تیک دارای فولیاسیون پر فیروپلاستیک ( چشمی )

تشکیل دهنده ها : کوارتز ، فلدسپاتها ، مسکویت ، بیوتیت ، گارنت ، کلسیت و کانیهای

تیتانیوم . پریوپلاست ها از نوع فلسفاتها عمدتاً "قلایی و کمر پلازیوکلاز بوده، بعضاً

بافت میرمکیت در قطعات آن دیده می شود . کانیهای مذکور همراه با قطعات کوارتز در

نوارهایی توجیه شده، مشاهده می‌شوند. در تناوب با نوارهای مذکور مسکویت و بیوتیت دیده

می شود ، مقدار میکاهای در حد ۱۰ درصد است . گارنت ندرتاً "به صورت ایدیومorf دیده

می شود. کانیهای تیتانیوم (روتیل یا اسفن) نیز به مقدار جزئی وجود دارد. کلسیت ناشی از

دگرسانی بوده ، ندرتاً " در فضای شکستگی ها تشکیل شده است . عکس شماره (۱۶-۳)

بخشی از میکروسکوپی نمونه Y-A2-11 را نشان می دهد .

#### - نمونه شماره Y-A2-12 -

نام سنگ : آمفیولیت ( هورنبلند شیست )

بافت سنگ : آفانتیک دارای فولیاسیون

تشکیل دهنده ها : آمفیول ها ، کوارتز ، فلدسپاتها ، کانیهای گروه اپیدوت ، بیوتیت و

کانیهای تیتانیوم .

حدود ۷۰ درصد نمونه را کانیهای گروه آمفیول ( احتمالاً " هورنبلند ) تشکیل داده

است . حدود حداقل ۱۵ درصد نمونه را کانیهای کوارتز ، فلدسپات تشکیل می دهد . تقریباً " ۱۰

درصد نمونه را کانیهای گروه اپیدوت و زوئیزیت تشکیل داده است . بیوتیت به مقدار کمتر

از ۵ درصد و کانیهای تیتانیوم دار به صورت فرعی می باشد . عکس شماره ( ۱۷-۳ ) بخشی

از مقطع میکروسکوپی نمونه را نشان می دهد .

#### - نمونه شماره Y-A2-13 -

نام سنگ : آندالوژیت شیست

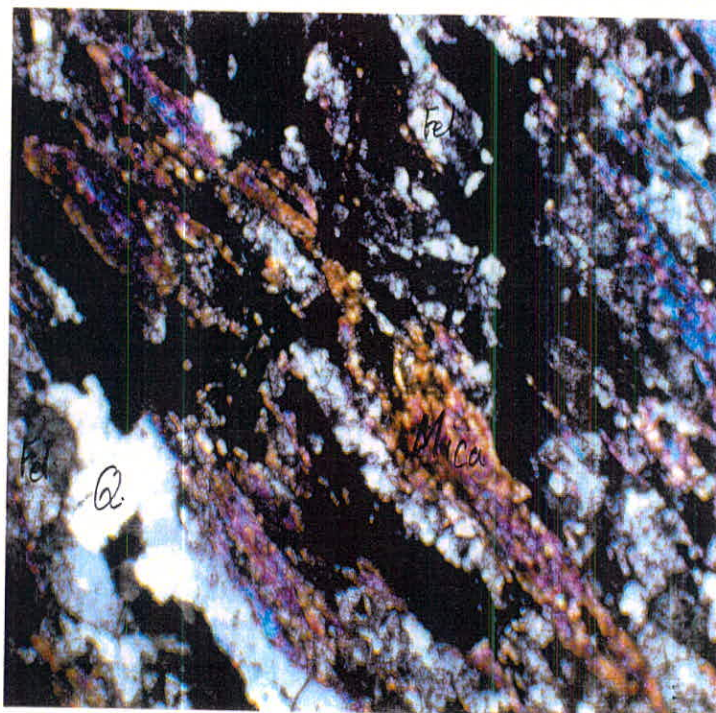
بافت سنگ : پرفیروپلاستیک در زمینه آفانتیک دارای فولیاسیون

تشکیل دهنده ها : آندالوژیت ، بیوتیت ، کوارتز ، فلدسپاتها ، کانیهای کدر ، هماتیت و گوتیت .

آندالوژیت که به صورت تک بلورهای درشت مشاهده می شود . به مقدار حداقل ۱۵ درصد

وجود دارد . در بعضی قطعات ، ادخالهای سیلیمانیت با مسکویت و بیوتیت دیده می شود .

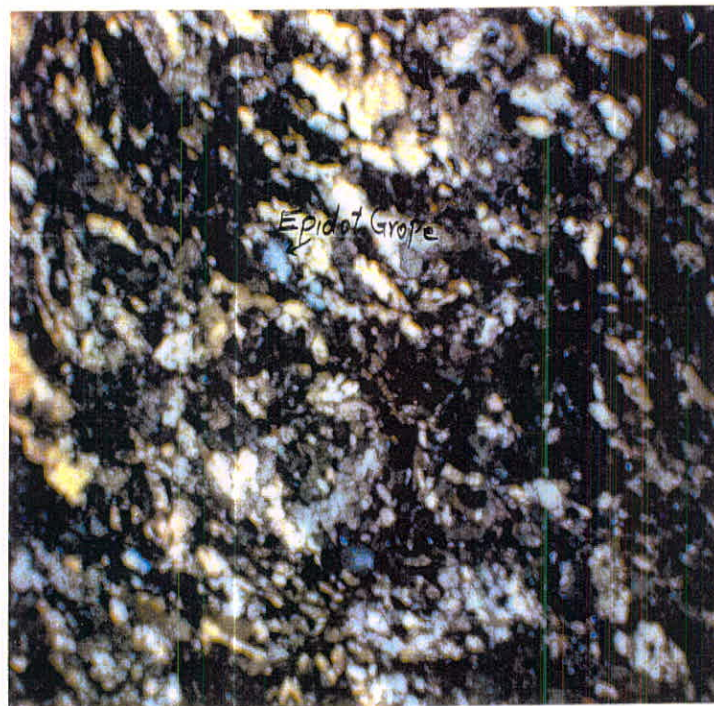
زمینه آفانتیک متشکل از کوارتز ، فلدسپات و فیلوسیلیکاتها عمده است .



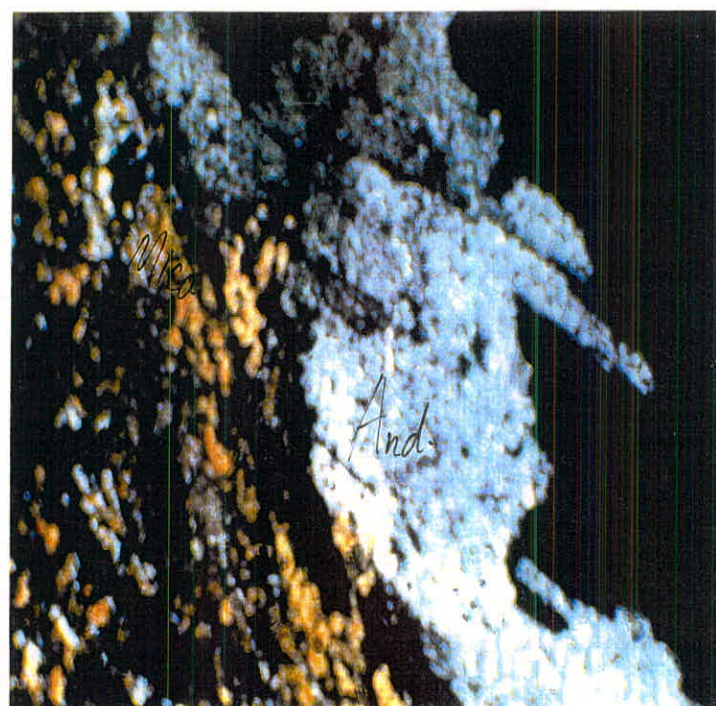
عکس شماره (۱۵ - ۳) - مقطع میکروسکوپی نمونه A2-10-Y در نور پلاریزه با بزرگنمایی  $\times 33$



عکس شماره (۱۶ - ۳) - مقطع میکروسکوپی نمونه A2-11-Y در نور پلاریزه با بزرگنمایی  $\times 33$



عکس شماره (۱۷-۳) - مقطع میکروسکوپی نمونه ۱۲-Y-A2 در نور پلاریزه با بزرگنمایی  $\times ۸۵$



عکس شماره (۱۸-۳) - مقطع میکروسکوپی نمونه ۱۲-Y-A2 در نور پلاریزه با بزرگنمایی  $\times ۸۵$

## ب - نمونه برداری در نوبت دوم از مرحله دوم

بعد از اتمام عملیات صحرایی (حفاری چاهک و ترانشه) جهت کنترل کارهای انجام شده و ادامه تهیه نقشه زمین شناسی، نمونه برداریهای عمقی به تعداد ۱۲ نمونه از محل چاهک ها و ترانشه های حفاری شده، برداشت گردید که لیست آن به شرح جدول شماره (۷-۳) می باشد.

جدول شماره (۷-۳) - لیست نمونه های برداشت شده نوبت دوم از مرحله دوم

کد نمونه	موقعیت نمونه	X.R.D	شیمیابی	تیغه نازک
Y2-A2-14	T.P.I متراژ ۱-۲	-	-	-
Y2-A2-15	T.P.I متراژ ۲-۳	-	x	x
Y2-A2-16	T.P.II متراژ ۵-۵/۵	x	x	-
Y2-A2-17	T.P.III متراژ ۲/۵-۳	-	-	x
Y2-A2-18	T.P.III متراژ ۵-۵/۵	x	x	-
Y2-A2-19	توده های گنیسی	-	-	x
Y2-A2-20	ترانشه سوم جدید	x	-	-
Y2-A2-21	ترانشه چهارم جدید	-	x	x
Y2-A2-22	متراژ آخر چاهک شماره ۱	x	x	-
Y2-A2-23	بروفیل ۱ در مرکز منطقه	-	-	x
Y2-A2-24	ترانشه دوم جدید	x	x	-
Y2-A2-25	نمونه های شبه آهک	-	-	x

از تعداد ۱۲ نمونه برداشت شده بر اساس شرح خدمات و تعداد نمونه های در نظر

گرفته شده برای انجام آزمایش شیمیابی، تعداد ۶ عدد برای آزمایش ده اکسیدی به

آزمایشگاه پژوهشگران شیمی فرستاده شد که نتایج آن به شرح جدول شماره (۸-۳)

جدول شماره (۸-۳)- نتایج آنالیز شیمیایی نمونه های نوبت دوم از مرحله دوم

کد صریعی	کد آزمایشگاه	Al <sub>2</sub> O <sub>3</sub> (%)	SiO <sub>2</sub> (%)	CaO (%)	TiO <sub>2</sub> (%)	Fe <sub>2</sub> O <sub>3</sub> (%)	MnO (%)	K <sub>2</sub> O (%)	Na <sub>2</sub> O (%)	MgO (%)	L.I.O (%)
Y-A2-15	1456	۱۷/۷	۶۹/۱	۷/۰۱	۰/۹۱	۷/۰۲	۰/۱۵	۲/۹۵	۱/۵۷	۰/۲۲	۲/۱۷
Y-A2-16	1457	۱۷/۱	۶۹/۰	۰/۰۲۰	۰/۰۷	۶/۲۵	۰/۱۴	۲/۶۵	۱/۵۲	۰/۲۸	۴/۲۴
Y-A2-18	1458	۱۷/۹	۶۹/۵	۰/۰۸۵	۰/۰۷۲	۶/۲۲	۰/۱۳	۲/۹۷	۱/۷۲	۰/۵۴	۴/۲۲
Y-A2-21	1459	۱۷.	۶۹/۷	۰/۰۷۵	۰/۰۸۲	۵/۹۰	۰/۱۵	۲/۹۹	۱/۲۰	۰/۴۹	۲/۲۲
Y-A2-22	1460	۱۷/۲	۶۹/۵	۰/۰۸۵	۰/۰۷۵	۶/۰۸	۰/۱۱	۲/۳۴	۱/۷۴	۰/۵۳	۲/۱۶
Y-A2-24	1461	۱۷/۵	۶۸/۰	۰/۰۸۰	۰/۰۷۲	۵/۴۸	۰/۱۰	۲/۳۳	۱/۸۱	۰/۵۳	۲/۵۲

برای بررسی دقیق و اخذ نتایج با ضریب اطمینان بالا سعی شده است همان نمونه های

فراستاده شده برای آزمایش شیمیایی ، برای X.R.D و مطالعه تیغه نازک نیز ارسال گردد ولی

عملاً به دلیل کم بودن تعداد نمونه های در نظر گرفته شده در شرح خدمات ، این مشاور

سعی کرده است تا از کمترین نمونه ها بهترین استفاده را کرده باشد لذا از انجام سه نوع یا دو

نوع آزمایش بر روی یک نمونه خودداری کرده ، تا نمونه های بیشتری تحت مطالعه قرار

گیرند. در جدول شماره (۹-۳) نتایج آزمایش X.R.D بر روی نمونه های نوبت دوم از مرحله دوم

دوم و در ادامه مطالعات انجام گرفته بر روی تیغه نازک آورده شده است.

جدول شماره (۹-۳)- نتایج آزمایش X.R.D نمونه های نوبت دوم از مرحله دوم

کد نمونه	نتایج مطالعات X.R.D
Y-A2-15	Sericite , Quartz, Albite , Chlorite
Y-A2-16	Sericite , Quartz , Chlorite, Albite , Paragonite
Y-A2-18	Sericite , Quartz , Albite , Chlorite
Y-A2-20	Sericite , Quartz , Albite , Sillimanite
Y-A2-22	Quartz , Sericite, Albite , Chlorite
Y-A2-24	Sericite , Quartz , Albite , Chlorite

در نوبت دوم تعداد ۶ عدد نمونه سنگی برای مطالعه تیغه نازک به آزمایشگاه فرستاده

شده است که نتایج آن نیز در زیر آمده است. بر اساس شرح خدمات در نظر گرفته، از

آنچاییکه تعداد نمونه های برداشت شده از مرحله اول بسیار خرد شده و مناسب جهت تهیه

تیغه نازک نبوده است، لذا سعی شده است در مرحله دوم جمعاً "تعداد ۱۴ نمونه (علاوه بر

۱۰ نمونه در نظر گرفته شده در شرح خدمات) برای تهیه و مطالعه تیغه نازک به آزمایشگاه

ارسال گردد.

#### - نمونه شماره Y-A2-15 -

نام سنگ : گرونا میکاشیست یا گرونا فیلیت

بافت سنگ : آفانتیک دارای فولیاسیون اسلیتی حاوی پرفیروبلاست های پراکنده

کانیهای تشکیل دهنده : کوارتز ، فلدوپات ، مسکویت ، گارنت و تورمالین

کانی خاص دگرگونی در این مقطع شامل گارنت است که بلورهای نیمه شکل دار تا

شکل دار هم اندازه و پراکنده ایجاد کرده است . مقدار گارنت از ۱۰ درصد تجاوز نمی کند .

ندرتاً قطعات سبز رنگ نیز وجود دارد که مشکوک به کلریتوئید است . زمینه آفانتیک دارای

جهت یافتنگی مشخص بوده و نوارهای پرمیکا متاورا " با نوارهای فلدوپات کوارتز دیده

می شود . میکاها شامل مسکویت و بیوتیت و نوارهای کانیهای فلسفیک عمدتاً" متشکل از

کوارتز و کمتر فلدوپاتها با ترکیب پلاژیوکلاز می باشد . لازم به ذکر است که کانیهای گروه

سیلیمانیت در این مقطع مشاهده نمی شود . کانیهای فرعی منحصر به موارد اندک از قطعات

ریز تورمالین است . در عکس ( ۱۹-۳ ) قسمتی از مقطع میکروسکوپی این نمونه آورده شده

است .

### - نمونه شماره Y-A2-17 -

نام سنگ : گارنت میکا شیست

بافت : پرفیرو بلاستیک

زمینه : دارای فولیاسیون تقریباً "مشخص

فابریک این سنگ شیستوز ( متورق ) است و کانیهای تشکیل دهنده اصلی کوارتز و

فلدسبات بوده که حداقل ۷۰ درصد نمونه را تشکیل داده است . دگرسانی کانیهای مزبور

نوارهای مشخصی را نشان می دهد. در تناوب با نوارهای مذکور ، مسکویت و کمتر بیوتیت

همراه با کانیهای کدر نوارهای متفاوتی را ایجاد کرده اند. در زمینه مذکور قطعات نیمه شکل

دار تابی شکل دیده می شود که مشتمل بر کانیهای کلریت ، کوارتز ، اکسید و

ئیدروکسیدهای آهن می باشند. این موضوع به دو صورت قابل تفسیر می باشند:

۱- دگرسانی قطعات گارنت ( دگرگونی قهقرایی )

۲- تشکیل نطفه های جدید ( پرفیرو بلاستیک ) در جهت تشکیل گارنت

در عکس شماره ( ۲۰ - ۳ ) بخشی از این تینه نشان داده شده است.

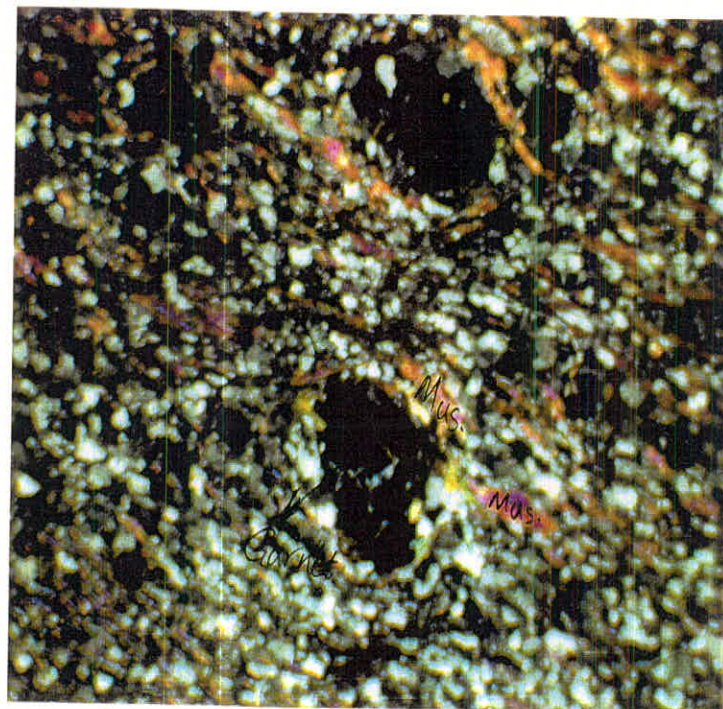
### - نمونه شماره Y-A2-19 -

نام سنگ : گنیس

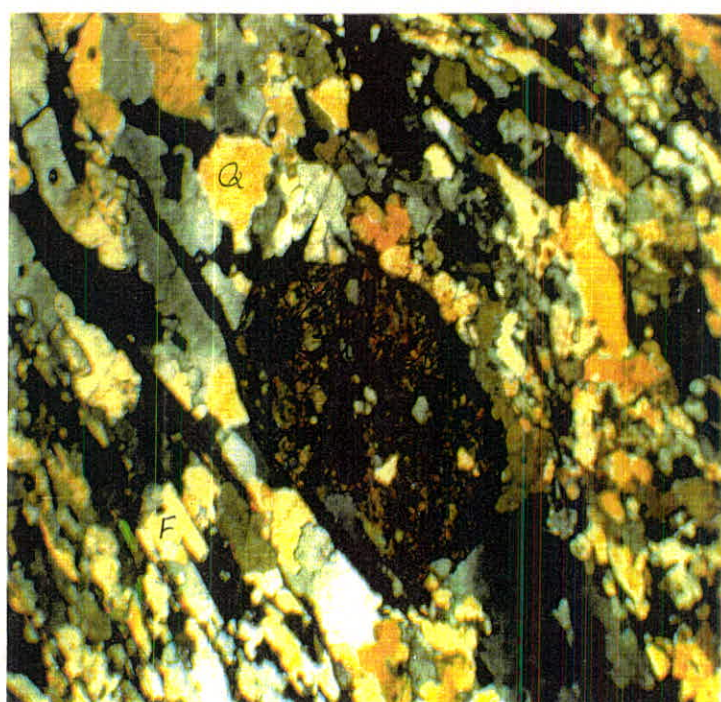
بافت : پرفیرو بلاستیک

زمینه این سنگ فولیاسیون تقریباً "مشخصی را دارد . تشکیل دهنده های عمدۀ آن شامل

فلدسباتها و کوارتز است . فلدسباتها بیشتر نوع آکالان است و نسبت به قطعات کوارتز دارای



عکس شماره (۱۹-۳)-قطع میکروسکوپی نمونه شماره ۱۵-A2-Y در نور پلاسیزه با بزرگنمایی  $\times ۳۳$



عکس شماره (۲۰-۳)-قطع میکروسکوپی نمونه ۱۷-A2-Y در نور پلاسیزه با بزرگنمایی  $\times ۳۳$

اندازه های بزرگ می باشند . کانیهای مذکور جهت یافتنگی خاصی از خود نشان می دهد و

"متناوبا" با نوارهای متشکل از بیوتیت همراه با کانیهای گروه زوئیزیت دیده می شود .

کانیهای دگرسانی عموماً شامل سریسیت و کلسیت بوده ، که سریسیت مربوط به

فلدسپاتها (عمدتاً پلازیوکلاز) است و کلسیت در فضای شکستگیها و تاخیری است . وجود

کلریت در این سنگ منتفی نیست . در عکس شماره (۲۱-۳) قسمتی از این تیفه نشان داده

شده است .

#### - نمونه شماره Y-A2-21

نام سنگ : فیلیت

بافت سنگ : پروفیربلاستیک

زمینه این سنگ آفانتیک و دارای فولیاسیون است .

پروفیربلاست ها کانیهای دگرگونی بوده و قطعات کوچکتر ، گارت با بافت

کاتاکلاستیک و خرد شده به صورت بلورهای هم اندازه است . تک بلورهای درشت تر چند

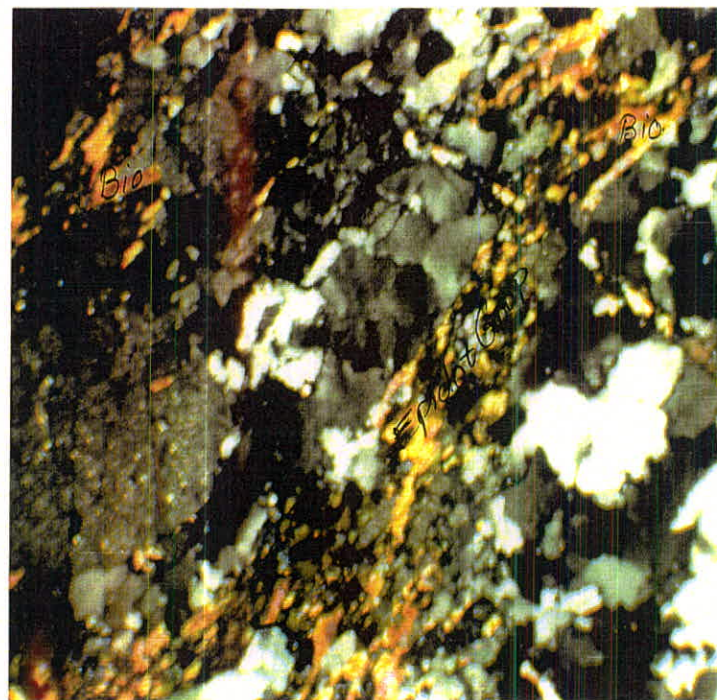
کانی ای بوده ( مجموعه در هم ) و متشکل از مسکویت ، سیلیمانیت و کیانیت می باشد .

ندرتاً قطعات مشکوک به کریدیریت نیز مشاهده می شود . زمینه این نمونه حاوی کوارتز ،

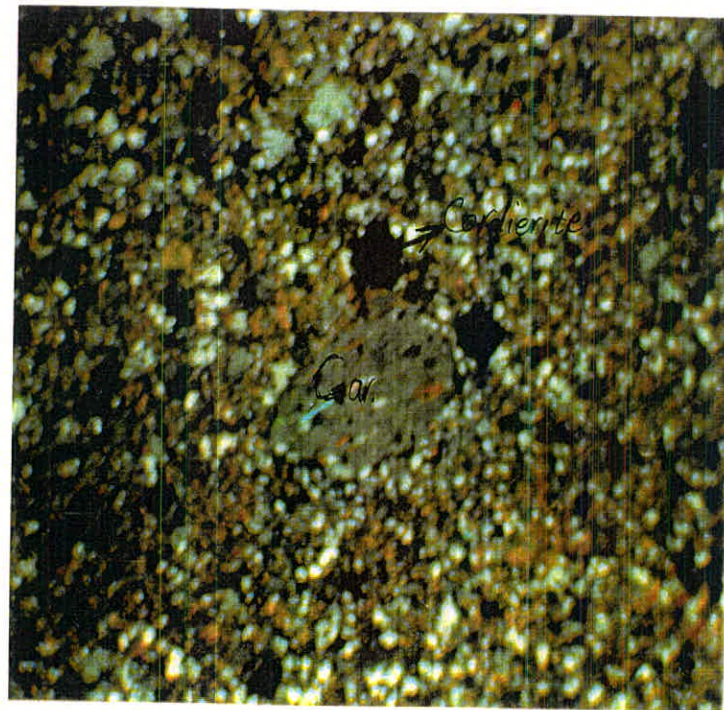
فلدسپاتها (آلکان و به مقدار بیشتر پلازیوکلاز) و از فیلوسیلیکات بیوتیت است . کانی

فرعی تشکیل دهنده این سنگ قطعات کدر و تورمالین می باشد . در عکس شماره (۲۲-۳)

قسمتی از مقطع این سنگ نشان داده شده است .



عکس شماره (۲۱-۳)-قطع میکروسکوپی نمونه A2-19-Y در نور پلاریزه با بزرگنمایی  $\times ۳۳$



عکس شماره (۲۲-۳)-قطع میکروسکوپی نمونه شماره A2-21-Y در نور پلاریزه با بزرگنمایی  $\times ۳۳$

## - نمونه شماره Y-A2-23 -

نام سنگ : گرونا میکاشیست

بافت سنگ : پرفیروپلاستیک ، زمینه دارای فولیاسیون مشخص با فابریک شیستوز ، گارت

کانی شاخص دگرگونی در نمونه به صورت تک بلورهای شکل دار پراکنده با اندازه های

مشابه بوده که شکستگی های متعدد در آن دیده می شود . در زمینه این سنگ تناوبی از

نوارهای روشن و تیره وجود دارد . نوارهای روشن مجموعه های موزائیکی کوارتز و فلدوپاتها

(بافت گرونوپلاستیک) و نوارهای تیره متشکل از مسکویت ، بیوتیت و کانیهای کدر

می باشند. در عکس شماره (۲۳-۳) بخشی از مقطع این سنگ نشان داده شده است.

## - نمونه شماره Y-A2-25 -

نام سنگ : گنیس

بافت سنگ : فائزتیک دارای فولیاسیون

تشکیل دهنده ها : فلدوپاتها (آلکالن و پلازیوکلازها) ، کوارتز ، فیلوسیلیکاتها ، کربنات ها ،

کانیهای رسی ، کانیهای کدر

کانیهای کوارتز و فلدوپات به صورت متناوب در جهت فولیاسیون مشاهده شده ،

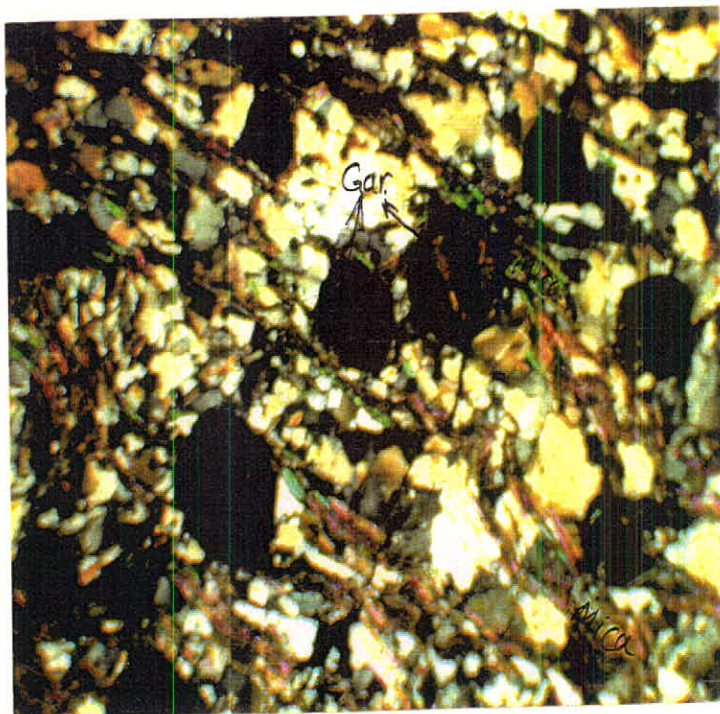
گاهی فلدوپاتها به صورت پرفیروپلاست مشاهده می شوند . کربناتها (سیدریت یا انکریت)

در فضای شکستگی ها به مقدار کمتر از ۱۰ درصد وجود دارد . کانیهای کدر در همراهی با

قطعات مذکور می باشد . فلدوپاتها و مخصوصاً "آلکالن دچار دگرسانی شده و به کائولینیت و

سریهیت تبدیل شده اند. سدت دگرسانی کمتر از ۲۰ درصد است . در عکس شماره (۲۴-۳)

بخشی از این مقطع نشان داده شده است .



عکس شماره (۲۳-۳)-مقطع میکروسکوپی نمونه شماره ۲۳-A2-Y در نور پلازیزه با بزرگنمایی  $\times 33$



عکس شماره (۲۴-۳)-مقطع میکروسکوپی نمونه شماره ۲۵-A2-Y در نور پلازیزه با بزرگنمایی  $\times 33$

#### ۴-۳- نتایج اخذ شده از آزمایشات مختلف

#### ۱-۴-۳- نتایج حاصل از آزمایشات ششمی، تر

ا توجه به نتایجی که از آنالیزهای شیمیابی، نمونه های مختلف به دست آمده است،

مشاهده می شود که دامنه تغییرات  $\text{Al}_2\text{O}_3$  از ۱۵ تا ۲۳ درصد است و مانگن: آن دو

امونه های برداشت شده از منطقه ۱۸/۷ درصد می باشد. با در نظر گرفتن این مطلب که

ممنونه های برداشت شده از شیست ها بوده اند ، مقدار  $18/7$  درصد مقداری ناجیز است و

می توان به این نتیجه رسید که کانی سازی گروه کانیهای سیلیمانیت در منطقه به مقدار کم

خ داده است . نمونه هایی که مقدار آلومین بالایی از خود نشان داده اند از شیوه های

کانی سازی شده بوده اند که باز هم مقدار کانی سازی ناچیزی را نشان می‌دهند.

همچنین، با وجود اینکه نمونه‌ها، از ترانشه‌ها و چاهک‌ها پرداخت شده است،

قدار اکسید آهن در این سنگها تقریباً زیاد می باشد که به دلیل پیشرفت هوازدگی است. در

صنایعی که مواد اولیه کانیهای گروه سیلیمانیت استفاده می‌کنند اکسیدهای آهن مناجم

سی باشند . مقدار SiO<sub>2</sub> نیز در حد میانگین سنگهای شیست ، در حدود ۶۵ درصد است.

وزیع اکسیدهای دیگر نیز در حد میانگین سنگهای مربوطه می‌باشد.

در نهایت می توان به این نتیجه رسید که کانی سازی در منطقه به مقدار کم اتفاقاً

فتاده است و چنین مقادیر کانی سازی در حال حاضر با وجود وضعیت تکنولوژی فرآوری،

شرایط اقتصادی، مقدار ذخیره، شرایط جغرافیایی منطقه و ... جهت استخراج و فرآوری

نقرهون به صرفه نمی باشد بلکه در سالنهای آینده با توجه به پیشرفت تکنولوژی می تواند حائز

هست بالفع

### ۳-۲-۴- نتایج حاصل از آزمایشات X.R.D

از مطالعات X.R.D که به منظور تعیین نوع کانی های منطقه (کانی شناسی) و

تبديل شدن کانیهای گروه سیلیمانیت انجام شده، نتایج زیر به دست آمده است :

- با توجه به مطالعاتی که بر روی کانیهای گروه سیلیمانیت انجام شده است، کل ذخایر

منطقه را می توان از نظر نوع کانی به دو قسمت کلی تقسیم بندی کرد که این دو ذخیره

عبارتند از : ذخیره جنوبی منطقه در جنوب رودخانه خشک و دیگری ذخیره شمالی که در

حاشیه شمالی رودخانه و به صورت باندی به موازات آن قرار گرفته است . تفاوت این دو

ذخیره در این است که کانی غالب گروه سیلیمانیت در ذخیره جنوبی سیلیمانیت و در ذخیره

شمالی کیانیت می باشد . از نظر ظاهری نیز اندازه بلورهای دو منطقه با یکدیگر متفاوت

می باشند. (بلورهای ذخیره جنوبی بر خلاف بلورهای ذخیره شمالی کوچکتر و به موازات

شیستوزیته تشکیل شده اند) .

- کانیهای دیگری که به همراه کانیهای گروه سیلیمانیت مشاهده شده اند، نشان می دهند

که کانی کیانیت به مسکویت، پیروفیلیت و ... تبدیل شده است و همچنین در اثر افزایش

دما استارولیت پدیدار شده است. (ذخیره شمالی)

- در ذخیره جنوبی نیز کانیهای سریسیت، آلبیت، کلریت، کانیهای رسی و ... مشاهده شده

است که در نتیجه تبدیل سیلیمانیت می باشند . وجود سیلیمانیت در این ذخیره نشان دهنده

تأثیر فشار بالا بر این محیط است .

### ۳-۴-۳- نتایج حاصل از مطالعه تیغه نازی (پتروگرافی)

به طور کلی سنگهای را که جهت تهیه تیغه نازک و مطالعات پتروگرافی به آزمایشگاه

ارسال شده اند، را می توان به دو دسته تقسیم کرد . یک دسته جهت مطالعه شناخت سنگ

به منظور تکمیل نقشه زمین شناسی ، تفکیک واحدها و دسته دیگر به منظور مطالعه

کانی شناسی کانیهای گروه سیلیمانیت و کانیهای همراه با آن به آزمایشگاه ارسال شده اند.

نتیجه ای که از این مطالعات به دست آمده به شرح زیر می باشد:

- واحدهایی که در منطقه وجود دارند عمدتاً "از جنس سنگهای دگرگونی ناحیه ای و به مقدار

کمتر سنگهای دگرگونی مجاورتی می باشند . این سنگها که مورد شناسایی قرار گرفته اند

عبارتند از : انواع شیست ( میکاشیست ، آندالوزیت شیست ، گارنیت میکاشیست و ... )

گنیس تنها در یک مورد فیلیت و آمفیبولیت مشاهده شده است.

- از مطالعاتی که بر روی شیست های کانه دار منطقه انجام شده است نتیجه می شود که از

کانیهای گروه سیلیمانیت تمام کانیهای این گروه وجود دارند . که ترتیب فراوانی آنها عبارتند

از کیانیت ، سیلیمانیت و آندالوزیت . مقدار این کانیها در اغلب تیغه های تهیه شده زیر ۱۵

درصد بوده است.

- علاوه بر مشاهدات فوق یک سری از کانیهای فرعی شامل اکسید و هیدروکسیدهای آهن،

کانیهای تیتانیوم ، کردریت و ... مشاهده شده اند . اکسید و هیدروکسیدهای آهن ناشی از

عوامل هوازدگی و اکسیداسیون سطحی می باشند.

- سریسیت نیز تیبا" در اکثر تیغه ها به مقدار کم مشاهده شده است . سریسیت موجود به

دلیل تخریب گروه سیلیمانیت " مخصوصاً آندالوزیت می باشد.

- همچنین در بعضی موارد آثار تبدیل شدگی این کانیها (کانیهای گروه سیلیمانیت) به یکدیگر مشاهده می شود که بیانگر تغییر عوامل ترمودینامیکی (فشار و حرارت) و تاثیر آنها بر روی سنگهای منطقه است.

## فصل چهارم

# بلوک بندی و ارزیابی ذخیره

## ۱-۴ مقدمه

در این قسمت سعی شده است که ذخیره موجود در منطقه به گونه‌ای مشخص مورد

ارزیابی <sup>۶</sup> در صورت امکان تفکیکی در ذخیره انجام شود . در جهت نیل به این هدف ذخیره

موجود در منطقه بلوک بندی شده است. بلوک بندی انجام شده در منطقه بر اساس عملکرد

گسلها و وضعیت ساختمانی و تکتونیکی منطقه بوده است و طریقه بلوک بندی به این نحو

بوده است .

عملکرد گسلها در منطقه به صورتی بوده است که ذخیره را به تکه‌های مختلف و

منفک از هم در آورده است . به دلیل ضخامت کم لایه کانه دار در منطقه ، بلوک بندی بر

اساس تغییرات مقدار کانیهای گروه سیلیمانیت دشوار و تقریباً غیر ممکن بوده است به همین

دلیل از وضعیت طبیعی موجود در منطقه جهت بلوک بندی استفاده شده است . برای تخمین

ذخیره مقدار متوسط کانی سازی هر بلوک محاسبه شده است و در تخمین ذخیره از آن

استفاده شده است . شرح کامل بلوک بندی ذخیره و مقدار ذخیره هر بلوک در زیر آمده است.

### ۲-۱- بلوک بندی و تخمین ذخیره

همانگونه که در نقشه تکتونیکی منطقه مشاهده می شود تعداد نه گسل در منطقه وجود

دارد که تقریباً عمود بر رودخانه خشک چادر نگون در سمت غرب و شمال می باشند . گسل

شماره I در غرب منطقه ، در واقع انتهای غربی محدوده کانی سازی منطقه مورد مطالعه و

گسل شماره IX حد نهایی محدوده کانی سازی در سمت شرق را مشخص می سازند. عملکرد

هر یک از گسلهای موجود بین این دو گسل باعث تفکیک شدن کل ذخیره به بلوکهای

مختلف شده است . توضیح هر یک <sup>۷</sup> که نزیر آمده است.

در تخمین ذخیره، محدوده رخمنون لایه کالنی سازی شده، کمر بالا و کمر پائین لایه

کاملاً "مشخص شده است و سطح رخمنون لایه بر روی نقشه با استفاده از نرم افزارهای

کامپیوتری محاسبه شده وسیس این سطح بر روی توپوگرافی تصویر شده است. سیس مقدار

به دست آمده برای سطح ماده معدنی با توجه به شبیه بندی و شبیه توپوگرافی بر

سطحی عمود بر لایه بندی (سطحی که ضخامت لایه در آن واقع است) تصویر گردیده

است. در حقیقت با این کار هم ضخامت متوسط ماده معدنی و هم گسترش آن در سطح

زمینی به صورت یک عدد درآمده است. مقدار ۳۰ متر جهت بدست اوردن حجم ماده معدنی

ضرب شده است. سیس مقدار تصویر بر سطح رخمنون بر روی سطح عمود بر لایه بندی در

مقدار ۳۰ متر در امتداد گسترش ماده معدنی در عمق زمین و مقدار فرضی پیش روی جهت

استخراج و امكان دسترسی به ماده معدنی در نظر گرفته شده است. در شکل شماره (۱-۴) به

صورت شماتیک نحوه محاسبه و تخمین ذخیره آورده شده است.

#### ۴-۱-۱- بلوک I و مقدار ذخیره آن

##### - بلوک بندی

این بلوک بین گسل شماره ۱ و گسل شماره ۱۱ قرار گرفته است. ضخامت ماده معدنی

در این بلوک متوسط بین ۶ الی ۱۲ متر در تغییر است. گسترش طولی ماده معدنی حدود

۴۰ الی ۵۰۰ متر می باشد. این بلوک بزرگترین بلوک ذخیره منطقه و در منتهی ایله غرب

منطقه قرار دارد.

##### - ذخیره بلوک I

• شبیه توپوگرافی : ۱۵ درجه به سمت شرق

• شیب لایه بندی : ۲۵ درجه به سمت شمال غربی

• ضخامت متوسط لایه کانی سازی شده : ۸ متر

• مسافت رخمنون لایه کانی دار : ۱۹۴۳ متر مربع

• وزن مخصوص : ۲/۶ تن بر متر مکعب

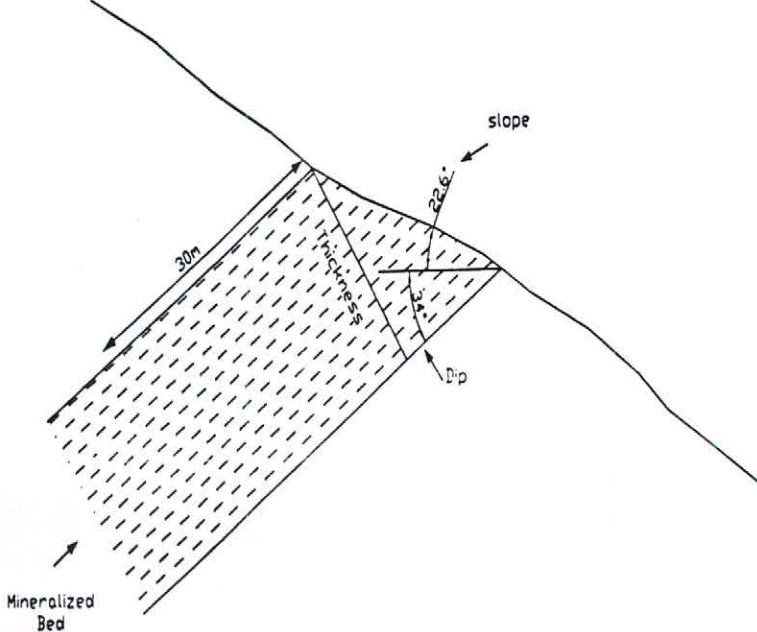
• مقدار متوسط کانی سازی : ۱۰ درصد

• محاسبات

$$V = 2011 \times \sin(40^\circ) \times 30 = 38790 \text{ (m}^3\text{)}$$

$$V = 38790 \times 0/1 = 3879 \text{ (m}^3\text{)}$$

$$M = 3879 \times 2/6 = 10085 \text{ (ton)}$$



شکل شماره (۱-۴)-شمایی از نحوه تخمین ذخیره بلوکهای منطقه

## ۲-۴- بلوک II و مقدار ذخیره آن

### - بلوک بندی

این بلوک حد بین گسل شماره II و III واقع شده است. این بلوک بهترین درصد

کانیهای گروه سیلیمانیت را دارد. ترانشه قدیمی شماره I و چاهک شماره II در این بلوک

حفاری گردیده اند. درصد کانی سازی گروه سیلیمانیت در این بلوک در حد بین ۸ و ۱۴

است. گسترش طولی ماده معدنی در این بلوک در طول حدود ۵۰ الی ۶۰ متر می باشد و

ضخامت لایه ها حاوی کانی سازی در حد بین ۱۰ الی ۱۵ متر در تغییر است. پر خامت ترین

لایه های حاوی کانیهای گروه سیلیمانیت در این بلوک واقع شده است. در عکس شماره

(۱-۴) پراکندگی بلور های گروه سیلیمانیت در سطح زیرین در اطراف چاهک شماره II دیده

می شود.

### - ذخیره بلوک II

- شب توبوگرافی : ۱۰ درجه به سمت شرق

- شیب لایه بندی : ۳۵ درجه به سمت شمال غربی

- ضخامت متوسط لایه کانی سازی شده : ۱۲ متر

- مسافت رخمنون لایه کانه دار : ۵/۱۷ متر مربع

- وزن مخصوص : ۲/۶ تن بر متر مکعب

- مقدار متوسط کانی سازی ۱۱: درصد

- محاسبات

$$V = \frac{525}{5} \times \sin(45^\circ) \times 30 = 11147 \text{ (m}^3\text{)}$$

$$\text{حجم ماده معدنی} = 11147 \times 0.11 = 1226 \text{ (m}^3\text{)}$$

$$\text{مقدار کانی سازی} = 1226 \times 2/6 = 3188 \text{ (ton)}$$

### ۳-۲-۳- بلوک III و مقدار ذخیره آن

#### - بلوک بندی

این بلوک حد بین گسلهای شماره III و IV واقع شده است. ترانشه قدیمی شماره II در

این بلوک حفاری گردیده است . ضخامت لایه ها از بلوک II به سمت بلوک III کاهش یافته،

ضخامت لایه های کانی سازی این بلوک بین ۸ الی ۱۳ متر در تغییر می باشد گسترش طول

آن نیز در حدود ۷۵ متر می باشد . درصد کانی سازی در این بلوک زیر ۱۰ درصد می باشد.

#### - ذخیره بلوک III

- شیب توپوگرافی : ۲۵ درجه به سمت جنوب شرقی

- شیب لایه بندی : ۲۵ درجه به سمت شمال غربی

- ضخامت متوسط ماده معدنی : ۱۰ متر

- مسافت رخمنون لایه کانه دار : ۷۶۵ متر مربع

- وزن مخصوص : ۲/۶ تن بر متر مکعب

- مقدار متوسط کانی سازی : ۹ درصد

- محاسبات

$$\text{حجم کانسنگ} = 844 \times \sin(50^\circ) \times 30 = 19398 \text{ (m}^3\text{)}$$

$$\text{حجم ماده معدنی} = 19398 \times 0.09 = 1746 \text{ (m}^3\text{)}$$

$$\text{مقدار کانی سازی} = 1746 \times 2/6 = 4539 \text{ (ton)}$$

#### ۴-۲-۴- بلوک IV و مقدار ذخیره آن

##### - بلوک بندی

این بلوک بین گسلهای شماره ۷ و گسل شماره IV واقع شده است ترانشه قدیمی شماره III و ترانشه جدید شماره I در این بلوک حفاری گردیده است. چاهک شماره II از بالا دست لایه های کانه دار و در واحد میکا شیست ورقه ای در این بلوک حفاری گردیده است. ضخامت لایه های کانه دار در این بلوک بین ۷ الی ۱۴ متر و گسترش طولی ماده معدنی بین ۷۵ الی ۸۵ متر در تغییر است. درصد کانی سازی در این بلوک نیز در حدود ۱۰ درصد می باشد. در بلوک بندی از گسهای شماره ۷ نام برده شده است. به خاطر اینکه حد شرقی بلوک IV مشخص شود از دو گسل این محدوده به عنوان یک حد محدود کننده و حد غرب بلوک ۷ نام گذاری شده است در بین گسلهای کوچک این محدوده کانی سازی صورت نگرفته است ولی جابجایی آشکاری نسبت به بلوک های IV و ۷ دیده می گردد. عکس شماره (۲-۴) پراکندگی بلورهای گروه سیلیمانیت در اطراف چاهک شماره II را نشان می دهد.

##### - ذخیره بلوک IV

- شیب توبوگرافی : ۲۰ درجه به سمت جنوب

- شیب لایه بندی : ۳۵ درجه به سمت شمال غربی

- ضخامت متوسط ماده معدنی : ۱۲ متر

- مسافت رخمنون لایه کانه دار : ۱۱۶۴ متر مربع

- وزن مخصوص : ۲/۶ تن بر متر مکعب

- سطح متوسط کانی سازی : ۱۰ درصد

۸-۴	زیر پرروزه اکتشاف نیمه تفصیلی آندالوزیت میشدون بافق فصل چهارم - بلوک بندی و ارزیابی ذخیره	 مدانکاو مهندسان مهندسی Madankav Consulting Engineers Co.
-----	--	--

• محاسبات

$$V = 1238 / 5 \times \sin(45) \cdot 30 = 26277 \text{ (m}^3\text{)}$$

$$V = 26277 \times 0.1 = 2627 \text{ (m}^3\text{)}$$

$$M_{IV} = 2627 \times 2/6 = 6833 \text{ (ton)}$$

• ۴-۲-۷- بلوک ۷ و مقدار ذخیره آن

• بلوک بندی

این بلوک بین گسلهای VI و VII قرار گرفته است کانی سازی در تمام طول گسترش این

بلوک وجود ندارد . به طوریکه در طول گسترش ۲۵۰ متری آن فقط حدود ۸۰ الی ۱۰۰ متر

آن کانی سازی و در حد زیر ۱۰ درصد کانی سازی شده است . ضخامت لایه کانی سازی

شده کم و بین ۷ الی ۱۲ متر در تغییر است که این ضخامت به سمت شرق کاهش یافته و به

صفر میل می کند.

• - ذخیره بلوک ۷

• شب توبوگرافی : ۱۵ درجه به سمت جنوب

• شب لایه بندی : ۴۰ درجه به سمت شمال غربی

• ضخامت متوسط ماده معدنی : ۹ متر

• مسافت رخمنون لایه کانه دار : ۱۱۱۱ متر مربع

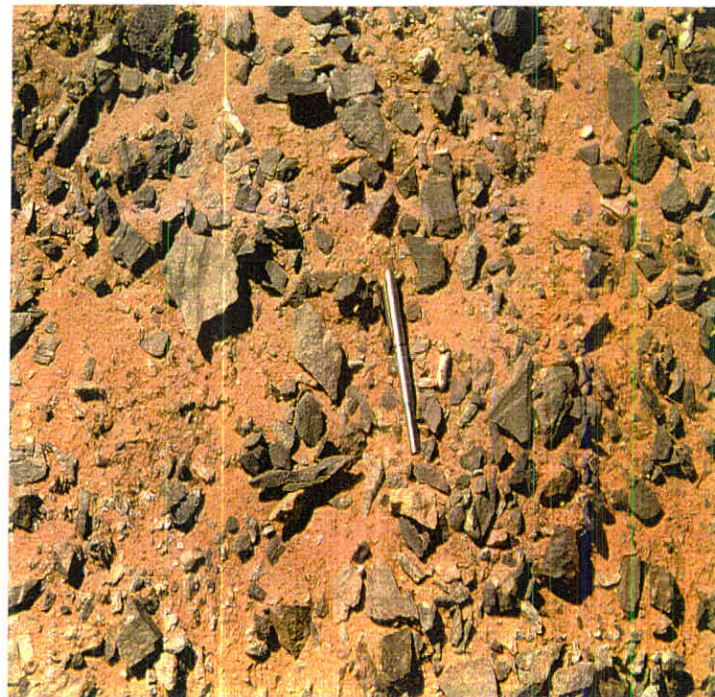
• وزن مخصوص : ۲/۶ تن بر متر مکعب

• مقدار متوسط کانی سازی : ۸ درصد

• محاسبات



عکس شماره (۱-۴)- پراکندگی کانیها در سطح زمین در اطراف چاهک شماره ۱



عکس شماره (۲-۴)- پراکندگی بلور های گروه سیلیمانیت در سطح زمین در اطراف چاهک

$$V = 115 \times \sin(60^\circ) \times 3 = 2826 \text{ m}^3$$

$$V = 28265 \times 0.8 = 2261 \text{ (m}^3\text{)}$$

$$M_V = 2261 \times 2/6 = 5879 \text{ (ton)}$$

۴-۲-۶-بلوگ VI

- بلوک بندی

این بلوک در بین گسلهای VII و VII واقع شده است و کانی سازی گروه سیلیمانیت در

ن صورت نگرفته است.

در بین گسلهای اصلی سازنده بلوکهای معدنی در شمال رودخانه چادرنگون تنها گسل

شماره VI امتداد شرقی - غربی و خلاف جهت گسلهای دیگر منطقه است.

VII-۲-۷-بلوک

بلوک بندی

ین بلوک نیز در بین گسلهای شماره VII و VIII واقع است. کانی سازی در این بلوک

پیز صورت نگرفته است.

۴-۲-۸- بلوگ VIII و مقدار ذخیره آن

## - بلوک بندی

ین بلوک در بین گسل شماره IX که در واقع گسل شمالی-جنوبی حد شرقی محدوده

و نقشه زمین‌شناسی است با گسل شماره VIII قرار دارد.

کانی سازی در این بلوک در حد بین ۷ الی ۱۲ درصد می باشد. ضخامت لایه

کانی سازی شده در این بلوک بین ۸ الی ۱۲ متر در تغییر است گسترش طولی زون کانه دار

در این بلوک در حدود ۶۰ الی ۷۰ متر می باشد. ترانشه قدیمی شماره ۷ و ترانشه جدید شماره

۱۱ و همچنین چاهک شماره III در این بلوک حفاری گردیده اند.

### - ذخیره بلوک VIII -

- شیب توپوگرافی : ۲۵ درجه به سمت جنوب

- شیب لایه بندي : ۴۰ درجه به سمت شمال

- ضخامت متوسط ماده معدنی : ۱۰ متر

- مسافت رخمنون لایه کانه دار : ۶۴۲ متر مربع

- وزن مخصوص : ۲/۶ تن بر متر مکعب

- مقدار متوسط کانی سازی ۹: درصد

- محاسبات

$$V = 70 \times 5 \times \sin(65) \times 30 = 19259 \text{ (m}^3\text{)}$$

$$V = 19259 \times 0.9 = 1733 \text{ (m}^3\text{)}$$

$$M_{VIII} = 1733 \times 2/6 = 45.06 \text{ (ton)}$$

با انجام این محاسبات مقدار کل ذخیره کیانیت در منطقه مورد مطالعه تقریباً "برابر با

۳۴/۵ هزار تن خواهد بود .

$$M = M_I + M_{II} + M_{III} + M_{IV} + M_V + M_{VIII} = 350.29 \text{ (ton)}$$

علاوه بر ۸ بلوک فوق الذکر که توسط گسلها جدا گردیده اند یک محدوده بسیار

کوچک و به صورت یک قله منفرد به نام H-II نیز در جنوب رودخانه چادرنگون قرار دارد که

دارای ماده معدنی گروه سیلیمانیت بوده و به صورت جداگانه و به نام بلوک II معرفی شده

است که در ارزیابی ذخیره نیز جداگانه محاسبه گردیده است.

از بین بلوکهای معرفی شده ، بلوکهای VII و VI بدون کانه بوده و در مبحث ارزیابی

ذخیره نیز محاسبات این دو بلوک وجود ندارد .

توالی لیتولوژی حاکم در منطقه مورد مطالعه در شمال و جنوب رودخانه چادرنگون با

همدیگر تفاوت اساسی نشان می دهند . به طوریکه در جنوب رودخانه و در بلوک معرفی شده

به نام بلوک IX با توجه به نتایج حاصله از مطالعات میکروسکوپی و همچنین مطالعه کانیهای

موجود ( X.R.D ) از گروه کانی های سیلیمانیت در این بلوک ، کانی سیلیمانیت تشخیص داده

شده است .

#### ۳-۴- تخمین ذخیره سیلیمانیت در منطقه چادرنگون

ذخیره سیلیمانیت تنها در جنوب منطقه در تپه H-II در سازند سرکوه تشکیل شده است.

مقدار ذخیره آن در این منطقه به طریق زیر محاسبه شده است . می توان این ذخیره را به

صورت یک ناویس بسیار کوچک با شبیه ملایم در نظر گرفت . ضخامت متوسط کانی سازی

۸ متر و مقدار متوسط کانی سازی ۱۱ درصد است . گسترش این لایه ۹۱۰۰ متر مربع

است که بر روی آن آهکهای سرکوه قرار گرفته اند.

بدین ترتیب جهت تخمین مقدار ذخیره سیلیمانیت منطقه به طریق زیر عمل می شود:

$$V = 9100 \times 8 = 72800 \text{ (m}^3\text{)}$$

$$\text{حجم ماده معدنی} = ۷۲۸۰۰ \times ۰/۱۱ = ۸۰۰۸ (\text{m}^3)$$

$$\text{مقدار ماده معدنی} M = ۸۰۰۸ \times ۲/۵ = ۲۰۰۲۰ (\text{ton})$$

با توجه به محاسبات انجام شده مقدار ذخیره سیلیمانیت در حدود ۲۰ هزار تن می باشد.

در این ارزیابی مقداری باطله آهکی بر روی ذخیره قرار گرفته است که جهت استخراج لازم است که باطله برداری صورت گیرد.

در جدول شماره (۱-۴) ذخایر تخمین زده شده به صورت جداگانه و بر حسب عیار

متوسط اورده شده است . لازم است که اشاره شود ذخیره به دست آمده از نوع ذخیره ممکن می باشد.

#### جدول شماره (۱-۴)- مقدار ذخیره هر بلوک به تفکیک مقدار کانی سازی

کانه دار (متر) ضخامت متوسط لایه	کانی سازی ( $10 > \text{درصد}$ )		کانی سازی ( $5-10 \text{ درصد}$ )		بلوک ذخیره
	مقدار ذخیره (تن)	مقدار متوسط کانی سازی (%)	مقدار ذخیره (تن)	مقدار متوسط کانی سازی (%)	
۸	۱۰۰۸۵	۱۰	-	-	I بلوک
۱۲	۳۱۸۸	۱۱	-	-	II بلوک
۱۰	-	-	۴۵۳۹	۹	III بلوک
۱۲	۶۸۲۲	۱۰	-	-	IV بلوک
۹	-	-	۵۸۷۹	۸	V بلوک
۱۰	-	-	۴۵۶	۹	VIII بلوک
-	۲۰۱۰۵	-	۱۴۹۲۴	-	جمع ذخیره کیانیت منطقه

از مقدار کل ذخیره کیانیت منطقه (۳۵۰۲۹ تن) در حال حاضر استخراج فرآوری

حدود ۱۵ هزار تن آن به علت پائین بودن مقدار کانی سازی ( $10 < \text{درصد}$ ) کاملاً غیر

اقتصادی است و در حدود ۲۰ هزار تن باقی مانده با مقدار کانی سازی مناسب ( $10 > \text{درصد}$ )

با توجه به شرایط اقلیمی منطقه، نبودن کارخانه فرآوری، هزینه‌های استخراج و حمل و نقل، کم بودن مقدار ذخیره و ... تا چند سال آینده غیر اقتصادی به نظر می‌رسد. در صورتی که کارخانه‌هایی فرآوری آندازویت کشور احتیاج به مواد اوایله داشته باشند، ذخیره این منطقه می‌تواند مجدداً "طرح گردد و اکتشافات تفصیلی بر روی آن صورت گیرد.

## فصل پنجم

### نتیجه گیری و پیشنهادات

## ۱-۵- نتیجه گیری

در پایان عملیات اکتشافی مرحله نیمه تفصیلی و برداشت های زمین شناسی در

منطقه چادرنگون بافق بر روی مواد معدنی گروه سیلیمانیت نتایجی به دست آمده که به شرح

زیر می باشدند.

### ۱-۱- نتایج حفریات

در منطقه تعداد سه حلقه چاهک و پنج رشته ترانشه حفاری شد که از آنها نمونه های

سالم ( Fresh ) برداشت گردید و به آزمایشگاههای مربوطه ارسال شد . با توجه به حفاری

۵ رشته ترانشه توالی لایه ها مشخص شده عبارتند از میکا شیست ورقه ای ، گارنت میکا

شیست کانه دار و سپس میکاشیست خاکستری که این موضوع در حفاری های عمقی

( چاهک ) نیز تائید می شود . از ترانشه های حفر شده در منطقه جهت مرتبط کردن

لایه های مختلف ( مخصوصاً "لایه کانه دار" ) ، تعیین ضخامت ماده معدنی ، تخمین ذخیره

و تهییه نقشه زمین شناسی استفاده شده است .

چاهک شماره I تماماً در لایه دارای ماده معدنی حفر شده است و به نظر می رسد

که تا عمق ۱۲ متری چاهک ( ضخامت حقیقی ) ، لایه کانه دار ادامه پیدا کند . چاهکهای

شماره II و III نیز در کنタکت لایه کانه دار و کمر پائین ماده معدنی ( در بالاترین جایی که

حفاری امکان پذیر بود ) ، حفاری شده است و تنها در چند سانتیمتر اول چاهک ، ماده معدنی

دیده می شود و ضخامت شیست کانه دار ، با توجه به رخمنوهای سطحی مشخص است که

در چاهک شماره II ، ۱۰ متر ( ضخامت ظاهر ) و در چاهک شماره III ، ۷ متر ( ضخامت

ظاهری) می باشد . حفاری جز در چند متر اول چاهک نشان می دهد که در عمقهای بیشتر هیچگونه ماده معدنی وجود ندارد.

۱-۲- نتایج آزمایشگاهی

نمونه هایی که از رخمنوهای سطحی، چاهک ها و ترانشه ها برداشت گردید، جهت آنالیزهای مختلف به آزمایشگاه مربوطه ارسال گردیدند. این نمونه ها جهت مطالعات بتروگرافی، کانی شناسی و آنالیز شیمیایی برداشت شدند.

## ۱- نتایج تهییه تیفه نازک پتروگرافی

تعداد ۱۶ نمونه به منظور شناسایی واحد سنگی، و تعدادی جهت تعیین نوع کانیهای شاخص دگرگونی از جمله کانیهای گروه سیلیمانیت، به آزمایشگاه پتروگرافی فرستاده شده است.

نتایجی که از این مطالعات به دست آمده در تهیه نقشه زمین شناسی جهت نام گذاری واحدهای سنگی و همچنین تایید نتایج XRD استفاده شده است . واحدهای شناسایی شده در منطقه شامل انواع شیست ها(میکا شیست ، گارنت میکاشیست ، سیلیمانیت گارنت میکا شیست و کیانیت گارنت میکا شیست) ، گئیسها (کوارتز فلدسپات گنیس و آمفیبول میکا گنیس)، آمفیبولیت و ... است. همچنین از کانیهای گروه سیلیمانیت (سیلیمانیت ، کیانیت و آندالوزیت ) در منطقه مشاهده شده است.

## ٢- نتایج مطالعات XRD

که نتایج حاصله نشان می دهد، ارکانیهای گروه سیلیمانیت به ترتیب فراوانی ابتدا کیانیت و عدد ۱۷ نمونه جویت مطالعات XRD که بر روی سنگها و بلورهای منطقه انجام شده.

پس سیلیمانیت و آنالوژیت در منطقه موجود می باشد. نتیجه مهم دیگر این که ذخیره های گروه سیلیمانیت در منطقه ، دو توزیع آماری را نشان می دهد . ذخیره ای که در قسمت جنوبی منطقه قرار گرفته است عمدتاً" در آن کانی سازی سیلیمانیت می باشد ولی ذخیره ای که به موازات رودخانه به صورت باند سرتاسری تشکیل شده است عمدتاً کانی سازی آن کیانیت و در درجات پائینتر آنالوژیت و سیلیمانیت است . بدین ترتیب می توان گفت که دو تیپ ذخیره مختلف در منطقه تشکیل شده است که تفاوت هایی با هم دارند. این تفاوت ها در درجه اول به سنگ در برگیرنده و سن تشکیلات آن و در درجه دوم به درجه دگرگونی در کمپلکس های موجود در منطقه می باشد .

### ٣- نتایج حاصل از مطالعات آنالیز شیمیابی

با توجه به نتایج بدست آمده از آنالیزهای شیمیایی، درصد آلومین در شیستهای کانی سازی شده منطقه ناچیز است و حدکثر ۲۳ درصد می باشد که این مقدار از نظر کار معدنی مناسب نمی باشد.

### ۱-۵-۳- تهیه نقشه توپوگرافی ۱:۵۰۰۰

جهت تهیه نقشه زمین شناسی منطقه، ابتدا نقشه توپوگرافی در مقیاس ۱:۵۰۰۰  
عنوان نقشه پایه تهیه گردد. این کار به وسیله فتوگرامتری عکس‌های هوایی و سپس کنترل  
قطاط کلیدی نقشه بوسیله دوربین نقشه برداری و GPS انجام گرفت که در عملیات صحراخی  
ز آن استفاده شد.

#### ۱-۵-۴- تهییه نقشه زمین شناسی ۱:۵۰۰۰

پس از **غیر مؤثر** مقدماتی بر روی عکسهای هوایی، نقشه مقدماتی از برداشت‌های

۵-۵	زیر پروردگار اکتشاف نیمه تفصیلی آنالوژیت میشدون بافق فصل پنجم- تبیخه گیری و بیشنها	 مدائن کویر مهندسان مشاور Madaeni Kavir Consulting Engineers Co.
-----	---	--

صحرایی تهیه و روی نقشه توپوگرافی به عنوان نقشه پایه پیاده گردید و مشاهدات صحرایی

نیز به آن افروده شد . به علاوه نام گذاری واحدهای مختلف سنگی با توجه به مطالعات

پتروگرافی صورت پذیرفت و تکمیل گردید و سپس منطقه از نظر ساختمانی و تکتونیکی

بررسی و عوامل ساختاری بر روی نقشه پایه در نهایت نقشه زمین شناسی با پایه

توپوگرافی در مقیاس ۱:۵۰۰۰ آمدہ است . بلوك بندی ماده معدنی جهت تخمین ذخیره با

توجه به نتایج نقشه زمین شناسی ساختار تکتونیکی منطقه صورت گرفته است.

#### ۵-۱-۵- کیفیت ماده معدنی

با توجه به مطالعات آزمایشگاهی و همچنین مشاهدات صحرایی ، عمدہ ماده معدنی

گروه سیلیمانیت در منطقه کیانیت می باشد که در سطح ، در اثر هوازدگی شیستهای کانه دار

و سخت بودن ماده معدنی ( کیانیت ) تمرکز بالای نشان می دهد ولی هر چه عمق افزایش

می یابد تاثیر هوازدگی کاهش می یابد و بلورهای کیانیت در شیست ها درگیر هستند. به طور

متوسط در کل سنگهای کانه دار منطقه ، مقدار کانی سازی بیش از ۱۰ درصد می باشد و

دگرسانی تبدیل شدگی کانیهای این گروه به یکدیگر قابل توجه می باشد . این تعییرات تا

حدودی باعث کاهش کیفیت ماده معدنی شده است و ناخالصیهای موجود در آن مرغوبیت

ماده معدنی را کاهش می دهد .

#### ۵-۱-۶- ارزیابی ذخیره

جهت تخمین و ارزیابی ذخیره ماده معدنی گروه سیلیمانیت ، لایه های ماده معدنی به

بلوکهایی کوچکتر و مجزا ، جدا گردیده اند . این بلوك بندی با توجه به ساختار تکتونیکی

منطقه صورت گرفته به عبارت دیگر عملکرد گسلها در منطقه به گونه ای بوده است که این

بلوک بندی را به صورت طبیعی در زمین ایجاد کرده است. ذخیره گروه سیلیمانیت منطقه در

دو تیپ کانی محاسبه شده است. ذخیره کیانیت که عمدتاً "در شمال رودخانه چادرنfonون قرار

گرفته است در حدود ۳۵ هزار تن می باشد که ۱۵ هزار تن آن به دلیل پائین بودن مقدار

کانی سازی کاملاً "غیر اقتصادی و استخراج بهره برداری ۲۰ هزار تن آن با توجه به شرایط

موجود که در متن گزارش آمده است در حال حاضر مقرن به صرفه نمی باشی.

ذخیره سیلیمانیت منطقه که در جنوب چادرنfonون و در سازند سرکوه گسترش دارد در

حدود ۲۰ هزار تن با مقدار متوسط کانی سازی ۱۱ درصد است که بر روی آن آهکهای

متامورف سرکوه به عنوان باطله محسوب می شود و در استخراج ضخامت ۸ متری

ماده معدنی لازم است که باطله برداری صورت گیرد. و باطله برداری این قسمت نیز هزینه بر

می باشد و با شرایط موجود در حال حاضر مقرن به صرفه نمی باشد.

## ۲-۵- پیشنهادات

با توجه به نتایجی که از مراحل مختلف انجام این پروژه به دست آمده است و با در

نظر گرفتن مقدار کم کانی سازی و میزان پایین ذخیره کانیهای گروه سیلیمانیت و همچنین

شرایط موجود از جمله موقعیت جغرافیایی ، عدم وجود کارخانه های فرآوری در نزدیک ذخیره

و نداشتن بازار و ... در حال حاضر، ادامه عملیات اکتشاف در مراحل بعدی (تفصیلی) و یا

برهه برداری از ذخیره توجیه ندارد.

در صورتی که کارخانه ای در استانهای اطراف احداث گردد و نیاز به تامین مواد خام

داشته باشد، ذخیره این منطقه می تواند تامین کننده بخشی از نیاز کارخانه به مواد اولیه

(خوارک) محسوب شود که در آن صورت ادامه کار توجیه پیدا می کند. در غیر این صورت و

با مر نظر قرار دادن شرایط، ادامه عملیات اکشافی کانیهای گروه سیلیمانیت در منطقه توجیه

اقتصادی ندارد و این حجم از عملیات (تا مرحله نیمه تفصیلی) که تاکنون انجام پذیرفته است

کافی می باشد.

A	زیر پروردگار اکتشاف نیمه تفصیلی آندالوژیت میشدون بافق منابع و مأخذ	 <b>مادن تکنولوژیان و مشاورت</b> Mada'nat-e-Teknolojiyan va Moshavarat Co.
---	---	---

## منابع و مأخذ

۱- آندالوژیت و کاربرد آن در صنعت نسوز، (۱۳۷۸) مرکزی م.ع، رحمتی م.ع، فصلنامه

معدن و فلزات

۲- بررسی ذخایر معدنی آندالوژیت کشور، (۱۳۷۰) شرکت تهیه و تولید نسوز کشور،

وزارت معدن و فلزات

۳- پترونیز سنگهای دگرگونه، (۱۳۷۱)، هلموت گ. ف. وینکلر،

متترجم: هوشمند زاده، عبدالرحیم، انتشارات دانشگاه شیراز

۴- دگرگونی و پتروگرافی سنگهای دگرگونی، (۱۳۶۷)، ولی زاده، محمدعلی، انتشارات

دانشگاه تهران

۵- زمین شناسی اقتصادی و ویژگیهای فیزیکی و شیمیایی دیرگذارها، (۱۳۶۷)، عابدیان،

ناصر، سازمان زمین شناسی و اکتشافات معدنی کشور

۶- زمین شناسی ایران، (۱۳۷۰)، درویش زاده، ع، نشر دانش امروز

۷- عکس‌های هوایی ۱:۲۰۰۰۰ و ۱:۵۰۰۰ منطقه، (۱۳۴۵)، سازمان نقشه برداری کشور

۸- گزارش اکتشافات مقدماتی ذخایر آندالوژیت میشدون بافق، (مرداد ۱۳۷۸) شرکت تهیه

و تولید مواد اولیه فولاد ایران (اکتشافات واحد جنوب)

۹- گزارش طرح اکتشاف تفصیلی آندالوژیت و گارنت سیستان و بلوچستان، (۱۳۷۳)

شرکت مشاور چکان

۱۰- گزارش طرح اکتشاف نیمه تفصیلی آندالوژیت - گارنت منطقه ۳ رگیابان، (۱۳۶۹)،

مهندسان مشاور کاوشگران، اداره کل معدن و فلزات استان سیستان و بلوچستان

B	زیر پروژه اکتشاف نیمه تفصیلی آندازویت میشدوان بافق منابع و مأخذ	 مادان خایی مهندسان مشاور Madan Khayy Consulting Engineers Co.
---	--	--

۱۱- نقشه توپوگرافی ۱:۵۰۰۰۰ حسن آباد، (۱۳۵۰)، سازمان جغرافیایی نیروهای مسلح

۱۲- نقشه زمین شناسی ۱:۲۵۰۰۰ چهار گوش یزد، (۱۹۷۳)، سازمان زمین شناسی و

اکتشافات معدنی کشور

۱۳- نمونه برداری معدنی، (۱۳۷۱)، حسنی پاک، علی اصغر، انتشارات دانشگاه تهران

**پیوست شماره ۱**

**نتایج آنالیز شیمیایی**

رائد تحقیقات صنعتی

# رهسکران شبیه

سهامی خاص



۱۱۲۴  
نارنج  
شاره  
برست کمل شبیه

و بازیابی ضایعات- کارخانجات و کارخانهای تولیدی- تصفیه آب و فاضلاب- تجزیه شبیه- کنترل کیفیت و راندمان- بررسی مسائل تحقیقی

No	Sampl. No	SiO <sub>2</sub>	Al <sub>2</sub> O <sub>3</sub>	Fe <sub>2</sub> O <sub>3</sub>	TiO <sub>2</sub>	Cao	Mgo	N <sub>2</sub> O <sub>7</sub>	K <sub>2</sub> O	P <sub>2</sub> O <sub>5</sub>	L.O.
	Y-A2-1	69,2	19,6	3,55	0,56	0,72	0,48	1,58	1,54	0,16	2,5
	" - 2	57,0	22,9	11,4	2,96	0,53	0,42	0,53	2,39	0,40	1,3
	" - 3	63,0	20,7	5,65	0,74	1,49	0,90	1,14	2,54	0,22	3,2
	" - 4	69,8	16,2	5,23	0,74	0,80	0,80	1,51	2,25	0,20	2,2
	" - 5	64,5	15,3	4,28	0,49	0,94	0,90	2,12	2,17	0,19	8,38

رائد تحقیقات صنعتی، راه‌اندازی شبیه

شرکت راه‌اندازی شبیه



وَاحِدٌ تَحْقِيقَاتٍ صُنْعَى  
شِيمَى گَرَانٌ وَهُشَمَى  
خَاصٌ سَهَامِى

سی و پاره ای طایفات کمی اعجت و کاربردی بودند. آن طایفات درین مسماهی بکشل گشت و اندمان سیزده میان

Sampl. No.	%SiO <sub>2</sub>	%Al <sub>2</sub> O <sub>3</sub>	%Fe <sub>2</sub> O <sub>3</sub>	%Na <sub>2</sub> O	%TiO <sub>2</sub>	%CaO	%MgO	%MnO	%K <sub>2</sub> O	%L.O
Y-A2-6	74,2	13,0	2,81	3,22	0,27	0,60	0,14	0,03	3,24	1,94
Y-A2-7	60,5	21,0	6,57	0,75	0,81	2,0	0,45	0,04	4,27	3,36
Y-A2-8	64,6	17,6	6,52	1,84	0,76	0,83	0,11	0,08	2,80	4,06
Y-A2-9	61,5	19,0	6,81	1,36	0,80	2,00	0,48	0,02	3,31	4,22
Y-A2-10	67,4	17,4	2,76	1,25	0,85	1,39	0,18	0,02	4,14	4,23
Y-A2-11	60,5	19,4	6,69	1,28	0,87	2,48	0,47	0,07	3,46	4,38

لکھر تحقیقات نہیں ممکن ہے اپنے ہندستان نبھی  
پیریت سوامی خاص

واحد تحقیقات صنعتی  
رهشگران شیمی

سهامی خاص



تاریخ ۷۹-۳/۲۳

شماره ۷۶-۰۵

پرسنل - پرست

ویژه ای طباعت کارخانجات و کارگاههای نولیدی - صفت آن و این لایحه شیمی - تنزیل کیفیت و اندماز سروری مال تحقیق و مطالعات

Sampl.No	Lab.No	%SiO <sub>2</sub>	%Al <sub>2</sub> O <sub>3</sub>	%Fe <sub>2</sub> O <sub>3</sub>	%Na <sub>2</sub> O	%TiO <sub>2</sub>	%CaO	%MgO	%MnO	%K <sub>2</sub> O
Y-A2-15	1456	63,1	18,7	7,03	1,57	0,91	1,01	0,72	0,15	2,95
Y-A2-16	1457	64,0	19,1	6,25	1,52	0,77	0,70	0,38	0,14	2,65
Y-A2-18	1458	64,5	17,9	6,22	1,73	0,72	0,85	0,54	0,13	2,97
Y-A2-21	1459	67,7	18,0	5,90	1,30	0,83	0,75	0,49	0,15	2,29
Y-A2-22	1460	64,5	19,7	6,08	1,74	0,75	0,85	0,53	0,11	2,34
Y-A2-24	1461	68,0	17,5	5,48	1,81	0,72	0,80	0,53	0,10	2,33

واحد تحقیقات صنعتی  
رهشگران شیمی

سهامی خاص

پیوست شماره ۲

نتایج آزمایش X.R.D



شرکت کانساران

بینالود

۱۳۷۸/۱۲/۲۳

شرکت مهندسی معدنکاو

با سلام،

به پیوست گرافیای تهیه شده برای ۵ نمونه به شماره های Y-A2-1-1 , Y-A2-2-1 , Y-A2-3-1 , Y-A2-4-1 و Y-A2-5-1 که توسط دیفراکتومتری برنولیکس (XRD) تهیه گردیده، ارائه می گردد.

شاهین بورمند  
لطفعلی خانی

میرزا شریعتی

آبراهام احمدی

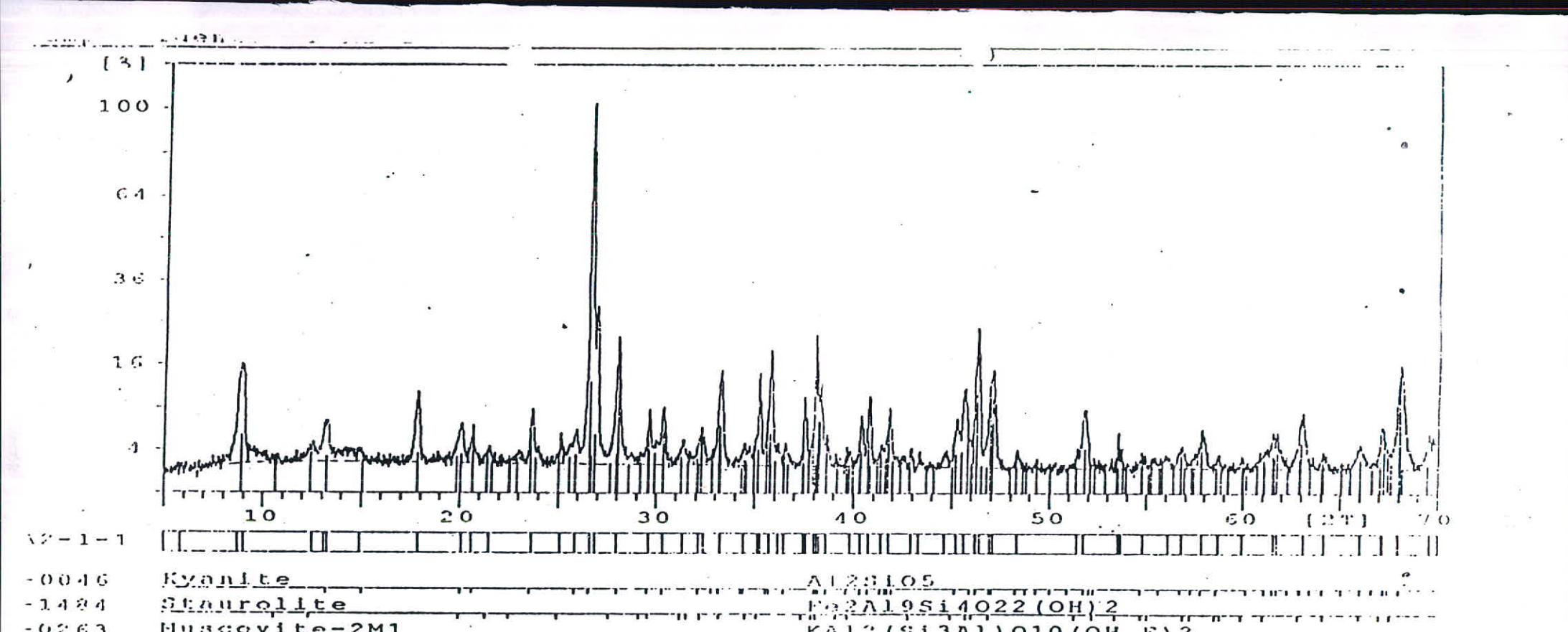
امیری

۷۸/۱۲/۲۳

نهان - رسالت غربی - هشتم عربی - شماره ۳

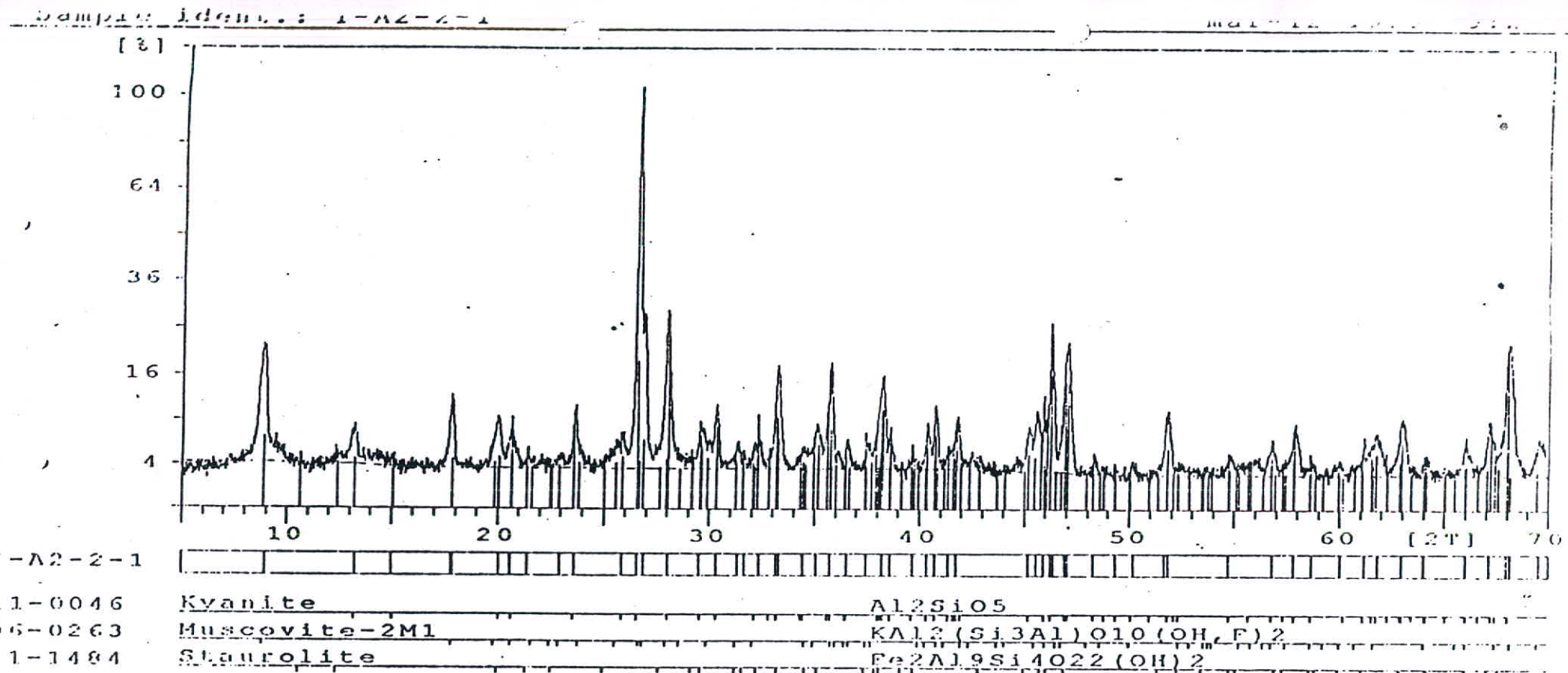
مشهد - جاده سنتو - شماره ۱۵۰ - نلفن ۰۵۴۶۶۰

ایمیل: work@mail.com



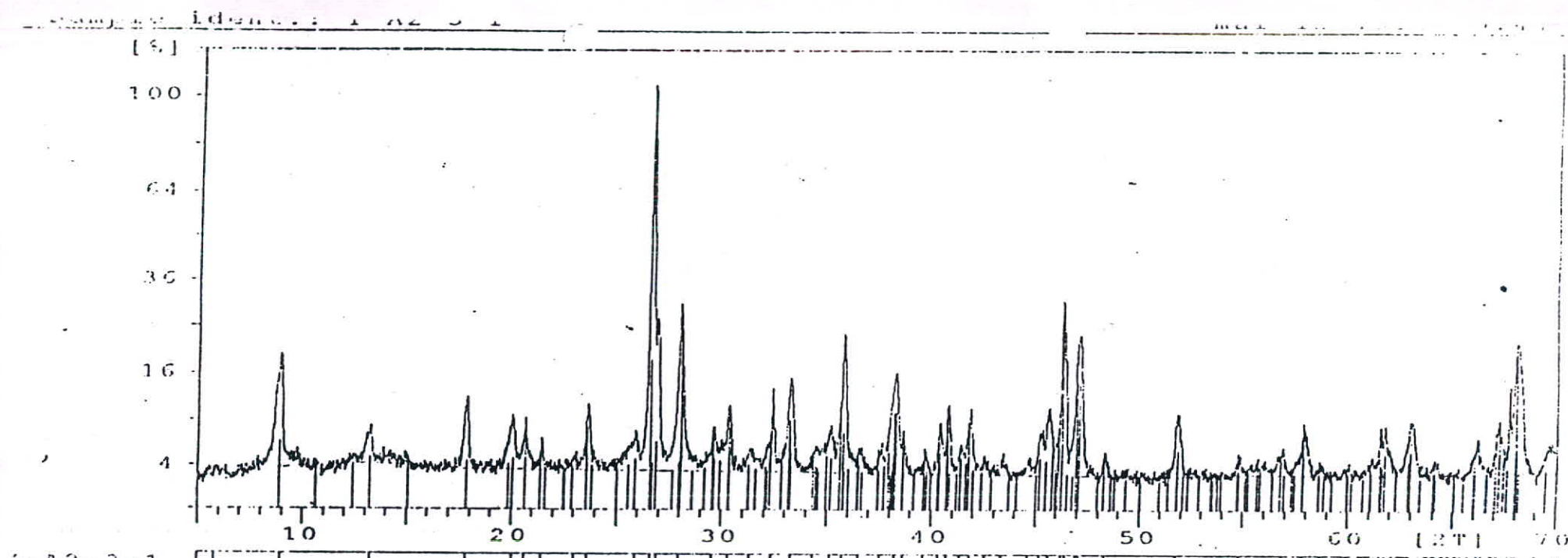
۱۳۷۸/۱۲/۲۲

کانی اصلی در این نمونه کیانیت (Kyanite) بوده و کانی های فرعی پتریلیب فراوانی موسکویت (Muscovite) و استارولیت (Staurolite) می باشند.



۱۳۷۸/۱۲/۲۲

کانی اصلی در لین نم و نه کیانیت (Kyanite) بوده و کانی های فرعی بتریب فراوانی موسکویت (Muscovite) و استارولیت (Staurolite) می باشند.



6-A2-3-1

11-0046

Kyanite

06-0163

Muscovite-2M1

11-1464

Staurolite

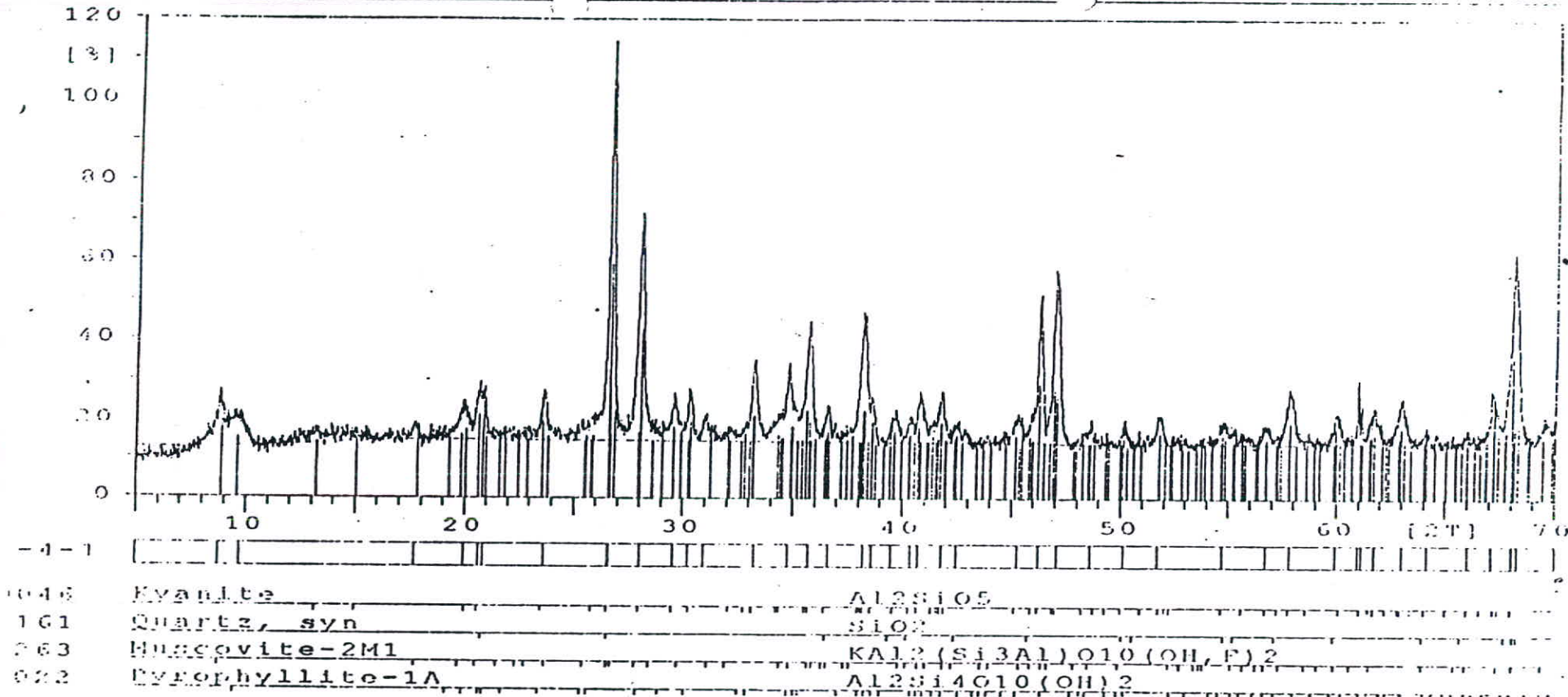
Al<sub>2</sub>Si<sub>4</sub>O<sub>10</sub>

KAl<sub>2</sub>(Si<sub>3</sub>Al)<sub>0</sub>10(OH)<sub>2</sub>

Fe<sub>2</sub>Al<sub>9</sub>Si<sub>4</sub>O<sub>22</sub>(OH)<sub>2</sub>

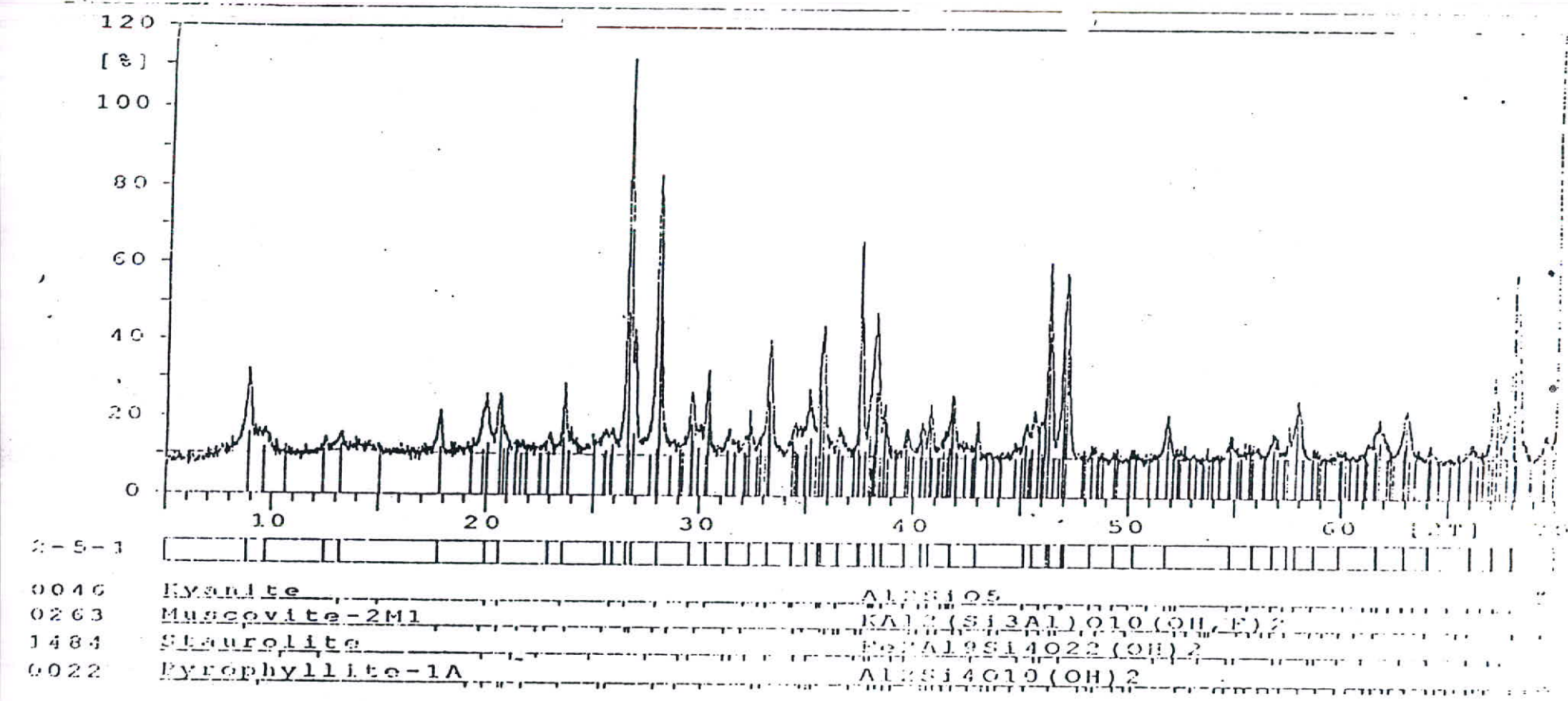
۱۳۷۸/۱۲/۲۲

کلی اصلی در لین نمونه کیانیت (Kyanite) بوده و کلی های فرعی پتریفیت ذراولی موسکویت (Muscovite) و استارولیت (Staurolite) می باشد.



۱۳۲۸/۱۲/۲۲

کانی اصلی در این نمونه کیانیت (Kyanite) بوده و کانی های فرعی پتریوپ فراوانی موسکویت (Muscovite) و کوارتز (Quartz) می باشند.  
پیروفیایت (Pyrophyllite) نیز به مقدار لندگ مشاهده می گردد.



کاری اصلی در لین نمونه کیانیت (Kyanite) بوده و کلی های فرعی بتریب فرادانی موسکویت (Muscovite)، استارولیت (Staurolite) می باشند.  
پیروفیلیت (Pyrophyllite) نیز به مقدار بسیار اندک مشاهده می گردد.



# شرکت کاكساران جینالود

۱۳۷۹/۴/۲۱

شرکت محترم معدنکاو

با سلام،

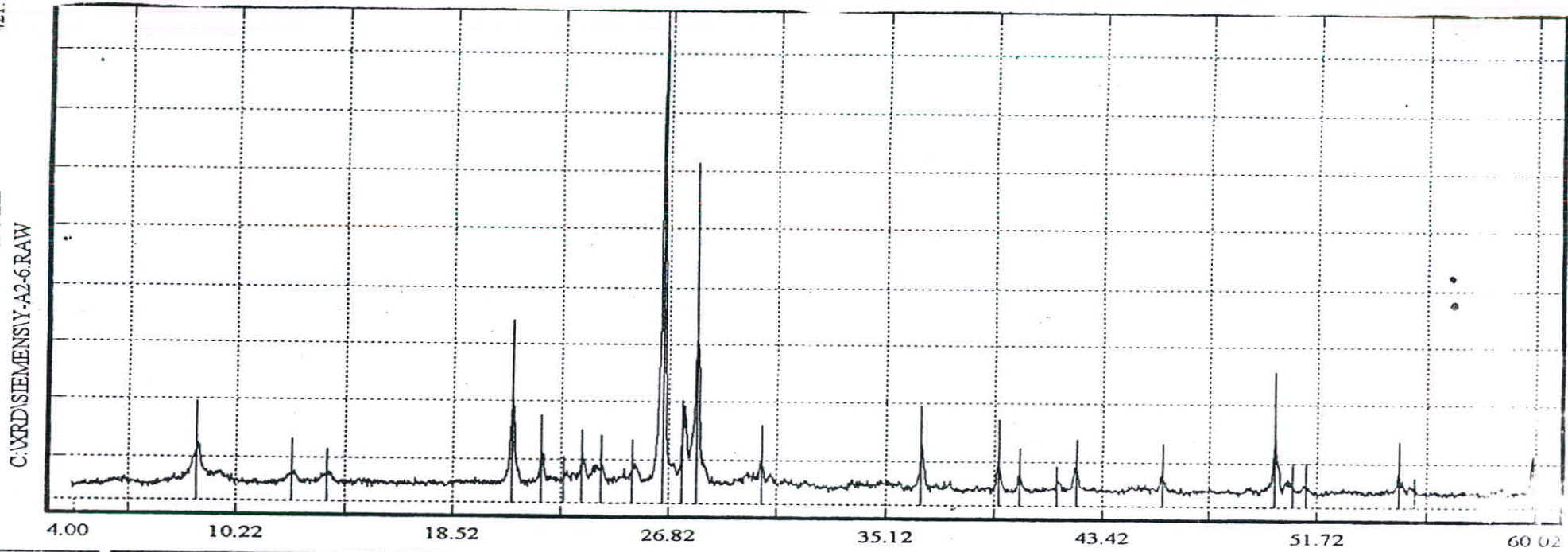
به پیوست گرفتهای تهیه شده برای ۶ نمونه به شماره های Y-A2-7, Y-A2-6, Y-A2-10, Y-A2-9, Y-A2-8 و Y-A2-13 که توسط دیفراتومتری برنویکس (XRD) تهیه گردیده، ارائه می گردد.

شاهین بورمند

لیسانس  
کرس اهلار رامان

لیسانس  
کرس اهلار رامان

نیران - رسالت غربی - هشتم غربی - شماره ۳  
مشهد - خاده ستو - شماره ۱۵۰ - تلفن: ۸۸۴۶۶۴  
پست الکترونیک: Laboratory@workmail.com



0.0

4.00

10.22

18.52

26.82

35.12

43.42

51.72

60.02

**Sample:**  
Y-A2-6

	d-value	Angle	Rel. int.
	Angstrom	2 Theta	%
	9.950	8.880	8
	9.129	9.680	2
	7.064	12.520	2
	6.354	13.925	2
	4.240	20.935	16
	4.018	22.105	7
	3.862	23.010	2
	3.825	23.235	2
	3.764	23.620	7
	3.647	24.385	4

	d-value	Angle	Rel. int.
	Angstrom	2 Theta	%
	3.461	25.720	4
	3.335	26.710	100
	3.239	27.515	18
	3.187	27.970	32
	2.979	29.970	3
	2.934	30.445	5
	2.897	30.835	3
	2.454	36.595	10
	2.280	39.495	6
	2.236	40.300	3

	d-value	Angle	Rel. int.
	Angstrom	2 Theta	%
	2.157	41.840	2
	2.128	42.440	4
	2.123	42.555	4
	1.979	45.815	4
	1.816	50.185	12
	1.811	50.330	6
	1.802	50.615	2
	1.779	51.310	2
	1.671	54.910	3
	1.659	55.340	2

Phase
Quartz (33-1161)
SiO <sub>2</sub>
Albite (19-1184)
NaAlSi <sub>3</sub> O <sub>8</sub> )
Sericite (06-0263)
KAl <sub>2</sub> Si <sub>3</sub> AlO <sub>10</sub> (OH) <sub>2</sub>
Orthoclase (31-0966)
KAISi <sub>3</sub> O <sub>8</sub>
Chlorite (29-0701)
(Mg,Fe) <sub>6</sub> (Si,Al) <sub>4</sub> O <sub>10</sub> (OH) <sub>8</sub>

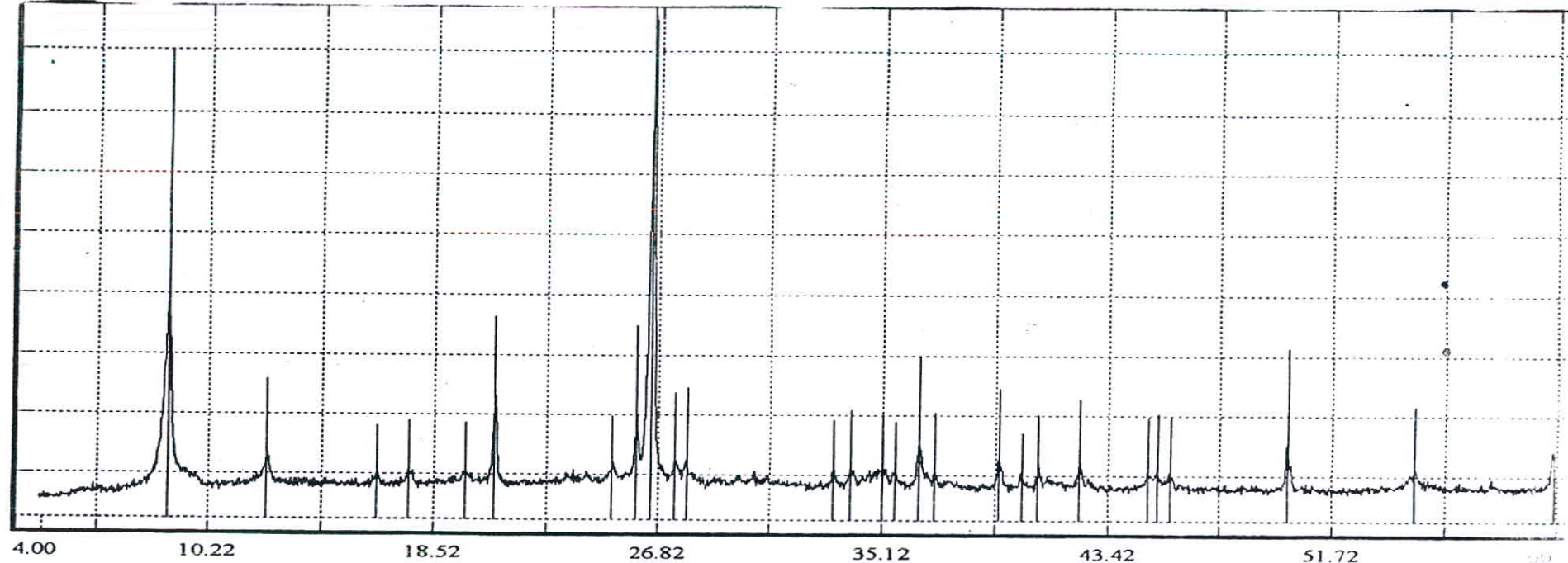
Pyrophyllite (25-0022)  
Al<sub>2</sub>Si<sub>4</sub>O<sub>10</sub>(OH)<sub>2</sub>

Date :  
9/7/2000

KV = 40  
mA = 30  
Ka. = Cu  
Fil. = Ni

CPS Lin

C:\WRDISIEMENSY-A2-7.RAW



Sample:	Y-A2-7
---------	--------

d-value Angstrom	Angle 2 Theta	Rel. int. %
10.046	8.795	40
7.081	12.490	6
4.994	17.745	2
4.496	19.730	3
4.252	20.875	19
3.773	23.560	2
3.667	24.250	2
3.520	25.280	4
3.408	26.125	15
3.340	26.670	100

Date :	9/7/2000
--------	----------

kV = 40
mA = 30
Ka. = Cu
Fil. = Ni

d-value Angstrom	Angle 2 Theta	Rel. int. %
3.237	27.535	6
3.186	27.980	6
2.933	30.455	3
2.676	33.460	4
2.631	34.045	4
2.597	34.505	3
2.538	35.335	4
2.515	35.675	3
2.457	36.540	9
2.421	37.100	3

d-value Angstrom	Angle 2 Theta	Rel. int. %
2.282	39.460	5
2.236	40.295	3
2.202	40.955	5
2.127	42.460	5
2.013	45.005	3
1.999	45.335	3
1.977	45.870	3
1.818	50.140	10
1.812	50.300	6
1.672	54.870	4

Phase
Quartz (33-1161)
SiO <sub>2</sub>
Sericite (06-0263)
KAl <sub>2</sub> Si <sub>3</sub> AlO <sub>10</sub> (OH) <sub>2</sub>
Sillimanite (38-0471)
Al <sub>2</sub> SiO <sub>5</sub>
Albite (19-1184)
NaAlSi <sub>3</sub> O <sub>8</sub> )

64

CPS Lin

0.0

4.00

10.22

18.52

26.82

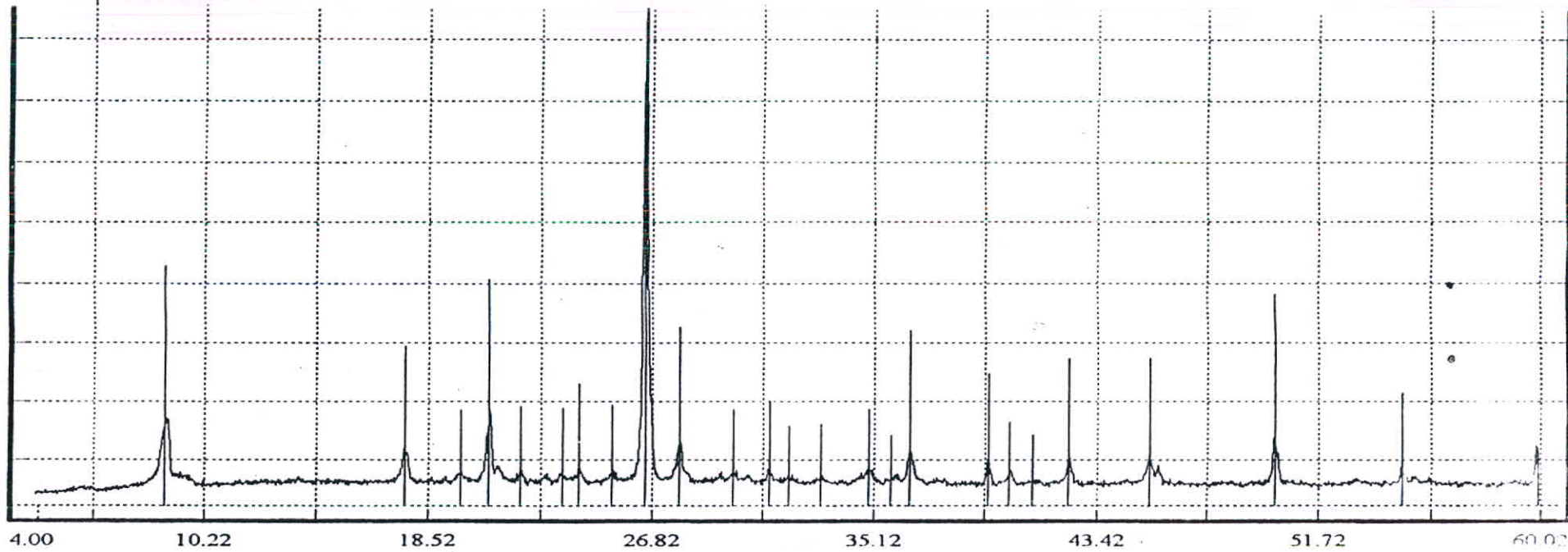
35.12

43.42

51.72

60.00

C:\XRDSIEMENS\Y-A2-8.RAW



Sample:	Y-A2-8
---------	--------

d-value	Angle	Rel. int.
Angstrom	2 Theta	%
9.861	8.960	13
9.078	9.735	2
4.997	17.735	6
4.964	17.855	6
4.478	19.810	2
4.275	20.760	9
4.245	20.910	15
4.188	21.195	3
4.027	22.055	2
3.778	23.530	2

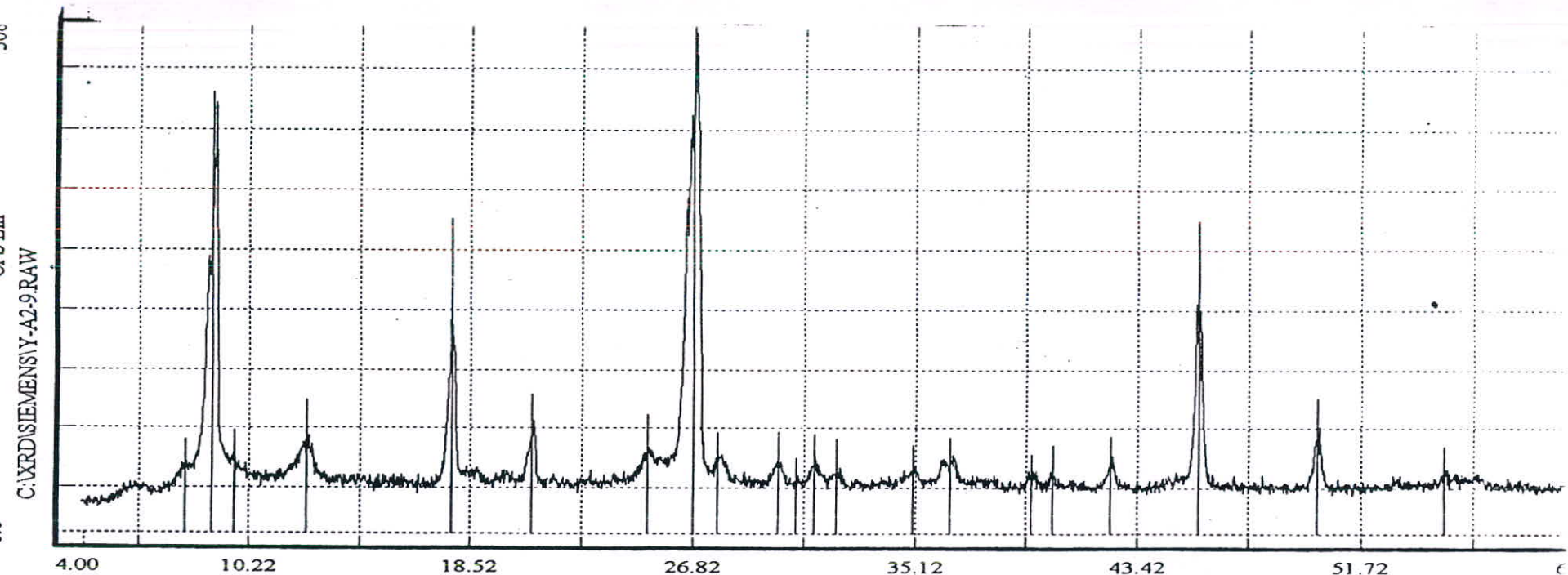
Date :	9/7/2000
--------	----------

kV = 40
mA = 30
Ka. = Cu
Fil. = Ni

d-value	Angle	Rel. int.
Angstrom	2 Theta	%
3.675	24.200	3
3.502	25.415	2
3.339	26.675	100
3.187	27.975	8
3.026	29.490	2
2.976	30.000	2
2.861	31.235	3
2.554	35.110	3
2.487	36.085	2
2.454	36.580	8

d-value	Angle	Rel. int.
Angstrom	2 Theta	%
2.281	39.475	5
2.236	40.310	2
2.127	42.465	6
1.992	45.495	6
1.979	45.815	4
1.880	48.365	0
1.818	50.140	10
1.813	50.285	7
1.671	54.885	3

Phase
Quartz (33-1161)
SiO <sub>2</sub>
Sericite (06-0263)
KAl <sub>2</sub> Si <sub>3</sub> AlO <sub>10</sub> (OH) <sub>2</sub>
Albite (19-1184)
NaAlSi <sub>3</sub> O <sub>8</sub> )
Goethite (29-0713)
FeO(OH)



Sample:  
Y-A2-9

Date :  
9/7/2000

kV = 40
mA = 30
Ka. = Cu
Fil. = Ni

d-value Angstrom	Angle 2 Theta	Rel. int. %
10.086	8.760	50
9.763	9.050	84
6.970	12.690	8
4.946	17.920	37
4.912	18.045	28
4.691	18.900	3
4.448	19.945	2
4.448	21.005	14
3.513	25.330	8
3.344	26.635	56

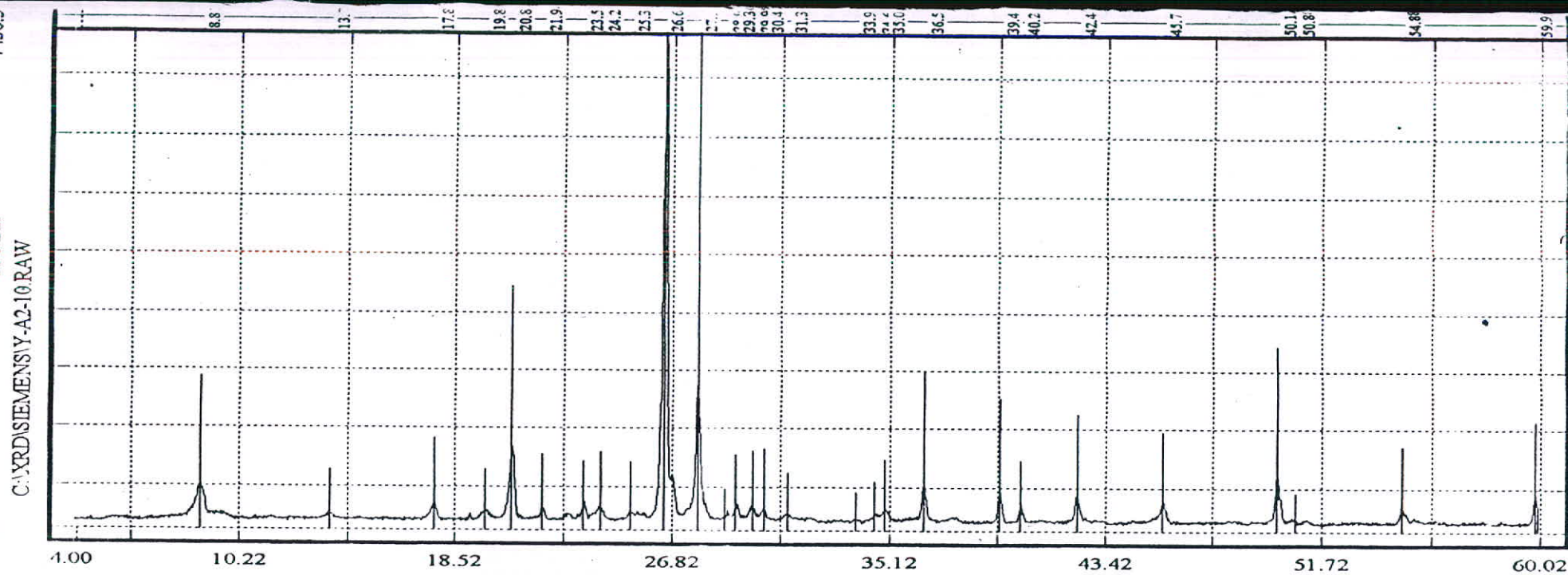
d-value Angstrom	Angle 2 Theta	Rel. int. %
3.323	26.810	81
3.300	26.995	100
3.285	27.125	77
3.190	27.945	6
3.097	28.800	3
2.964	30.125	5
2.846	31.405	4
2.766	32.345	3
2.545	35.230	4
2.479	36.210	5

d-value Angstrom	Angle 2 Theta	Rel. int. %
2.450	36.655	6
2.363	38.045	2
2.275	39.580	3
2.237	40.285	3
2.121	42.595	6
1.983	45.715	38
1.976	45.880	37
1.817	50.160	11
1.812	50.315	13
1.668	55.020	3

Phase
Sericite (06-0263)
KAl <sub>2</sub> Si <sub>3</sub> AlO <sub>10</sub> (OH) <sub>2</sub>
Quartz (33-1161)
SiO <sub>2</sub>
Chlorite (29-0701)
(Mg,Fe) <sub>6</sub> (Si,Al)4O <sub>10</sub> (OH)8
Albite (19-1184)
NaAlSi <sub>3</sub> O <sub>8</sub> )
Kaolinite ? (29-1488)
Al <sub>2</sub> Si <sub>2</sub> O <sub>5</sub> (OH) <sub>4</sub>

7430.5

CPS Lin



4.00

10.22

18.52

26.82

35.12

43.42

51.72

60.02

**Sample:**  
Y-A2-10

d-value	Angle	Rel. int.
Angstrom	2 Theta	%
9.839	8.980	4
6.400	13.825	1
4.969	17.835	3
4.620	19.195	1
4.476	19.820	2
4.252	20.875	14
4.041	21.975	2
3.862	23.010	1
3.771	23.575	4
3.681	24.160	3

d-value	Angle	Rel. int.
Angstrom	2 Theta	%
3.515	25.315	2
3.444	25.850	2
3.343	26.640	100
3.309	26.925	9
3.199	27.865	29
3.072	29.040	2
3.034	29.415	4
2.983	29.930	3
2.936	30.415	3
2.854	31.315	2

d-value	Angle	Rel. int.
Angstrom	2 Theta	%
2.584	34.680	2
2.554	35.105	2
2.458	36.520	8
2.284	39.425	6
2.238	40.255	4
2.131	42.385	6
1.981	45.760	5
1.819	50.110	10
1.814	50.250	5
1.673	54.835	3

Phase
Quartz (33-1161)
SiO <sub>2</sub>
Albite (19-1184)
NaAlSi <sub>3</sub> O <sub>8</sub> )
Sericite (06-0263)
KAl <sub>2</sub> Si <sub>3</sub> AlO <sub>10</sub> (OH) <sub>2</sub>
Calcite (05-0586)
CaCO <sub>3</sub>
Gypsum (21-0816)
CaSO <sub>4</sub> · 2H <sub>2</sub> O

Date :

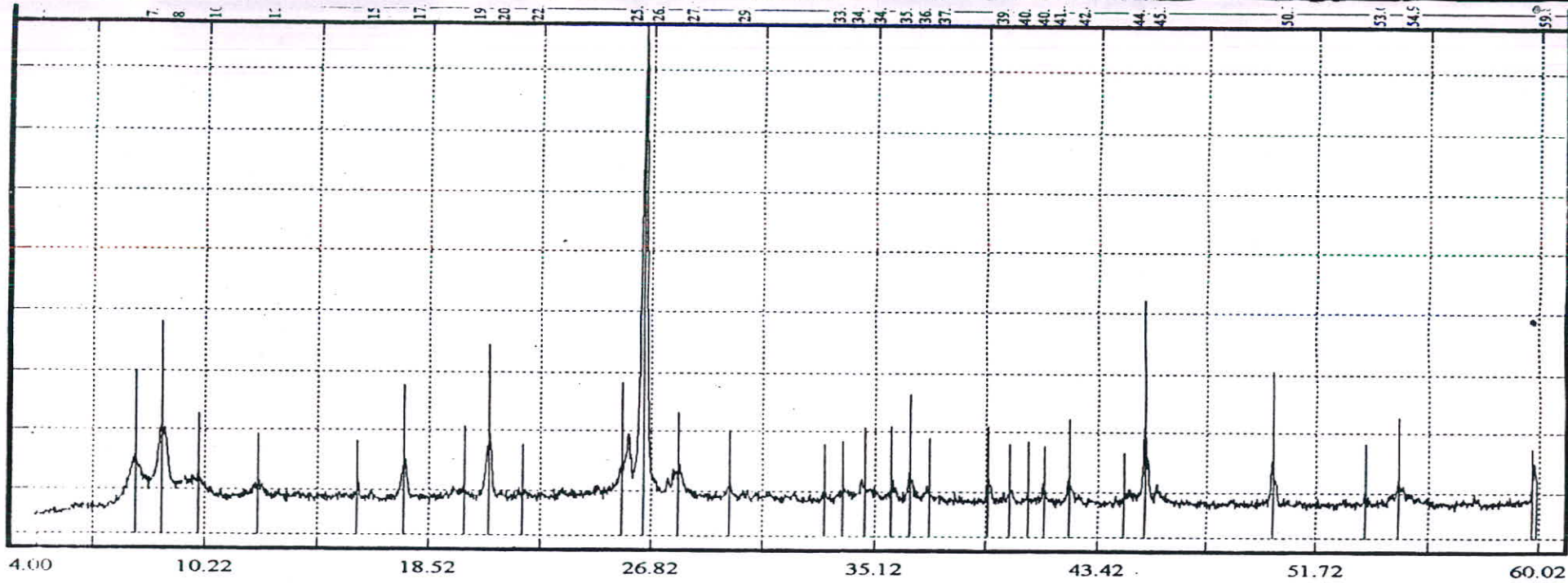
9/7/2000

kV = 40

mA = 30

Ka. = Cu

Fil. = Ni



4.00

10.22

18.52

26.82

35.12

43.42

51.72

60.02

Sample:  
A2-13

Date :  
7/2000

$\lambda = 40$

$A = 30$

$a = \text{Cu}$

$I = \text{Ni}$

d-value Angstrom	Angle 2 Theta	Rel. int. %
11.487	7.690	12
10.226	8.640	18
10.001	8.835	17
8.725	10.130	7
7.155	12.360	6
6.414	13.795	4
5.531	16.010	6
4.993	17.750	9
4.274	20.765	12
4.249	20.890	15

d-value Angstrom	Angle 2 Theta	Rel. int. %
3.569	24.930	5
3.415	26.075	15
3.343	26.640	100
3.237	27.530	7
3.209	27.775	7
3.187	27.970	10
2.993	29.830	5
2.58159	34.72	6
2.49973	35.895	6
2.45902	36.51	7

d-value Angstrom	Angle 2 Theta	Rel. int. %
2.23501	40.32	3
2.1759	41.47	4
2.12838	42.44	6
2.04696	44.21	2
2.02458	44.73	3
1.99937	45.32	16
1.99416	45.45	9
1.98075	45.77	3
1.81805	50.14	9
1.67267	54.84	5

Phase
Quartz (33-1161) SiO <sub>2</sub>
Sericite (06-0263) KAl <sub>2</sub> Si <sub>3</sub> AlO <sub>10</sub> (OH) <sub>2</sub>
Sillimanite (38-0471) Al <sub>2</sub> SiO <sub>5</sub>
Mix Layer Clay
Chlorite (29-0701) (Mg,Fe) <sub>6</sub> (Si,Al)4O <sub>10</sub> (OH) <sub>8</sub>

Andalusite (39-0376)  
Al<sub>2</sub>SiO<sub>5</sub>

Kyanite (11-0046)  
Al<sub>2</sub>SiO<sub>5</sub>



شرکت گاكساران  
دینالود

۱۳۷۹/۵/۸

شرکت محترم معدنکارو

با سلام،

Y2-A-16, Y2-A-15, Y2-A-16 به پیوست گرانهای تهیه شده برای ۶ نمونه به شماره های  
Y2-A-24 و Y2-A-22, Y2-A-20, Y2-A-18,  
(XRD) تهیه گردیده، ارائه می گردد.

شاهین پور مند  
شاهین

مژندن پژوهشی

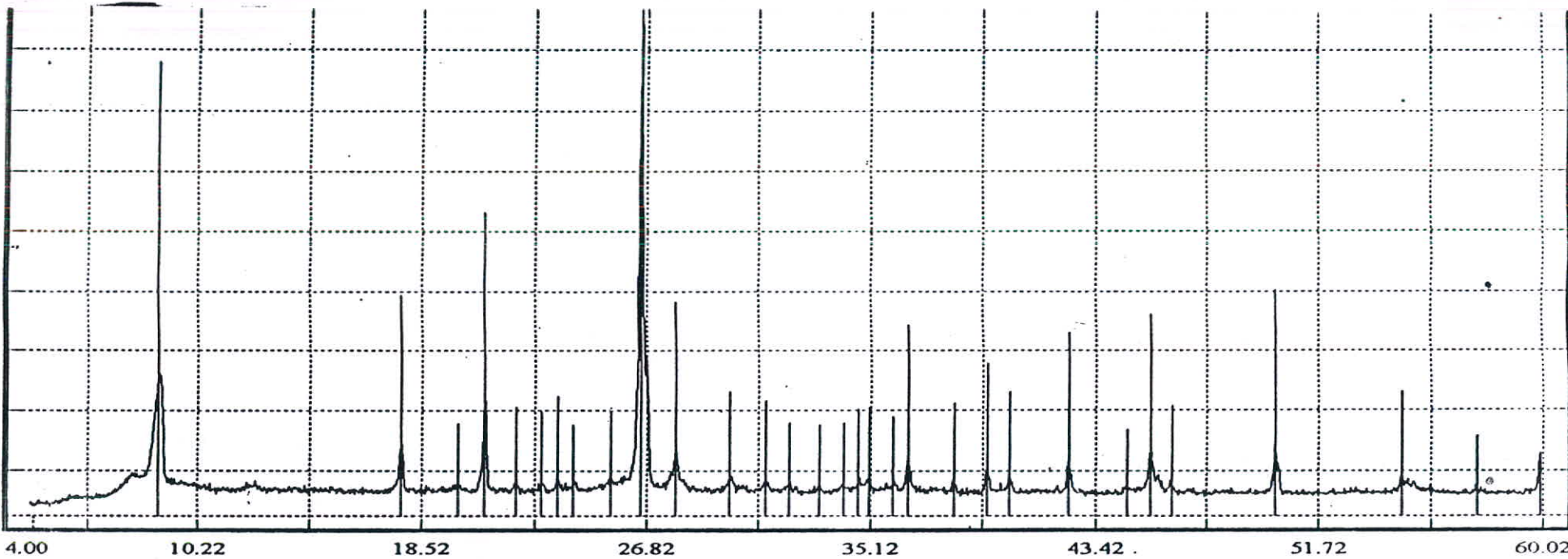
گستاخان رام

لطفاً  
۷۹/۵/۸

تهران - رسالت غربی - هشتم غربی - شماره ۳

مشهد - جاده سنتو - شماره ۱۵۰ - تلفن: ۸۸۴۶۶۴

پست الکترونیک: Laboratory@workmail.com



4.00

10.22

18.52

26.82

35.12

43.42

51.72

60.02

**Sample:**  
Y2-A-15

d-value Angstrom	Angle 2 Theta	Rel. Int. %
9.883	8.940	22
4.961	17.865	11

d-value Angstrom	Angle 2 Theta	Rel. Int. %
4.238	20.945	19
4.022	22.085	2

d-value Angstrom	Angle 2 Theta	Rel. Int. %
3.763	23.625	2
3.665	24.265	2

d-value Angstrom	Angle 2 Theta	Rel. Int. %
3.474	25.620	3
3.335	26.705	100

$\times V = 40$   
 $nA = 30$

$\zeta a. = Cu$   
 $\zeta ill. = Ni$

d-value Angstrom	Angle 2 Theta	Rel. Int. %
2.972	30.040	3
2.851	31.345	2

d-value Angstrom	Angle 2 Theta	Rel. Int. %
2.777	32.210	2
2.575	34.810	3

d-value Angstrom	Angle 2 Theta	Rel. Int. %
2.552	35.135	3
2.484	36.130	2

d-value Angstrom	Angle 2 Theta	Rel. Int. %
2.453	36.610	6
2.349	38.280	2

d-value Angstrom	Angle 2 Theta	Rel. Int. %
2.278	39.525	5
2.272	39.640	4

d-value Angstrom	Angle 2 Theta	Rel. Int. %
2.233	40.355	3
2.143	42.125	2

d-value Angstrom	Angle 2 Theta	Rel. Int. %
2.125	42.510	7
1.989	45.565	8

d-value Angstrom	Angle 2 Theta	Rel. Int. %
1.978	45.840	4
1.959	46.315	3

d-value Angstrom	Angle 2 Theta	Rel. Int. %
1.816	50.195	11
1.811	50.340	5

d-value Angstrom	Angle 2 Theta	Rel. Int. %
1.870	54.920	4
1.658	55.355	2

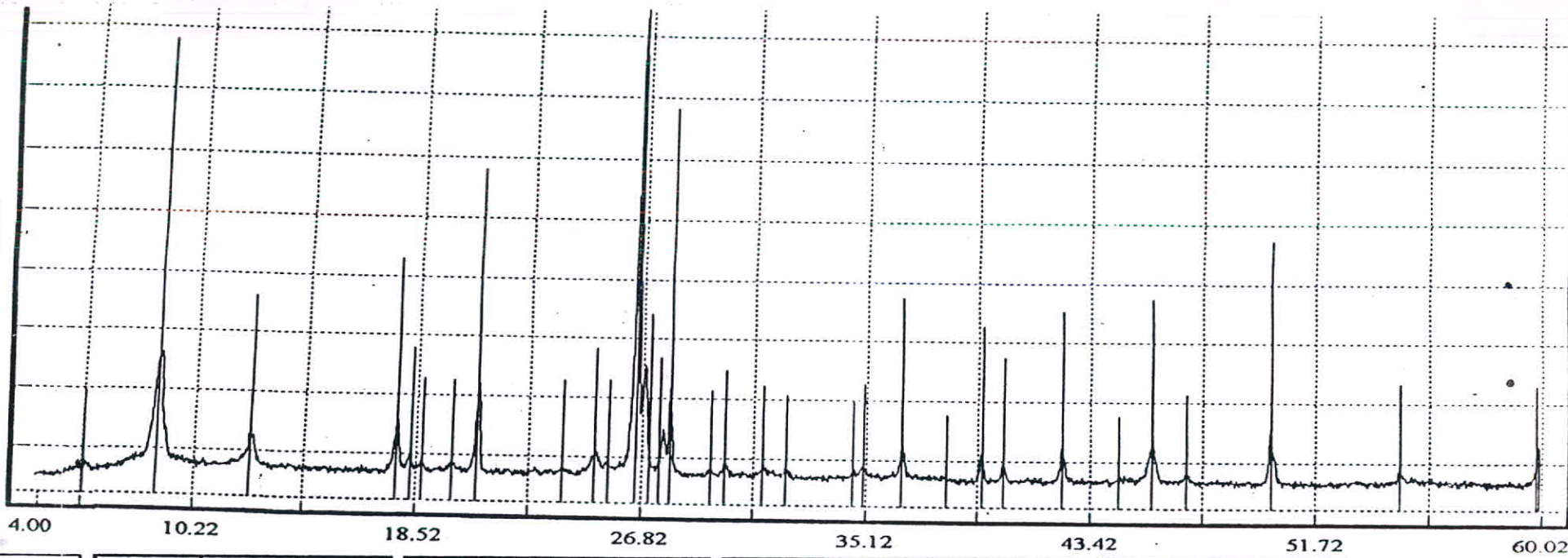
Phase
-------

Sericite (06-0263) KAl <sub>2</sub> Si <sub>3</sub> AlO <sub>10</sub> (OH) <sub>2</sub>
--

Quartz (33-1161) SiO <sub>2</sub>
--------------------------------------

Albite (09-0466) NaAlSi <sub>3</sub> O <sub>8</sub>
--

Chlorite (29-0701) (Mg,Fe) <sub>6</sub> (Si,Al) <sub>4</sub> O <sub>10</sub> (OH) <sub>8</sub>
---



Sample:  
Y2-A-16

Date :  
26/7/2000

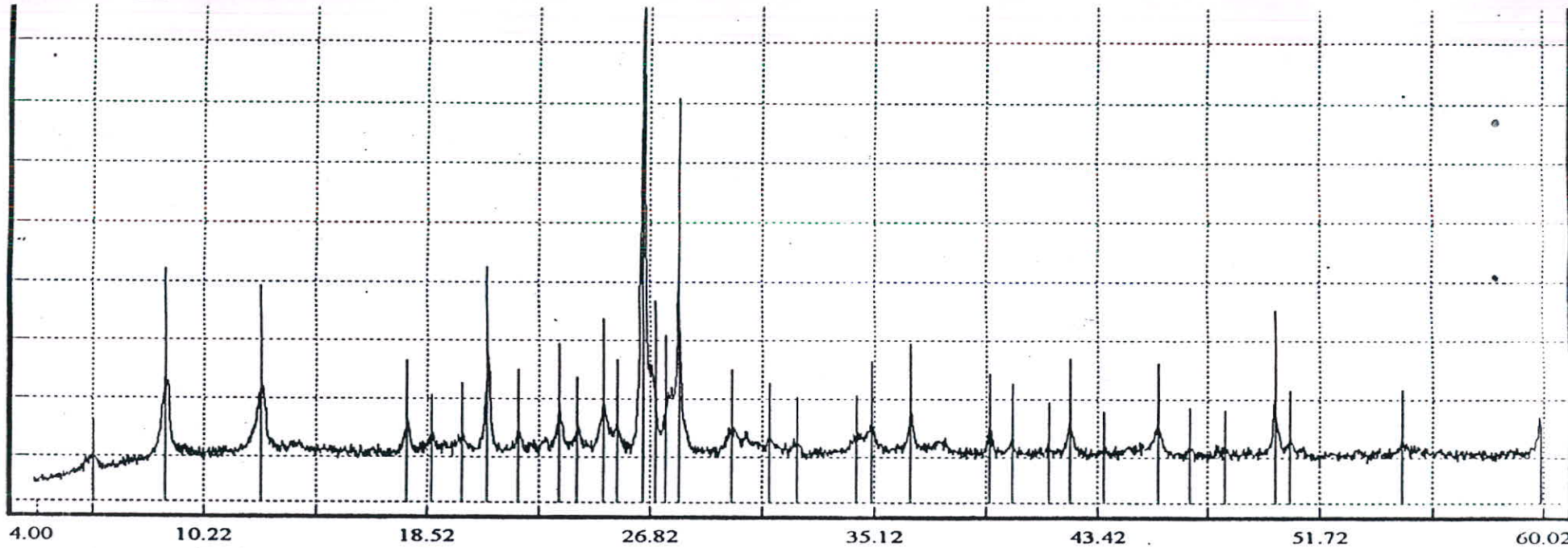
$\times$ V = 40  
mA = 30  
Ka. = Cu  
Fil. = Ni

d-value	Angle	Rel. Int.
Angstrom	2 Teta	%
14.209	6.215	2
9.818	9.000	22
7.036	12.570	6
4.950	17.905	12
4.813	18.420	4
4.705	18.845	2
4.438	19.990	2
4.248	20.895	20
3.522	25.265	5
3.338	26.685	100

d-value	Angle	Rel. Int.
Angstrom	2 Teta	%
3.300	26.995	24
3.214	27.735	10
3.188	27.965	19
3.030	29.450	1
2.970	30.065	3
2.846	31.405	2
2.773	32.255	1
2.578	34.775	2
2.556	35.075	3
2.455	36.565	8

d-value	Angle	Rel. int.
Angstrom	2 Teta	%
2.280	39.485	6
2.236	40.300	4
2.127	42.470	7
2.031	44.585	1
1.979	45.815	7
1.929	47.075	2
1.817	50.165	12
1.812	50.315	6
1.718	53.285	1
1.671	54.885	3

Phase
Sericite (06-0263)
KAl <sub>2</sub> Si <sub>3</sub> AlO <sub>10</sub> (OH) <sub>2</sub>
Quartz (33-1161)
SiO <sub>2</sub>
Chlorite (29-0701)
(Mg,Fe) <sub>6</sub> (Si,Al) <sub>4</sub> O <sub>10</sub> (OH) <sub>8</sub>
Albite (09-0466)
NaAlSi <sub>3</sub> O <sub>8</sub> )
Paragonite (24-1047)
NaAl <sub>2</sub> (AlSi <sub>3</sub> )O <sub>10</sub> (OH) <sub>2</sub>



4.00

10.22

18.52

26.82

35.12

43.42

51.72

60.02

Sample:  
Y2-A-18

Date :  
6/7/2000

$\lambda = 40$

$A = 30$

$a = \text{Cu}$

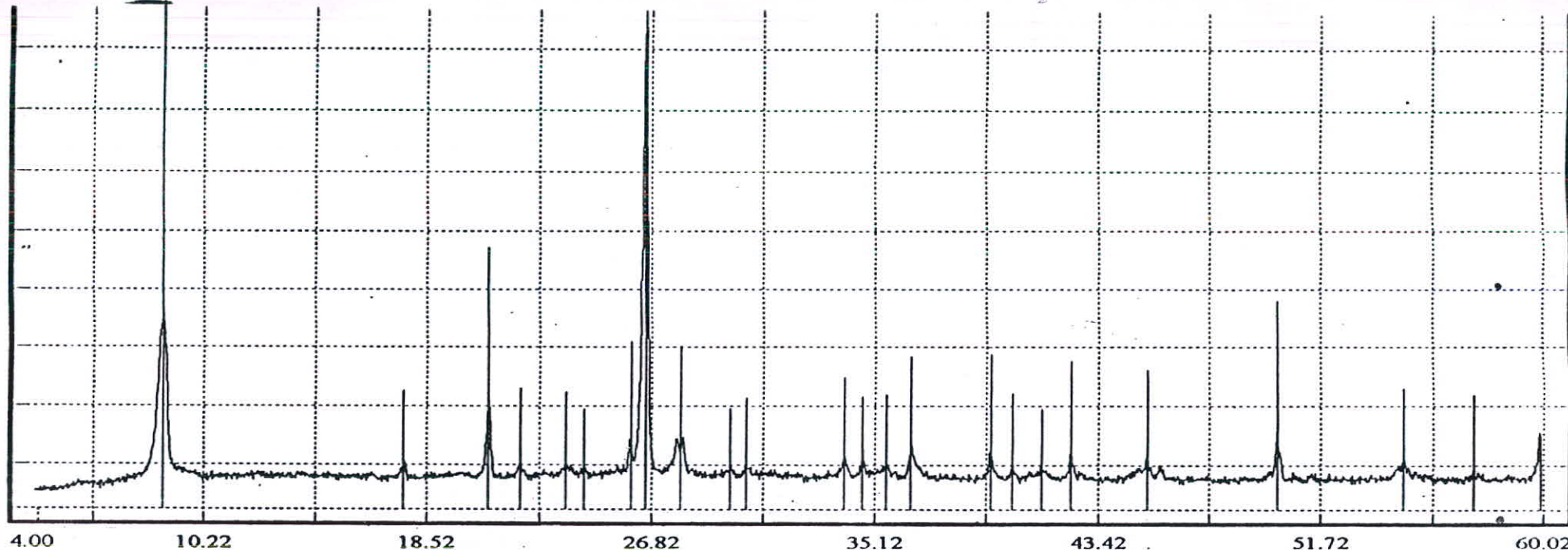
$l = \text{Ni}$

d-value Angstrom	Angle 2 Theta	Rel. int. %
14.096	6.265	4
9.861	8.960	21
8.296	10.655	6
7.042	12.560	17
6.484	13.645	6
4.957	17.880	11
4.712	18.815	8
4.441	19.975	7
4.247	20.900	23
4.036	22.005	8

d-value Angstrom	Angle 2 Theta	Rel. int. %
3.851	23.075	6
3.775	23.545	10
3.669	24.240	9
3.537	25.160	13
3.484	25.695	9
3.339	26.875	100
3.298	27.010	20
3.225	27.640	14
3.188	27.965	38
2.968	30.080	7

d-value Angstrom	Angle 2 Theta	Rel. int. %
2.931	30.470	6
2.855	31.300	5
2.550	35.160	7
2.454	36.595	10
2.383	37.725	3
2.280	39.495	6
2.126	42.480	6
1.979	45.820	6
1.818	50.125	11
1.797	50.760	3

Phase
Sericite (06-0263)
KAl <sub>2</sub> Si <sub>3</sub> AlO <sub>10</sub> (OH) <sub>2</sub>
Quartz (33-1161)
SiO <sub>2</sub>
Albite (09-0466)
NaAlSi <sub>3</sub> O <sub>8</sub> )
Chlorite (29-0701)
(Mg,Fe) <sub>8</sub> (Si,Al) <sub>4</sub> O <sub>10</sub> (OH) <sub>8</sub>



4.00

10.22

18.52

26.82

35.12

43.42

51.72

60.02

Sample:  
Y2-A-20

Date :  
6/7/2000

$\lambda = 40$

$\mu = 30$

$a = \text{Cu}$

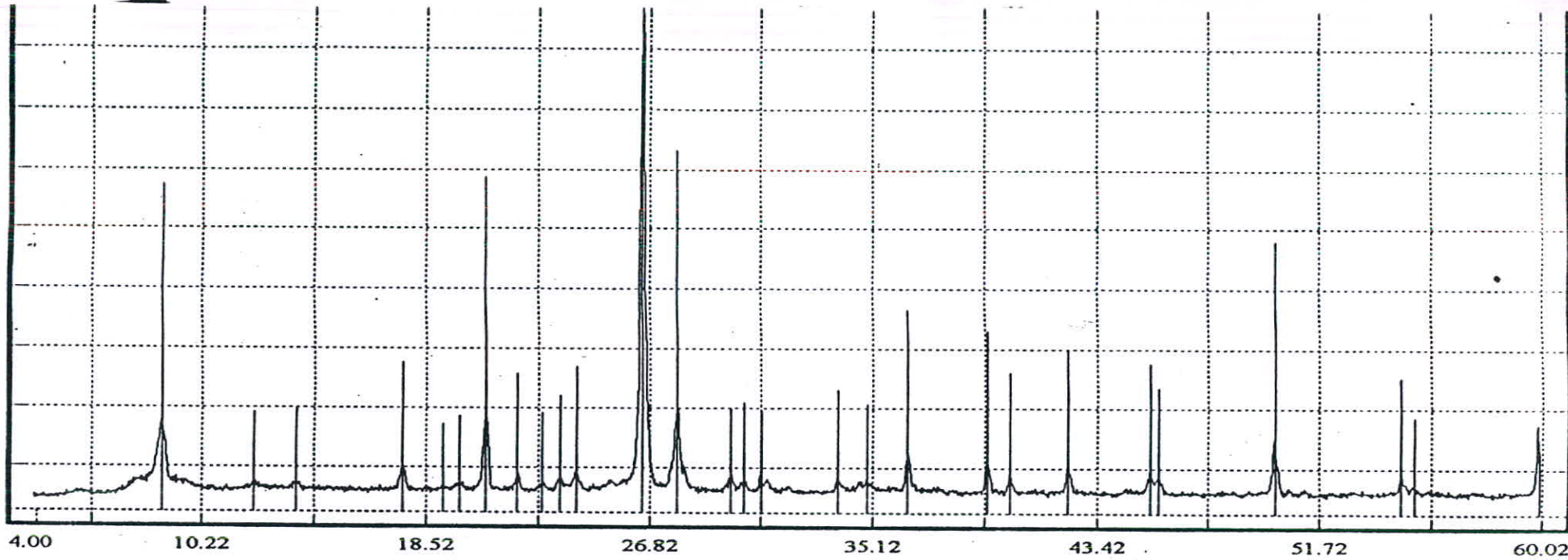
$i = \text{Ni}$

	d-value Angstrom	Angle 2 Theta	Rel. Int. %
	10.196	8.665	32
	9.911	8.915	25
	4.979	17.800	4
	4.239	20.940	15
	4.027	22.055	3
	3.739	23.775	3
	3.635	24.470	2
	3.413	26.085	8
	3.335	26.710	100
	3.200	27.860	9

	d-value Angstrom	Angle 2 Theta	Rel. Int. %
	3.172	28.105	9
	2.990	29.855	3
	2.936	30.420	3
	2.624	34.135	5
	2.577	34.780	7
	2.513	35.705	3
	2.490	36.035	2
	2.453	36.600	7
	2.279	39.510	6
	2.234	40.340	4

	d-value Angstrom	Angle 2 Theta	Rel. Int. %
	2.200	40.985	2
	2.177	41.450	2
	2.126	42.480	6
	1.998	45.360	4
	1.978	45.840	3
	1.817	50.175	11
	1.811	50.340	4
	1.770	51.920	4
	1.666	55.075	3
	1.601	57.505	3

Phase
Sericite (06-0283)
KAl <sub>2</sub> Si <sub>3</sub> AlO <sub>10</sub> (OH) <sub>2</sub>
Quartz (33-1161)
SiO <sub>2</sub>
Albite (09-0466)
NaAlSi <sub>3</sub> O <sub>8</sub> )
Sillimanite (38-0471)
Al <sub>2</sub> SiO <sub>5</sub>



Sample:  
'2-A-22

Date :  
3/7/2000

= 40

\ = 30

= Cu

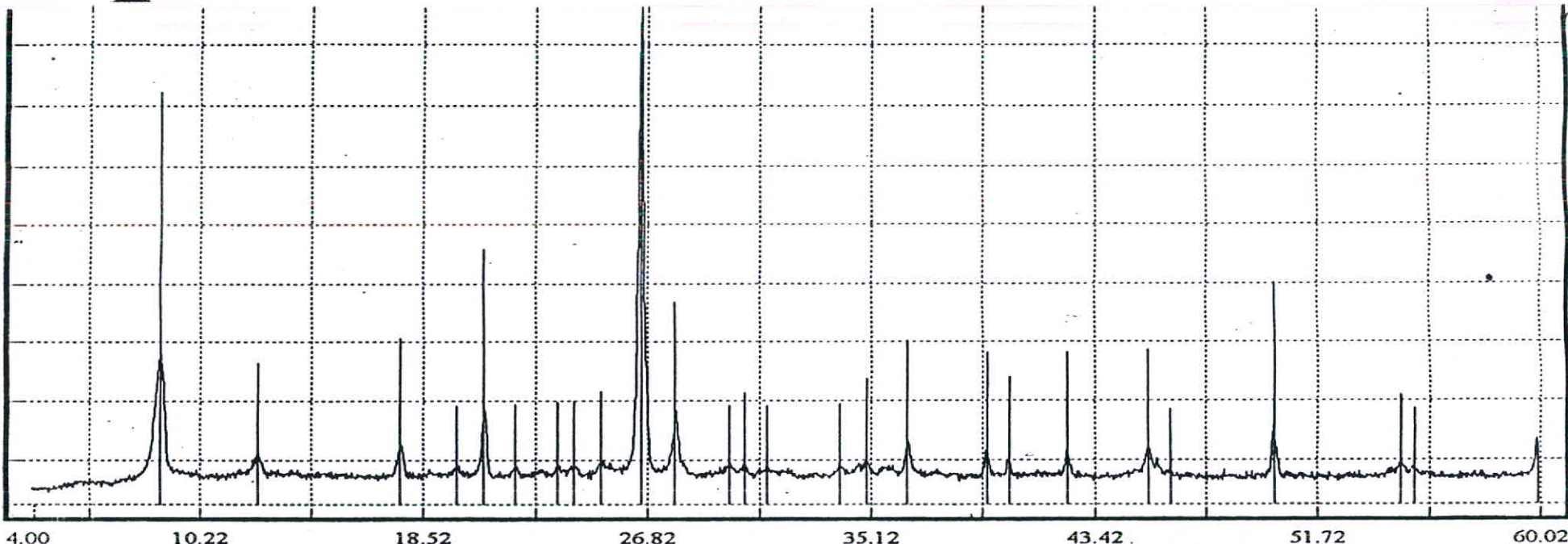
= Ni

d-value Angstrom	Angle 2 Theta	Rel. Int. %
10.086	8.760	14
9.878	8.945	10
7.255	12.190	1
6.373	13.885	1
5.004	17.710	4
4.469	19.850	1
4.249	20.890	14
4.033	22.020	4
3.870	22.960	2
3.780	23.515	2

d-value Angstrom	Angle 2 Theta	Rel. Int. %
3.681	24.160	4
3.499	25.435	2
3.341	26.660	100
3.189	27.955	18
2.980	29.960	4
2.932	30.465	2
2.881	31.020	4
2.855	31.300	2
2.640	33.930	3
2.583	34.705	2

d-value Angstrom	Angle 2 Theta	Rel. Int. %
2.561	35.010	2
2.455	36.585	8
2.282	39.450	6
2.236	40.295	4
2.129	42.420	5
1.992	45.500	4
1.979	45.805	4
1.818	50.130	11
1.813	50.280	5
1.672	54.875	4

Phase
Quartz (33-1161)
SiO <sub>2</sub>
Sericite (06-0263)
KAl <sub>2</sub> Si <sub>3</sub> AlO <sub>10</sub> (OH) <sub>2</sub>
Albite (09-0466)
NaAlSi <sub>3</sub> O <sub>8</sub> )
Chlorite (29-0701)
(Mg,Fe) <sub>6</sub> (Si,Al) <sub>4</sub> O <sub>10</sub> (OH) <sub>8</sub>



Sample:  
Y2-A-24

Date :  
26/7/2000

V = 40  
λ = 30  
a. = Cu  
il. = Ni

	d-value	Angle	Rel. int.
	Angstrom	2 Teta	%
	10.092	8.755	26
	7.067	12.515	4
	4.979	17.800	7
	4.456	19.910	2
	4.237	20.950	12
	4.024	22.070	2
	3.765	23.610	2
	3.660	24.300	2
	3.539	25.140	3
	3.337	26.695	100

	d-value	Angle	Rel. int.
	Angstrom	2 Teta	%
	3.186	27.980	15
	2.973	30.030	2
	2.928	30.505	3
	2.851	31.350	2
	2.626	34.110	2
	2.581	34.725	2
	2.556	35.085	4
	2.512	35.710	2
	2.454	36.580	8
	2.385	37.690	1

	d-value	Angle	Rel. int.
	Angstrom	2 Teta	%
	2.280	39.485	6
	2.235	40.320	4
	2.127	42.470	6
	1.991	45.525	6
	1.817	50.175	11
	1.800	50.680	1
	1.671	54.910	3
	1.658	55.355	2
	1.598	57.620	1

Phase
Sericite (06-0263)
KAl <sub>2</sub> Si <sub>3</sub> AlO <sub>10</sub> (OH) <sub>2</sub>
Quartz (33-1161)
SiO <sub>2</sub>
Albite (09-0468)
NaAlSi <sub>3</sub> O <sub>8</sub> )
Chlorite (29-0701)
(Mg,Fe) <sub>6</sub> (Si,Al) <sub>4</sub> O <sub>10</sub> (OH) <sub>8</sub>